



## รายงานวิจัย

ปรับปรุงประสิทธิภาพของบึงประดิษฐ์ในการบำบัดน้ำทิ้งจากโรงงานกระดาษสา และ<sup>ย้อมสีด้วย โครงการพัฒนาดอยตุง (พื้นที่ทำงาน)</sup>  
<sup>อันเนื่องมาจากพระราชดำริ</sup>

The improvement of the efficiency of the Constructed Wetland for  
Treatment of Wastewater from Mulberry paper and yarn  
dyeing at Doi Tung Development Project :  
Mae Fah Luang Foundation Under Royal Patronage.

ชนิชฐา เจริญลักษณ์

RMUTK-CARIT



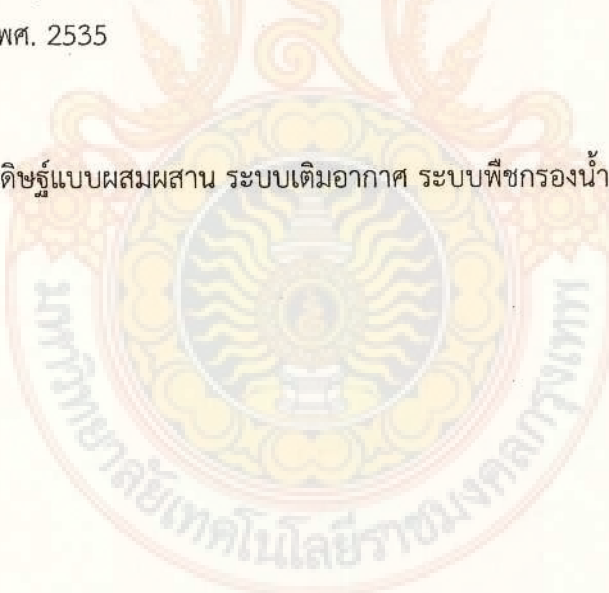
3 2000 00118445 8

มหาวิทยาลัยเทคโนโลยีราชมงคลกรุงเทพ  
ธันวาคม ๒๕๕๖  
(งบประมาณเงินรายได้ ประจำปี ๒๕๕๗)

## บทคัดย่อ

งานวิจัยนี้มีวัตถุประสงค์เพื่อปรับปรุงประสิทธิภาพของบีบประดิษฐ์ในการบำบัดน้ำทิ้งจากโรงงานกระดาษสา และย้อมสีด้วย โครงการพัฒนาดอยตุง (พื้นที่ทำงาน) อันเนื่องมาจากพระราชดำริ โดยใช้ระบบราชพีช และพืชลولي้น้ำร่วมกับระบบเติมอากาศ ผลการทดลองระบบบำบัดน้ำเสียที่เลียนแบบระบบจริง พบร่วมน้ำหลังการบำบัดมีค่าเฉลี่ยบีโอดี  $10.67 \pm 5.28$  มิลลิกรัมต่อลิตร (ประสิทธิภาพร้อยละ  $92.48 \pm 3.72$ ) ค่าเฉลี่ยปริมาณของแข็งแขวนลอย  $24.72 \pm 5.28$  มิลลิกรัมต่อลิตร (ประสิทธิภาพร้อยละ  $61.34 \pm 8.26$ ) และค่าเฉลี่ยซีโอดี  $111.39 \pm 31.54$  มิลลิกรัมต่อลิตร (ประสิทธิภาพร้อยละ  $67.71 \pm 9.14$ ) ค่าเฉลี่ยปริมาณแอมโมเนียมในตอรเจน  $2.58 \pm 0.58$  มิลลิกรัมต่อลิตร (ประสิทธิภาพร้อยละ  $-49.27 \pm 33.93$ ) ค่าเฉลี่ยปริมาณแอมโมเนียมในตอรเจน  $3.60 \pm 0.69$  มิลลิกรัมต่อลิตร (ประสิทธิภาพร้อยละ  $52.62 \pm 9.17$ ) ค่าเฉลี่ยปริมาณไนเตรตในตอรเจน  $12.14 \pm 5.09$  มิลลิกรัมต่อลิตร (ประสิทธิภาพร้อยละ  $63.21 \pm 15.45$ ) และจากการขยายผลไปสู่การปรับปรุงระบบบำบัดน้ำเสียจริง พบร่วมน้ำหลังการปรับปรุงแล้วคุณภาพน้ำหลังการบำบัดมีค่าบีโอดี  $8.11$  ปริมาณของแข็งแขวนลอย  $14$  มิลลิกรัมต่อลิตร ค่าบีโอดี  $13.92$  มิลลิกรัมต่อลิตร และค่าซีโอดี  $108.56$  มิลลิกรัมต่อลิตร แสดงว่าน้ำทิ้งที่ออกจากระบบบรรจุราชพีช และพืชลولي้น้ำร่วมกับระบบบ่อเติมอากาศ มีสมบัติดีตามเกณฑ์ มาตรฐานน้ำทิ้งอุตสาหกรรม ตามประกาศกระทรวงอุตสาหกรรม ฉบับที่ 2 (พ.ศ. 2539) ออกตามพระราชบัญญัติโรงงาน พศ. 2535

คำสำคัญ :ระบบบีบประดิษฐ์แบบผสมผสาน ระบบเติมอากาศ ระบบพืชกรองน้ำ ระบบพืชลولي้น้ำ



## Abstract

This research investigated the efficiency of wastewater treatment from Doi Tung development project: Mae Fah Luang Foundation Under Royal Patronage using a combination system of planted filter, floating plant and aerators. The test results from pilot plant showed that the hybrid system between planted bed filter, floating planted and aerators capable of removing TSS by  $61.34\pm8.26\%$ , BOD by  $92.48\pm3.72\%$ , COD by  $67.71\pm9.14\%$ ,  $\text{PO}_4^{3-}$  by  $-49.27\pm33.93\%$ ,  $\text{NH}_4^+ \text{-N}$  by  $52.62\pm9.17\%$ , and  $\text{NO}_3^- \text{-N}$  by  $63.21\pm15.45\%$  respectively. The properties effluent from pilot plant were  $27.72 \text{ mgL}^{-1}$  SS,  $10.6 \text{ mgL}^{-1}$  BOD,  $111.39 \text{ mgL}^{-1}$  COD,  $2.54 \text{ mgL}^{-1}$   $\text{PO}_4^{3-}$ ,  $3.60 \text{ mgL}^{-1}$   $\text{NH}_4^+ \text{-N}$ , and  $12.14 \text{ mgL}^{-1}$   $\text{NO}_3^- \text{-N}$ . The effluent qualities after improving the wastewater treatment system were  $24.00 \text{ mgL}^{-1}$  SS,  $13.92 \text{ mgL}^{-1}$  BOD, and  $108.56 \text{ mgL}^{-1}$  COD. The treated water properties of both (pilot plant and improved system) met to the Thailand industry effluent standard.

**Keyword:** Hybrid constructed wetland, planted bed system, floating planted system



## กิตติกรรมประกาศ

การวิจัยเรื่องการปรับปรุงประสิทธิภาพของบึงประดิษฐ์ในการบำบัดน้ำทึ้งจากโรงงานกระดาษ และย้อมสีด้วย โครงการพัฒนาดอยตุง อันเนื่องมาจากพระราชดำริ โดยได้รับทุนสนับสนุนการวิจัย (พื้นที่ทำงาน) ทคโนโลยีราชมงคลจาก เงินอุดหนุนการวิจัยงบประมาณเงินรายได้มหาวิทยาลัยสุโขทัย ปี 2557 ขอขอบพระคุณมูลนิธิแม่ฟ้าหลวง ที่ให้ความสนับสนุน ความร่วมมือ และนายอัมนาถ สมagan ที่ได้มีส่วนร่วม เป็นผู้ช่วยวิจัย



## สารบัญ

บทคัดย่อ	I
ABSTRACT	III
กิตติกรรมประกาศ	V
<b>บทที่ 1 บทนำ</b>	<b>1</b>
1.1 ความสำคัญและที่มาของปัญหาที่ทำการวิจัย	1
1.2 วัตถุประสงค์ของการวิจัย	2
1.3 ขอบเขตของการวิจัย	2
1.4 กรอบแนวคิด	3
1.5 ประโยชน์ที่ได้รับ	3
1.6 นิยามศัพท์	3
<b>บทที่ 2 ทฤษฎีและงานวิจัยที่เกี่ยวข้อง</b>	<b>7</b>
2.1 การบำบัดน้ำเสียแบบใช้อธรณชาติ	7
2.2 การบำบัดน้ำเสียด้วยวิธีพืชลอยน้ำ (free floating macrophyte-based system)	8
2.3 การทำงานของระบบเป็นประดิษฐ์	12
2.4 การส่งผ่านออกซิเจนในระบบเป็นประดิษฐ์	15
2.5 ชนิดพืชที่ใช้ปลูก	18
2.6 ปริมาณน้ำเสียจากพื้นที่โครงการพัฒนาดอยตุง	22
<b>บทที่ 3 วิธีการดำเนินการ</b>	<b>25</b>
<b>บทที่ 4 ผลการทดลอง</b>	<b>27</b>
4.1 การศึกษาเบื้องต้นของระบบบำบัดน้ำเสียพื้นที่โครงการพัฒนาดอยตุง	27
4.2 การทดสอบความเหมาะสมของพืชที่ใช้ปลูกในเป็นประดิษฐ์	36
4.3 ผลการศึกษาประสิทธิภาพการถ่ายเทอกซิเจนด้วยเครื่องเติมอากาศ	40
4.4 การออกแบบและสร้างระบบบำบัดน้ำเสียที่เลียนแบบระบบจริง (pilot-scale)	45
4.5 การจัดการพืชที่ใช้ในระบบบ่อบำบัดจำลอง	47
4.5 การศึกษาประสิทธิภาพของระบบบำบัดน้ำเสีย	52
4.6 การปรับปรุงระบบบำบัดน้ำเสียจริง	62
<b>บทที่ 5 สรุปและข้อเสนอแนะ</b>	<b>69</b>
5.1 สรุป	69
5.2 ข้อเสนอแนะ	70
<b>เอกสารอ้างอิง</b>	<b>71</b>
ภาคผนวก ก	75
ภาคผนวก ข	87

## สารบัญตาราง

ตารางที่ 2.2.1	ลักษณะและหน้าที่ของพืชในพื้นที่ชั่มน้ำ.....	10
ตารางที่ 2.2.2	ผลของการกำจัดปีโอดี ของแข็งแขวนลอยในบึงประดิษฐ์ .....	13
ตารางที่ 2.2.3	กลไกการกำจัดมลสารต่าง ๆ ในพื้นที่ชั่มน้ำ.....	15
ตารางที่ 2.2.4	ปริมาณการใช้น้ำรายเดือนเฉลี่ยต่อวันของโรงงาน .....	22
ตารางที่ 4.3.1	รูปแบบการทดลองของเครื่องให้อากาศ.....	40
ตารางที่ 4.3.2	อัตราการถ่ายเทอกซิเจนในสภาวะมาตรฐาน.....	43

## สารบัญรูป

รูปที่ 2.2.1	ชนิดของพืชในพื้นที่ชั่มน้ำ (wetland plant).....	8
รูปที่ 2.2.2	การแพร่ของแก๊สจากตำแหน่งที่มีความเข้มข้นสูงไปยังที่มีความเข้มข้นต่ำ.....	16
รูปที่ 2.2.3	การพาของแก๊สในพืชประเทกลอยน้ำ .....	17
รูปที่ 2.2.4	การส่งผ่านออกซิเจนของระบบ rak โดยอาศัยความแตกต่างของความดัน .....	17
รูปที่ 2.2.5	การส่งผ่านออกซิเจนที่อาศัยความเร็วลมรอบๆ ต้นพืช .....	18
รูปที่ 2.2.6	หญ้าแฟก.....	18
รูปที่ 2.2.7	การปลูกหญ้าแฟกเป็นแพลงอยน้ำ .....	21
รูปที่ 2.2.8	ปริมาณการใช้น้ำสะสมของโรงงานกระดาษสา และย้อมสีเส้นด้าย .....	22
รูปที่ 4.1.1	แผนผังบ่อสำน้ำเสีย .....	27
รูปที่ 4.1.2	ระบบบำบัดน้ำเสียในปัจจุบันของพื้นที่โครงการพัฒนาดอยตุงฯ .....	28
รูปที่ 4.1.3	ระบบบึงประดิษฐ์แบบน้ำไหลได้ผิดนิโนแนวตั้ง .....	28
รูปที่ 4.1.4	ลักษณะของน้ำที่ออกจากระบบในแต่ละขั้นตอน .....	29
รูปที่ 4.1.5	ผลการกำจัดสีด้วยโซเดียมไฮโพคลอไรต์ .....	30
รูปที่ 4.1.6	ผลการกำจัดสีด้วยไฮโดรเจนเพอร์ออกไซด์ .....	31
รูปที่ 4.1.7	ผลการกำจัดสีด้วยเฟนตอนรีเอเจนต์ .....	32
รูปที่ 4.1.8	ผลการกำจัดสีด้วยถ่านกัมมันต์จากเปลือกแมคคาเดเมีย .....	33
รูปที่ 4.1.9	ผลการกำจัดสีด้วยโซโนน .....	34
รูปที่ 4.1.10	ทางเลือกที่ 1 ในการปรับปรุงระบบ .....	35
รูปที่ 4.1.11	ทางเลือกที่ 2 ในการปรับปรุงระบบ .....	35
รูปที่ 4.1.12	ทางเลือกที่ 3 ในการปรับปรุงระบบ .....	36
รูปที่ 4.2.1	การเตรียมบ่อทดสอบชนิดพืช .....	37
รูปที่ 4.2.2	บ่อทดสอบพืช (ก่อนการทดลอง) .....	37
รูปที่ 4.2.3	บ่อทดสอบพืช (หลังการทดลอง) .....	37

## บทที่ 1

### บทนำ

#### **1.1 ความสำคัญและที่มาของปัญหาที่ทำการวิจัย**

การพัฒนาพื้นที่โครงการพัฒนาดอยตุง (พื้นที่ทรงงาน) อันเนื่องมาจากพระราชดำริ มีวัตถุประสงค์หลักเพื่อการอนุรักษ์ทรัพยากรธรรมชาติ ความกินดืออยู่ดีของประชาชน และฟื้นฟูสภาพสิ่งแวดล้อมของพื้นที่โครงการฯ ที่เสื่อมโทรม จากการตัดไม้ทำลายป่า การทำไร่เลื่อนลอย และปลูกฝันของราษฎรชาวเขาในพื้นที่มาเป็นเวลานานให้กลับคืนสู่สภาพปกติ ด้วยการป้องกัน และให้มีการปลูกป่าอนุรักษ์ต้นน้ำลำธาร ป่าเศรษฐกิจและป่ายังชีพขึ้น จากการพัฒนาอย่างต่อเนื่องนี้ ทำให้ดอยตุงได้กลายเป็นป่าต้นน้ำสำคัญ ชาวบ้านในพื้นที่มีคุณภาพชีวิตที่ดีขึ้น โดยการส่งเสริมให้ราษฎร ชาวเขาในพื้นที่มีงานทำ สร้างรายได้จากการผลิตต่าง ๆ เช่น การปลูกกาแฟ และแมคคาเดเมีย การทำกระดาษสา การย้อมสี การหอผ้า การทำเซรามิก และค้ากาแฟ ฯลฯ กิจกรรมดังกล่าวทำให้โครงการ พัฒนาดอยตุงฯ เป็นตัวอย่างที่ดีของการพัฒนาทางเลือกที่ยั่งยืนอย่างไร้กีดขวางจากกิจกรรมดังกล่าว โดยเฉพาะอย่างยิ่ง การทำกระดาษสา การย้อมสี และการทำเซรามิก เป็นกิจกรรมที่ใช้น้ำในกระบวนการผลิตในปริมาณมาก (200-300 ลิตรต่อวัตถุดิบ 1 กิโลกรัม) เมื่อเทียบกับกิจกรรมอื่น และในขณะเดียวกัน ก็ปล่อยน้ำเสียในปริมาณมากเช่นเดียวกัน จำเป็นต้องได้รับการบำบัดอย่างถูกวิธี เพื่อให้ได้ตามมาตรฐานน้ำทึบก่อนปล่อยลงสู่ธรรมชาติ ซึ่งจะส่งผลกระทบทางลบในทางตรงต่อสิ่งแวดล้อม และทางอ้อมกับชื่อเสียง ของโครงการพัฒนาดอยตุงฯ และมูลนิธิแม่ฟ้าหลวงที่สร้างมาเป็นเวลานาน ด้วยสาเหตุดังกล่าว จึงเป็นความจำเป็นอย่างเร่งด่วนที่ต้องมีระบบบำบัดน้ำเสียที่สามารถใช้งานได้จริง และมีประสิทธิภาพในการบำบัดน้ำเสียของกิจกรรมดังกล่าว และจากการศึกษาแนวพระราชดำริ และทฤษฎีธรรมชาติของการย่อยสลายสารอินทรีย์ ที่มีในน้ำเสียได้สารอินทรีย์ หรือธาตุอาหารพืช ด้วยทฤษฎีธรรมชาติดังกล่าว องค์พระบาทสมเด็จพระเจ้าอยู่หัวฯ ทรงมีพระราชดำริในการดำเนินการด้านการบำบัดน้ำเสียชุมชน โดยอาศัยหลักการธรรมชาติช่วยธรรมชาติ (สำนักงานคณะกรรมการพิเศษเพื่อประสานงานโครงการอันเนื่องมาจากพระราชดำริ, 2552) โดยการใช้พืชน้ำจามพวก กก รูปถานะ ผักตบชวา สาหร่ายบางชนิด ซึ่งสามารถเปลี่ยนน้ำเสียให้เป็นน้ำดีได้ โดยเฉพาะต้นรูปถานะ ซึ่งพบได้ทั่วไปตามพื้นที่ต่างๆ มีข้อดีอยู่หลายประการ เช่น สามารถเจริญเติบโตได้ง่าย ทนต่อสภาพสิ่งแวดล้อมต่างๆ ได้ดี และสามารถดูดซับและละลายธาตุอาหารได้ เช่น ธาตุโพแทสเซียม ฟอสฟอรัส ในโตรเจน และยังสามารถกำจัดพวงรากธาตุโลหะหนักบางชนิดได้ด้วย เช่น พวงราก แคนเดเมียม ตะกั่ว ซึ่งเป็นสารปนเปื้อนอยู่ในน้ำเสีย ที่อาจจะมาจากการปล่อยน้ำทึ้งจากบ้านเรือน และโรงงานอุตสาหกรรมต่างๆ และการวิจัยที่ผ่านมาพบว่าระบบบึงประดิษฐ์เป็นระบบที่มีประสิทธิภาพสูงในการบำบัดน้ำเสียทั้งน้ำเสียชุมชน น้ำเสียอุตสาหกรรม และน้ำเสียจากการทำเหมืองแร่ (Vymazal, 2002) และจากการศึกษาของ (Bulc & Ojstrsek, 2008) พบว่า ระบบบึงประดิษฐ์ สามารถกำจัดสีรีแอคทีฟ สีดิสเพรส และสีแวนต์ จากโรงงานสิ่งทอในประเทศสโลวาเกียได้อย่างมีประสิทธิภาพ และคุณภาพ

น้ำที่ได้ผ่านมาตรฐานน้ำทึ้ง ด้วยเหตุผลดังกล่าวโครงการพัฒนาดอยตุงฯ โดยมุ่งเน้นให้พ้าหลวงในพระบรมราชูปถัมภ์ ได้ติดตั้งระบบบึงประดิษฐ์แบบน้ำไหลใต้ดินในแนวนอน เพื่อบำบัดน้ำเสียของโครงการฯ แต่ระยะเวลาที่ผ่านมาระบบบึงประดิษฐ์มีแนวโน้มที่จะเกิดปัญหาการอุดตันขึ้นในอนาคต

ดังนั้นงานวิจัยนี้สนใจศึกษาประสิทธิภาพการบำบัดน้ำเสียจาก โรงพยาบาลราษฎร์ โรงพยาบาลย้อมสี และ โรงพยาบาลเชรามิค บริเวณพื้นที่โครงการพัฒนาดอยตุง (พื้นที่ท้องงาน) อันเนื่องมาจากพระราชดำริ ด้วยระบบบึงประดิษฐ์แบบผสมผสานระหว่างระบบบึงประดิษฐ์ที่น้ำไหลท่วมผิวน้ำของอย่างอิสระ (free water surface system) และระบบบึงประดิษฐ์แบบพืชลอยน้ำ (floating wetland) ซึ่งจะช่วยแก้ปัญหาการอุดตันของระบบบึงประดิษฐ์แบบน้ำไหลใต้ดินในแนวนอน รวมทั้งเป็นระบบที่ลดการใช้พลังงาน สารเคมี ลดค่าใช้จ่ายในการดำเนินการบำบัดน้ำเสีย โดยทำให้คุณภาพของแหล่งรองรับน้ำทึ้งดีขึ้น เกิดความสมดุลของระบบนิเวศน์และสิ่งแวดล้อม นอกจากนี้การใช้พืชน้ำในการบำบัดน้ำเสียยังได้รับผลลัพธ์จากการนำพืชไปใช้ประโยชน์อย่างอื่นอีกด้วย เช่น การใช้ในการผลิตสินค้าหัตถกรรม งานหอ เสื่อ ทำกระดาษ หรือการใช้เป็นเชื้อเพลิงชีวมวล เพื่อทดแทนแก๊สหุงต้ม หรือใช้ผลิตไฟฟ้า สามารถนำรายได้กลับมาให้กับโครงการพัฒนาดอยตุงฯ เพื่อเป็นการจ้างแรงงานรายภูมิ ในพื้นที่

## 1.2 วัตถุประสงค์ของโครงการวิจัย

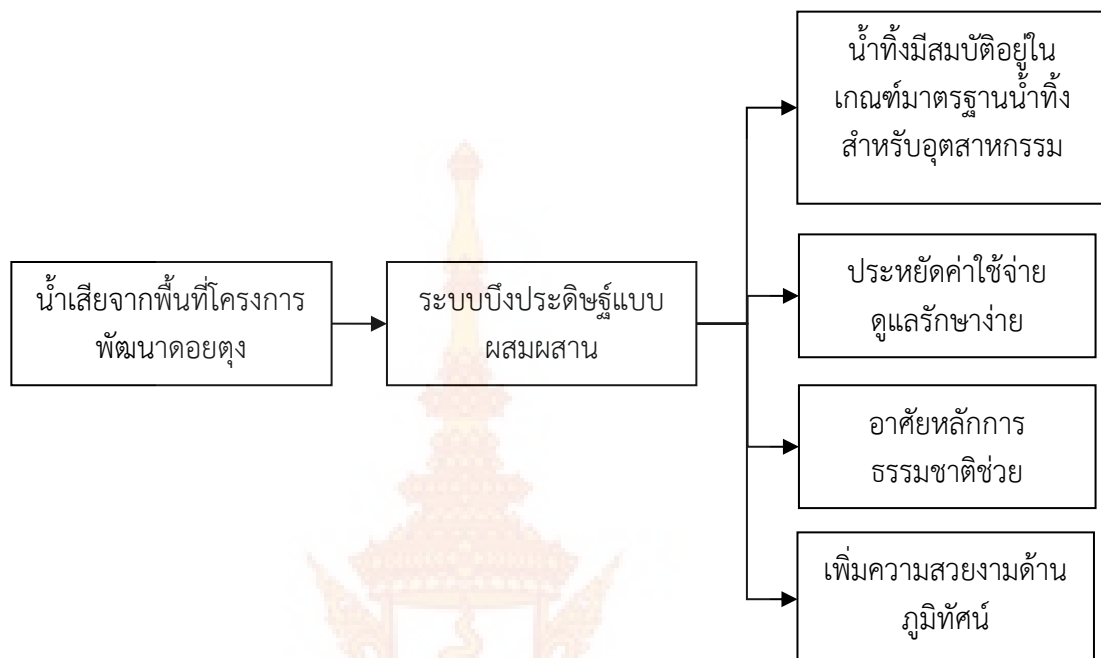
- (1) ออกแบบระบบบึงประดิษฐ์แบบผสมผสานระหว่างระบบที่น้ำไหลท่วมผิวน้ำของอย่างอิสระ และระบบพืชลอยน้ำ
- (2) สร้างระบบบึงประดิษฐ์แบบผสมผสานที่มีรูปทรงเลียนแบบระบบจริง (pilot-scale)
- (3) ศึกษาปัจจัยที่มีผลต่อประสิทธิภาพของระบบบึงประดิษฐ์แบบผสมผสาน

## 1.3 ขอบเขตของโครงการวิจัย

- (1) ทดลองกับน้ำเสียจากการทำกระดาษ การย้อมสี และการทำเชรามิคจากพื้นที่โครงการพัฒนาดอยตุง (พื้นที่ท้องงาน) อันเนื่องมาจากพระราชดำริ
- (2) รูปแบบของระบบบึงประดิษฐ์เป็นแบบผสมผสานระหว่างระบบที่น้ำไหลท่วมผิวน้ำของอย่างอิสระ และระบบพืชลอยน้ำร่วมกับระบบเติมอากาศเชิงกล
- (3) ปัจจัยที่มีผลต่อประสิทธิภาพของระบบบำบัดน้ำเสียด้วยเครื่องจักรชีวภาพ โดยพิจารณา
  - ปัจจัยดังนี้
    - ชนิดของพืชน้ำ
    - ปริมาณการเติมอากาศ
    - อัตราการไหลของน้ำเข้าระบบ

(4) วิเคราะห์ พีอีช ความนำไฟฟ้า ความชุ่น ปีโอดี ซีโอดี ของน้ำก่อนเข้าระบบ และหลังจาก ผ่านระบบบึงประดิษฐ์แบบผสมผสาน

#### 1.4 กรอบแนวคิด



#### 1.5 ประโยชน์ที่ได้รับ

- (1) แนวทางในการประยุกต์ใช้ระบบบึงประดิษฐ์สำหรับการบำบัดน้ำเสียโรงงานฟอกย้อมสีทอ โรงงานฟอกย้อมกระดาษสา โรงงานเซรามิก ที่ใช้เทคโนโลยีอย่างง่าย เน้นต้นทุนต่ำ สะดวกในการดูแลรักษา ระบบและมีประสิทธิภาพ
- (2) แนวทางในการพึ่งพาตนเองโดยไม่ต้องใช้เทคโนโลยีจากต่างประเทศ
- (3) แบบจำลองระบบบึงประดิษฐ์สำหรับการบำบัดน้ำเสียด้วยระบบบึงประดิษฐ์แบบผสมผสาน

#### 1.6 นิยามศัพท์

อุณหภูมิน้ำ (water temperature)

หมายถึง ระดับความร้อน การเปลี่ยนแปลงอุณหภูมิในแหล่งน้ำ เกิดได้จากอากาศที่มีแสงส่องผ่านลง ไปในแหล่งน้ำ ต่อมามีการเปลี่ยนพลังงานแสงเป็นพลังงานความร้อน นอกจากนี้รังสีความร้อนจากดวงอาทิตย์ ลม และการระเหยของน้ำ มีส่วนทำให้อุณหภูมิของน้ำเปลี่ยนแปลงได้เช่นกัน

### ความเป็นกรด-ด่าง (pH)

พีเอชเป็นค่าที่แสดงความเป็นกรด-ด่างของน้ำ ว่ามีค่ามากน้อยเพียงใด ค่าพีเอชขึ้นกับปริมาณของไฮโดรเจนไอออนที่แตกตัวในน้ำ

### การนำไฟฟ้าของน้ำ (conductivity)

การนำไฟฟ้าของน้ำ หมายถึง ความสามารถของน้ำในการเป็นสื่อนำกระแสไฟฟ้า ตัวการที่เป็นสื่อในการนำกระแสไฟฟ้าในน้ำ คือ ไอออน (ion) ของสารประกอบอนินทรีย์ต่างๆ เช่น กรดอนินทรีย์ ด่างและเกลือ เป็นตัวนำไฟฟ้าได้ดี เพราะเมื่อยูนิโน่น้ำจะแตกตัวให้ไอออน (ionization) ได้ ตรงข้ามกับสารอินทรีย์ เช่น น้ำตาลสารเบนซิน สารเหล่านี้ไม่แตกตัวในน้ำจึงไม่นำไฟฟ้า การนำไฟฟ้าเป็นเครื่องบ่งชี้ถึงปริมาณเกลือแร่ต่างๆ ที่ละลายอยู่ในน้ำ นิยมวัดอุปกรณ์ในรูปอัตราส่วนของความต้านทาน โดยมีหน่วยเป็นไมโครซีเมนต์ต่อเซนติเมตร (microsiemens  $\mu\text{S}/\text{cm}$ ) หรือไมโครโมสต์ต่อเซนติเมตร (micromhos หรือ  $\mu\text{mhos}/\text{cm}$ )

### ของแข็งละลายน้ำทั้งหมด (total dissolved solids, TDS)

ของแข็งละลายน้ำทั้งหมดหมายถึง ปริมาณของแข็งที่ละลายน้ำได้ และสามารถไหลผ่านกริดาษกรองไอลแก้ว เมื่อกรองปริมาณของแข็งแขวนลอยออกแล้วเอาน้ำใส่ที่ผ่านกริดาษกรองไอลแก้ว ไปรشهยะหะ ปริมาณของแข็งละลายน้ำได้ ของแข็งส่วนที่ละลายน้ำได้ ได้แก่เกลืออินทรีย์ต่างๆ ของอินทรีย์สาร ตัวอย่างน้ำที่กรองผ่านกริดาษกรอง GF/C ในถ้วยระ夷ห์ที่ทราบน้ำหนักจะถูกนำไปรشهยะห์ในน้ำจันแห้งแล้วนำไปอบที่ 103.00-105.00 องศาเซลเซียส ทำให้เย็นแล้วซึ่งน้ำหนักที่เพิ่ม คือ น้ำหนักของของแข็งละลายน้ำทั้งหมดของแข็งทั้งหมดในน้ำ (total solids, TS)

ของแข็งทั้งหมดในน้ำ หมายถึง สารที่เหลือเป็นตะกอนอยู่ภายหลังที่ผ่านกริดาษกรองไอลแก้ว ตัวอย่างน้ำที่ผสมเข้ากันอย่างดีในถ้วยระ夷ห์ซึ่งทราบน้ำหนัก จะถูกนำไปรشهยะห์ในน้ำจันแห้ง แล้วนำไปอบที่อุณหภูมิ 103.00-105.00 องศาเซลเซียส ทำให้เย็นแล้วซึ่งน้ำหนักที่เพิ่ม ซึ่งตะกอนที่เหลือนี้จะมีทั้งสารอินทรีย์และสารอนินทรีย์ ของแข็งทั้งหมดในน้ำเป็นสิ่งເຈືອປນໃນน้ำที่เหลืออยู่เมื่อรشهຍນ້າອອກຈານหมวด ไม่รวมสารบางอย่างที่รشهຍໄປກັນນ້າ เช่น พວກกรดอินทรีย์ และกรดต่างๆที่ละลายน้ำ สิ่งເຈືອປນແລ້ວนີ້ມີທັງสารอินทรีย์และสารอนินทรีย์ໃນນ້າທີ່

### ของแข็งแขวนลอยทั้งหมด (total suspended solids, TSS)

ของแข็งแขวนลอย คือสารหรือของแข็งส่วนที่ไม่ละลายน้ำ แต่แขวนลอยอยู่ในน้ำ ทำให้เกิดความชุ่น เป็นของแข็งส่วนที่กรองได้โดยกริดาษกรองน้ำตัวอย่างผ่านกริดาษกรอง GF/C ที่ทราบน้ำหนัก ตะกอนที่ติดอยู่บนกริดาษกรอง นำไปอบที่ 103.00-105.00 องศาเซลเซียส ทำให้เย็นในโถทำแห้ง แล้วซึ่งน้ำหนักที่เพิ่มขึ้น คือ น้ำหนักของของแข็งแขวนลอยทั้งหมดต่อปริมาตรตัวอย่างน้ำที่ใช้ของแข็งแขวนลอยมีผลทำให้ค่าบีโอดี และค่าซีໂໂອດในน้ำสูงขึ้น

## ความขุ่น (turbidity)

ความขุ่นเกิดจากสารแขวนลอยในน้ำที่เป็นต้นเหตุทำให้น้ำไม่ใส การวัดความขุ่นเป็นการวัดเกี่ยวกับแสง มีหน่วยวัดเป็นเอ็นที尤 (Nephelometric turbidity unit, NTU)

## ปริมาณออกซิเจนที่ละลายในน้ำ (dissolved oxygen, DO)

ออกซิเจนเป็นแก๊สที่ละลายน้ำได้น้อยมาก และไม่ทำปฏิกิริยาทางเคมีกับน้ำ การละลายของออกซิเจนขึ้นกับความดัน อุณหภูมิ และปริมาณของแข็งละลาย ค่าออกซิเจนละลายน้ำมีความสำคัญใช้บอกให้ทราบว่าน้ำนั้นมีความเหมาะสมเพียงใดต่อการดำเนินชีวิตของสิ่งมีชีวิตในน้ำ

## ปริมาณความต้องการออกซิเจนทางชีวเคมี (biochemical oxygen demand, BOD)

บีโอดีเป็นค่าที่บ่งบอกถึงปริมาณความสกปรกของน้ำเสีย โดยคิดเปรียบเทียบในรูปปริมาณออกซิเจนที่จุลินทรีย์ต้องการใช้ในการย่อยสลายสารอินทรีย์ภายในเวลา 5 วัน ในช่วงระยะเวลา และอุณหภูมิที่กำหนดให้ การวิเคราะห์ค่าออกซิเจนที่จุลินทรีย์ต้องการใช้ในการย่อยสลายสารอินทรีย์ โดยทั่วไปเป็นการวัดปริมาณออกซิเจนที่ถูกใช้หมดในเวลา 5 วัน ในตู้ควบคุมที่  $20 \pm 1$  องศาเซลเซียส

## ปริมาณความต้องการออกซิเจนทางเคมี (chemical oxygen demand, COD)

ซีโอดีเป็นค่าที่บ่งบอกถึงปริมาณความสกปรกของน้ำเสีย โดยคิดเปรียบเทียบในรูปของปริมาณออกซิเจนที่ต้องการในการออกซิได้สารอินทรีย์อย่างสมบูรณ์ โดยใช้โพแทสเซียมไนโตรเมต ( $K_2Cr_2O_7$ ) ในสารละลายที่เป็นกรด

## ไนโตรเจน (N)

เป็นสารอาหารที่สิ่งมีชีวิตต้องการ ในน้ำเสียมีไนโตรเจนอยู่หลายรูปแบบ คือ ในรูปของสารอินทรีย์และโมโนเนีย ไนโตรท ไนเตรท การตรวจพบว่าในน้ำเสียมีไนโตรเจนในรูปแบบใดจะสามารถบอกให้รู้ว่าน้ำเสียนั้นใหม่หรือเก่า น้ำเสียซุ่มชนที่เกิดขึ้นใหม่จะมีค่าไนโตรเจนในรูปของสารอินทรีย์ประมาณ  $20-25$  มิลลิกรัมต่อลิตร ถ้าเป็นน้ำเสียเก่าจะมีค่าไนโตรเจนสูงเป็นตัน

## ฟอสฟอรัส (P)

เป็นสารอาหาร เช่นเดียวกับไนโตรเจน จำเป็นต่อการดำเนินชีวิตด้วยเช่นกัน หากน้ำผิวดินมีค่าฟอสฟอรัสสูงจะทำให้เกิดสาหร่ายขึ้นเป็นจำนวนมาก ฟอสฟอรัสมีอยู่หลายรูปแบบ เช่นเดียวกับไนโตรเจน คือในรูปของสารอินทรีย์ โพลีฟอสเฟต และออโรฟอสเฟต ในน้ำทึ้งซุ่มชนทั่วไปจะมีค่าฟอสฟอรัสประมาณ  $2-20$  มิลลิกรัมต่อลิตร



## บทที่ 2

### ทฤษฎีและงานวิจัยที่เกี่ยวข้อง

เทคโนโลยีที่ใช้ในการบำบัดน้ำเสียมีหลายวิธี แต่เทคโนโลยีที่สร้างขึ้นเหล่านี้มักจะต้องใช้การลงทุนที่ค่อนข้างสูง ทั้งในด้านเครื่องจักรกลและพัลส์งาน ระบบบึงประดิษฐ์เป็นทางเลือกหนึ่งโดยมีระบบเทคโนโลยีการจัดการที่ง่าย สะดวก และเป็นวิธีการที่อาศัยธรรมชาติในการบำบัดน้ำเสีย ซึ่งได้แก่ความสัมพันธ์ของตัวกรอง น้ำ และพืชร่วมกับจุลินทรีย์

#### 2.1 การบำบัดน้ำเสียแบบใช้ธรรมชาติ

การบำบัดน้ำเสียแบบธรรมชาติอาศัยกลไกธรรมชาติทั้งที่เป็นกระบวนการทางกายภาพ ทางเคมี และทางชีวภาพ ที่มีอยู่ในดิน น้ำ พืช และจุลชีพเพื่อช่วยในการปรับสภาพน้ำเสียให้เป็นน้ำที่มีสารปนเปื้อนลดน้อยลง โดยไม่ใช้เครื่องจักรกล จึงเป็นวิธีที่ประหยัดพลังงานไฟฟ้า แต่ต้องอาศัยเทคนิคการบริหารจัดการพื้นที่ บำบัดอย่างมีประสิทธิภาพ เนื่องจากต้องใช้พื้นที่มาก และต้องไม่ส่งผลกระทบต่อสิ่งแวดล้อม การบำบัดน้ำเสียแบบธรรมชาติ มีอยู่ด้วยกัน 3 วิธี ได้แก่ วิธีบำบัดน้ำเสียแบบระบายน้ำ (land treatment systems) วิธีบึงประดิษฐ์ (constructed wetland systems) และวิธีพืชลอยน้ำ (floating aquatic plant treatment systems) (Kadlec, R.H. & Knight R.L., 1996)

วิธีบำบัดน้ำเสียแบบระบายน้ำ (land treatment systems) เป็นวิธีการปล่อยน้ำเสียลงบนพื้นที่เกษตรกรรม หรือพื้นที่ว่างเปล่าที่ไม่ได้ใช้ในกิจกรรมใด ๆ ทั้งสิ้น วิธีนี้เป็นวิธีที่ประหยัดแต่ต้องใช้พื้นที่มากในการบำบัดน้ำเสีย การใช้วิธีนี้ต้องคำนึงด้วยว่าในน้ำเสียมีสารพิษปะปนหรือไม่ เนื่องจากอาจส่งผลกระทบต่อการเจริญของพืช และถ้าเป็นพืชที่ต้องนำมารับประทานเป็นอาหาร อาจมีการปนเปื้อนของสารพิษเหล่านั้นในพืชผลที่เก็บเกี่ยวได้

วิธีบึงประดิษฐ์หรือระบบที่ชั่มน้ำเทียม (constructed wetland systems) เป็นวิธีการปล่อยน้ำเสียลงในบึง ซึ่งสร้างขึ้นมาเพื่อวัตถุประสงค์ในการบำบัดน้ำเสียโดยตรง บึงประดิษฐ์ที่มีความลึกน้อยกว่า 0.6 เมตร มีพืชน้ำซึ่งมีรากอยู่ใต้ดินเจริญเติบโตภายในบึง ซึ่งรากของพืชเหล่านี้จะทำหน้าที่เป็นตัวกลางให้แบคทีเรียเกาะได้ และทำหน้าที่เป็นตัวรองและตัวดูดซับสารปนเปื้อนต่าง ๆ ในน้ำเสีย เพิ่มปริมาณออกซิเจนให้แก่น้ำ และใบของพืชป้องกัน ยับยั่งการเจริญเติบโตของสาหร่าย โดยทำหน้าที่กันแสงแดดไม่ให้ส่องลงไปใน

วิธีพืชลอยน้ำ (floating aquatic plant treatment systems) การบำบัดน้ำเสียด้วยวิธีนี้คือลักษณะ กับระบบบึงประดิษฐ์แบบน้ำอยู่เหนือผิวน้ำ ส่วนที่แตกต่างกันคือพืชที่ใช้ในการบำบัด ซึ่งเป็นพืชจำพวกผักตบชวา และ แหน ความลึกของบ่อ มีความลึกมากกว่า คือ 50-180 เซนติเมตร น้ำเสียที่จะเข้าไปบำบัดด้วยวิธีนี้ต้องผ่านการตกตะกอนและการเติมอากาศในระยะเวลาสั้นมาก่อน เพื่อให้ป้องกันมีปริมาณออกซิเจน

ตลอดเวลาและเพื่อป้องกันกลืนเหม็น และแมลงต่าง ๆ มาตอม เมื่อน้ำเสียที่ปล่อยลงบ่อ宦ผ่านรากพืชลอยน้ำ ซึ่งมีแบคทีเรียเกาะอยู่บนราก ก็จะเกิดการบำบัดน้ำเสียขึ้น

## 2.2 การบำบัดน้ำเสียด้วยวิธีพืชลอยน้ำ (free floating macrophyte-based system)

พรรณไม่น้ำ หรือพืchnera (aquatic plants, water plants, hydrophytes) หมายถึง พืชที่ขึ้นอยู่ในน้ำ โดยอาจจะจมอยู่ใต้น้ำทั้งหมด หรือ漂浮着ส่วนขึ้นมาอยู่เหนือน้ำ ลอยอยู่ที่ผิวน้ำหรือเป็นพืชที่ขึ้นอยู่ ตามริมน้ำ ชายตلال นอกจานี้ยังรวมถึงพืชที่เจริญเติบโตอยู่ในบริเวณที่ลุ่มน้ำข้างด้วย

### 2.2.1 ประเภทของพืชในพื้นที่ชุมชน้ำ

พืชในพื้นที่ชุมชน้ำจำแนกได้เป็นประเภทต่างๆ ได้ดังนี้

(1) จำแนกตามขนาด ได้เป็น 2 ประเภท คือ

**Microphytes** คือ พืชที่มีขนาดเล็กมากจนไม่สามารถมองเห็นได้ด้วยตาเปล่า ต้องดูด้วยกล้องจุลทรรศน์

**Macrophytes** คือ พืชที่มีขนาดใหญ่ มองเห็นได้ด้วยตาเปล่า แบ่งเป็นกลุ่มใหญ่ ๆ ได้แก่ กลุ่มสาหร่าย กลุ่มมอส กลุ่มเฟิร์น และกลุ่มพืชเมล็ด สำหรับพืชในกลุ่มนี้แบ่งเป็นกลุ่มย่อยตามลักษณะแหล่งน้ำ ได้ 2 ประเภท คือ

**Limnophytes** เป็นพืชที่ขึ้นอยู่ในบริเวณแหล่งน้ำจืด

**Halophytes** เป็นพืชที่ขึ้นอยู่ในบริเวณแหล่งน้ำกร่อยหรือน้ำเค็ม

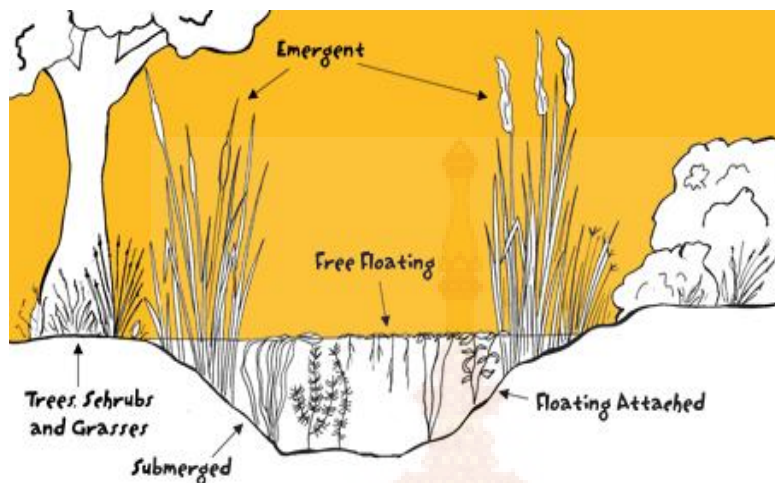
(2) จำแนกตามลักษณะการเจริญเติบโตในแหล่งน้ำ หรือแหล่งที่อยู่ มี 4 ประเภท คือ

**พืชลอยน้ำ** (floating plants) เป็นพรรณไม่น้ำที่เจริญลอยอยู่ในระดับผิวน้ำ มีรากห้อยอยู่ใต้ระดับน้ำ ส่วนของลำต้น ใบและดอก เจริญอยู่เหนือน้ำ ถ้าอยู่ในน้ำตื้น ๆ راكอาจจะหยังยืดพื้นดินใต้น้ำก็ได้ พืชประเภทนี้ส่วนใหญ่มักจะมีส่วนหนึ่งส่วนใดเปลี่ยนไปเป็นทุ่น เพื่อพยุงลำต้นให้ลอยน้ำได้ เช่น ผักตบชวา มีส่วนของก้านใบพองตัวเป็นทุ่น ผักบุ้งมีส่วนลำต้นภายในกลาง ช่วยให้ลำต้นเลื่อยหอดตัวไปบนผิวน้ำได้

**พืชใต้น้ำ** (submerged plants) เป็นพืชที่มีส่วนของราก ลำต้น และใบอยู่ใต้น้ำทั้งหมด อาจมีรากยึดติดกับพื้นดินใต้น้ำหรือไม่ก็ได้ บางชนิดเมื่อเจริญเต็มที่ก็จะส่งดอกขึ้นมาเจริญที่ผิวน้ำหรือเหนือน้ำ เช่น สาหร่ายหางกระรอก สาหร่ายพุงชาโด และสันตะวา

**พืชโผล่เหนือน้ำ** (emerged plants) เป็นพืชที่เจริญเติบโตอยู่ใต้น้ำบางส่วน และโผล่เหนือน้ำบางส่วนโดยมีรากหรือทั้งรากและลำต้นเจริญอยู่ในพื้นดินใต้น้ำ แล้วส่วนของใบและดอกขึ้นมาเจริญเหนือน้ำ เช่น บัวต่าง ๆ กกบางชนิด

พืชชายน้ำ (marginal plants) เป็นพืชที่ขึ้นตามชายน้ำ ริมตลิ่ง หรือหนองน้ำที่ท่วมขังตื้น ๆ โดยทั่วไปมีรากและลำต้นเจริญอยู่ในพื้นดิน และส่งลำต้นบางส่วน ใบ และดอกขึ้นมาเหนือน้ำ เช่น ผักเป็ดน้ำ หญ้าต่าง ๆ พืชน้ำประเภทนี้มีลักษณะใกล้เคียงกับพืชโผล่เหนือน้ำจวนบางครั้งไม่สามารถแยกได้ชัดเจน เช่น ผักตะปไส้ โสน



รูปที่ 2.2.1 ชนิดของพืชในพื้นที่ชั่มน้ำ (wetland plant)

ที่มา: (“Waterwatch Adelaide & Mount Lofty Ranges - Growth Forms,” n.d.)

การใช้พืชเพื่อปรับปรุงคุณภาพน้ำ สามารถเลือกตามลักษณะ หน้าที่ หรือความสำคัญในการปรับปรุงคุณภาพ ดังแสดงในตารางที่ 2.2.1

### ตารางที่ 2.2.1 ลักษณะและหน้าที่ของพืชในพื้นที่ชั่วโมง

ชนิด พืช	ลักษณะทั่วไปของพืช	หน้าที่ของพืช
พืชลอยน้ำ	โครงสร้างของใบและรากติดกัน โดยมีโครงสร้างของใบและลำต้นลอยอยู่เหนือผิวน้ำ เคลื่อนที่ตามกระแสน้ำ	ทำหน้าที่ในการดูดซับธาตุอาหาร ให้ร่มเงา ปิดกันแสงแดดไม่ให้ผ่านลงไบ่น้ำ เป็นการชัลล์การเจริญเติบโตของสาหร่าย และช่วยในการกระจายออกซิเจนจากอากาศลงสู่น้ำ
พืชจมน้ำ	โครงสร้างของใบ และลำต้นลอยอยู่ร่องหว่างผิวดินด้านล่างของพื้นที่ชั่วโมงน้ำ กับผิวน้ำ ด้านบน	มีโครงสร้างของใบ และรากเป็นที่ยึดเกาะของพวงจุลินทรีย์ และช่วยในการเคลื่อนย้ายแก๊สออกซิเจนจากอากาศลงสู่น้ำ
พืชโผล่พื้นน้ำ	มีโครงสร้างรากอยู่ด้านล่าง และลำต้นอยู่เหนือผิวน้ำ สามผัสอากาศโดยตรงเป็นพืชที่ทนต่อสภาพน้ำท่วมขังได้ดี	ลักษณะโครงสร้างของใบ และลำต้นที่อยู่เหนือน้ำของพืชช่วยในการกระจายการไหลของน้ำ และลดความเร็วของน้ำ เป็นการกรองสารแขวนลอยได้ดี พร้อมทั้งยังมีหน้าที่ในการปิดกันแสงไม่ให้ส่องผ่านลงในน้ำได้เท่ากับเป็นการชัลล์การเจริญเติบโตของสาหร่าย

ที่มา: (U.S. EPA, 1988)

พืชจะช่วยในการบำบัดน้ำเสียโดยการดูดซึมธาตุอาหาร โลหะหนัก และสารอื่น ๆ ที่ปนเปื้อนมากับน้ำเสียเพื่อนำมาใช้ในการเจริญเติบโตโดยผ่านทางระบบรากเข้าสู่ลำต้น นอกจากนี้รากพืชยังเป็นส่วนสำคัญในการบำบัดน้ำเสีย คือทำหน้าที่เพิ่มพื้นที่ผิวให้จุลินทรีย์ยึดเกาะ มีการเคลื่อนย้ายแก๊สต่าง ๆ รวมถึงออกซิเจนจากการใบลงสู่ระบบราก เกิดสภาพออกซิเจนเป็นฟิล์มบาง ๆ (rhizosphere) รอบ ๆ ราก ทำให้จุลินทรีย์ใช้ออกซิเจนในการย่อยสลายสิ่งสกปรกต่าง ๆ ในน้ำ ทำให้น้ำมีคุณภาพดีขึ้น (Hammer, 1989) นอกจากนี้ก้านหรือลำต้นที่อยู่ในน้ำเป็นตัวกลางในการกรองดูดซับตะกอน และของแข็งที่แขวนลอยในน้ำ

จากที่กล่าวมาข้างต้น พืชจะมีกลไกหลายประการที่ทำให้สามารถลดปริมาณสารปนเปื้อนในน้ำเสีย การนำพืชมาใช้ในการบำบัดน้ำเสียจะมีข้อจำกัด กล่าวคือต้องมีการคัดเลือกชนิดพืชที่เหมาะสม โดยสมบัติของพืชที่นำมาใช้ในการบำบัดน้ำเสีย สรุปได้ดังนี้

- (1) สามารถปรับตัวและเจริญเติบโตได้ดีในท้องถิ่นนั้น ๆ นอกจากนี้ยังต้องสามารถปรับตัวได้ดีในสภาพอุณหภูมิอากาศที่เปลี่ยนแปลง
- (2) มีอัตราการสังเคราะห์แสงสูง และเจริญเติบโตได้ดี

(3) มีความสามารถในการส่งผ่านออกซิเจนได้สูง โดยนำออกซิเจนจากบรรยากาศส่งผ่านมาตามใบ ลำต้น และราก โดยพืชจำพวกธุปุก้าซี มีชั้นรากหนาประมาณ 0.30 เมตร และรากพืชจำพวกกอก แหก จะหยั่งลึกถึง 0.70 เมตร

(4) สามารถทนต่อการเปลี่ยนแปลงปริมาณความเข้มข้นของสารมลพิษได้ในช่วงกว้าง

(5) มีความสามารถในการดูดซึมและเก็บสะสมสารต่างๆได้

(6) มีความสามารถต่อโรคและแมลงต่างๆได้ดี

(7) สามารถนำออกระบบได้ง่าย เนื่องจากพืชจะลดปริมาณสารที่มีอยู่ในน้ำเสียให้ได้ผลดีที่สุดนั้น พืชต้องมีการนำออกจากระบบบ้าง เพื่อมิให้พืชอยู่นานแเน่นจนเกินไปจนระบบขาดประสิทธิภาพ

(US Army Corps of Engineering., 1993) แนะนำให้ใช้พืชจากบริเวณใกล้เคียง ในรัศมี 100 ไมล์ ทางเสนอ ความยาว 200 ไมล์ทางเสนอ แล้วระดับความสูงไม่เกิน 1,000 ฟุต โดยนักนิเวศนวิทยาได้อธิบายว่าหากนำพืชจากบริเวณอื่น มาการเจริญเติบโตของพืชอาจถูกยับยั้งได้ (Cincinnati, n.d.)

การนำพืชมาใช้ในการบำบัดน้ำเสีย มีผู้ทดลองใช้พืชน้ำหลายชนิด เช่น ธุปุก้าซี อ้อ กอก และผักตบชวา เป็นต้น เนื่องจากสามารถเจริญเติบโตได้ในบริเวณพื้นที่ชั่วคราว และยังสามารถบำบัดน้ำเสียชุมชน และน้ำเสียอุตสาหกรรมได้ (Cooper, P. F., Job, G. D., Green, M. B., & Shutes, R. B. E., 1996; Kadlec, R.H. & Knight R.L., 1996)

ดังนั้นในปัจจุบันจึงมีการศึกษา เพื่อนำพืชมาใช้ในการบำบัดน้ำเสีย พบว่ามีประสิทธิภาพดีในการบำบัดน้ำเสีย พืชลอยน้ำ (floating plant) จากการศึกษาลักษณะทางพฤกษาศาสตร์พืชลอยน้ำ (floating plant) 5 ชนิด คือ ผักตบชวา จอก จอกหูหนู แพงพวยน้ำ และเหนเป็ดใหญ่ ของนิศานารท ละองพันธุ์ และ จำพร คล้ายแก้ว (นิศานารท ละองพันธุ์ & จำพร คล้ายแก้ว, 2013) รายงานว่า ผักตบชวา จอก จอกหูหนู และแพงพวยน้ำ มีลักษณะรากเป็นระบบรากฝอย (fibrous roots system) มีลำต้นส่วนที่ทอดเลี้ยงไปตามผิวน้ำ เเรียก ไหล (stolon) เมื่ອอกกัน แต่มีบางลักษณะต่างกัน เช่น จอกหูหนู ไม่สร้างดอก แต่มีอวัยวะสร้างเซลล์สืบพันธุ์ เเรียก sporocarp ซึ่งทำหน้าที่สร้างสปอร์ ขยายพันธุ์โดยสปอร์และการแตกไหล เหนเป็ดใหญ่ มีโครงสร้างที่ต่างจากพืชลอยน้ำอื่น มีแผ่นใบเรียก หัลลัส (thallus) มีดอกขนาดเล็กมากและมักไม่ค่อยออกดอก ดังนั้นจึงขยายพันธุ์โดยการแตกหัลลัสใหม่ ส่วนผักตบชวา จอก และแพงพวยน้ำ ขยายพันธุ์ด้วยเมล็ด และการแตกไหล เมื่อศึกษาการเจริญเติบโตของพืชลอยน้ำในสภาพน้ำเสียที่ยกบัน้ำปกติ พบว่า ที่ระยะเวลาเก็บกักนาน 7 - 30 วัน ผักตบชวามีการเจริญเติบโตทางใบได้ดีที่สุด และที่ระยะเวลาเก็บกักนาน 30 - 60 วัน มีจำนวนต้นที่แตกกอสูงสุด ส่วนจอกมีอัตราการเพิ่มของน้ำหนักสดและน้ำหนักแห้งสูงสุด เมื่อเปรียบเทียบประสิทธิภาพในการบำบัดน้ำเสีย โดยศึกษาปริมาณออกซิเจนที่ละลายในน้ำ (DO) ปริมาณตะกอนที่ละลายในน้ำทั้งหมด (TDS) ปริมาณแอมโมเนียม ( $\text{NH}_4^+$ ) ปริมาณในตระเจนทั้งหมด (TKN) และปริมาณฟอสฟอรัสทั้งหมด (TP) พบว่า จอกหูหนูมีประสิทธิภาพในการบำบัดร้อยละของค่า DO สูงสุด คือร้อยละ 99.63 ที่ระยะเวลาเก็บกักนาน 15 วัน หลังจากระยะนี้ไปแล้วพืชทุกชนิดมีประสิทธิภาพในการบำบัดน้อยมาก แพงพวยน้ำมี

ประสิทธิภาพในการบำบัดร้อยละของค่า TDS สูงสุด คือร้อยละ 26.82 ที่ระยะเวลาเก็บกักนาน 60 วัน ผักตบชามีประสิทธิภาพในการบำบัดร้อยละของค่า  $\text{NH}_4^+$  สูงสุด คือร้อยละ 84.93 ที่ระยะเวลาเก็บกักนาน 15 วัน หลังจากระยะนี้ไปแล้วพืชทุกชนิดไม่ได้ช่วยในการบำบัด จาก และจากหูหนู มีประสิทธิภาพในการบำบัดร้อยละของค่า TKN สูงสุดคือร้อยละ 73.49 และ 73.18 ตามลำดับ ส่วนแพลงพะยาน้ำมีประสิทธิภาพในการบำบัดค่า TP สูงสุดคือร้อยละ 98.95 ที่ระยะเวลาเก็บกักนาน 60 วัน

จากรายงานผลการศึกษาการบำบัดน้ำเสียในชุมชนด้วยพืชน้ำในท้องถิน ของ ภูมิพงษ์ นวลศิริ (หนังสือพิมพ์ผู้จัดการ, 2551) โดยศึกษาประสิทธิภาพการบำบัดน้ำเสียโดยใช้พืชน้ำที่มีอยู่ใน ท้องถิน 5 ชนิด ได้แก่ บอน คล้าน้ำ กราชินี เฮลิโโคเนีย และว่านน้ำ ทดลองปลูกพืชแต่ละชนิดดังกล่าวลงดิน ในบ่อคอนกรีต ขนาดเส้นผ่านศูนย์กลาง 80 เซนติเมตร และอนุบาลพืชเป็นเวลา 2 สัปดาห์ โดยค่อย ๆ เพิ่มน้ำเสียเข้าในบ่อ เพื่อให้พืชสามารถปรับตัวได้ในน้ำเสีย สำหรับการบำบัด ต้องใส่น้ำเสียลงไปให้มีความสูงประมาณ 30 เซนติเมตร พักน้ำไว้ 7, 14 และ 21 วัน จากนั้นวิเคราะห์ค่าปีโอดี ค่าซีโอดี ปริมาณไนโตรเจน ฟอสฟอรัส ของแข็งแขวนลอย และไขมัน ที่เหลืออยู่ในน้ำเสียหลังกระบวนการกำจัดจะลดลง พบร่ว澎 7 วัน พืชแต่ละชนิดสามารถบำบัดน้ำเสียให้มีคุณภาพดีขึ้น และสามารถปล่อยลงสู่ แหล่งน้ำธรรมชาติได้โดยไม่เป็นผลเสีย ต่อสิ่งแวดล้อม เนื่องจากพืชและสาหร่ายเซลล์เดียวในน้ำเสียเกิดกระบวนการสังเคราะห์แสง และช่วยเพิ่มออกซิเจนให้กับน้ำเสีย จุลินทรีย์ในน้ำเสียจึงย่อยสลายสารอินทรีย์ในน้ำเสียได้มากขึ้น และช่วยลดค่าปีโอดีในน้ำเสียลงได้ และจากการวิจัย พบร่ว澎แต่ละชนิดมีประสิทธิภาพในการบำบัดน้ำเสียของชุมชนประมาณได้ประมาณร้อยละ 80 ทั้งนี้ขึ้นกับประเภทของน้ำเสียด้วย โดยค่าน้ำมีประสิทธิภาพในการบำบัดในไตรเจนสูงที่สุด ส่วน กราชินีสามารถบำบัดฟอสฟอรัสได้ดีที่สุด และว่าน้ำสามารถบำบัดไขมันและของแข็งแขวนลอย ในน้ำเสียได้ดีที่สุด อย่างไรก็ตาม นกวิจัยแนะนำว่า ควรตัดใบที่อยู่เหนือน้ำทึ่งทุก ๆ 45 วัน เพื่อให้พืชแตกกอมากขึ้น และไม่ให้มีใบแก่ หลุดร่วงลงไปเพิ่มปริมาณของเสียในบ่อบำบัด

### 2.3 การทำงานของระบบบีบีงประดิษฐ์

บีบีงประดิษฐ์สามารถลดค่าปีโอดี ของแข็งแขวนลอยและไนโตรเจน ได้ดีเท่ากับสามารถลดปริมาณโลหะ สารอินทรีย์ขนาดเล็กและเชื้อโรคต่างๆ ได้ กลไกพื้นฐานที่ใช้ในการบำบัดน้ำเสีย ได้แก่การตกรอกอน การใช้สารเคมีช่วยในการตกรอกอนและการดูดซับ การทำปฏิกิริยา กันระหว่างจุลินทรีย์กับปีโอดี ของแข็งแขวนลอยและไนโตรเจน และการดูดซึมสารต่างๆ เข้าไปในพืช (U.S. EPA, 1988)

#### (1) กำจัดสารอินทรีย์ (organic matter removal) พาก BOD และ COD

การกำจัดสารอินทรีย์ที่สามารถตกรอกอนได้่ายากเกิดขึ้นได้อย่างรวดเร็วในบีบีงประดิษฐ์ทุกแบบ และจะขึ้นกับความนิ่งของน้ำในกรณีที่เป็นบีบีงประดิษฐ์แบบ FWS ส่วนในบีบีงประดิษฐ์แบบ SF นั้นจะขึ้นกับปริมาณตกรอกอนที่สะสมในชั้นกรองและอัตราการซึมของน้ำผ่านชั้นกรอง

หลักในการกำจัดปีโอดีประเภทที่ละลายน้ำได้ในบีบีงประดิษฐ์ แบบ FWS ขึ้นกับอัตราการเจริญเติบโตของจุลินทรีย์ในระบบ และแหล่งออกซิเจนที่จะใช้ในปฏิกิริยาการกำจัดของเสียโดยจุลินทรีย์ มาจากการแพร่

ของออกซิเจนจากบรรยากาศลงสู่ผิวน้ำ ซึ่งจะเกิดในกรณีที่ไม่มีสาหร่ายในระบบ ปริมาณออกซิเจนส่วนเกินจะถูกกำลังผ่านไปยังรากของพืช และถูกนำไปใช้ในชั้นดินโดยจะไม่มีผลกระทบกับปริมาณออกซิเจนที่ละลายอยู่ในน้ำ และในบึงประดิษฐ์ที่พืชขึ้นอย่างหนาแน่นจะสามารถลดการปั่นป่วนของน้ำที่เกิดจากการแสลงได้ด้วย โดยในตารางที่ 2.2.2 แสดงการกำจัดบีโอดี และของแข็งแχวนลอยในบึงประดิษฐ์ ในประเทศแคนาดา สหรัฐอเมริกา และออสเตรเลีย

### ตารางที่ 2.2.2 ผลของการกำจัดบีโอดี ของแข็งแχวนลอยในบึงประดิษฐ์

พื้นที่โครงการ	ปริมาณน้ำ (ลบ.ม./วัน)	ชนิดของ บึง	บีโอดี(มก./ลบ.)		ເອສເວສ(มก./ลบ.)		%การกำจัด		ภาระของเสียต่อ <sup>a</sup> พื้นที่ผิว(ลบ.ม./ເຮັດ ແຕ່ງ/วັນ)
			Inf.	Eff.	Inf.	Eff.	BOD	SS	
Listowel,Ontario	17	FWS <sup>a</sup>	56	10	111	8	82	93	-
Santee,CA	-	SF <sup>b</sup>	118	30	57	5.5	75	90	-
Sydney,Australia	240	SF	33	4.6	57	4.5	86	92	-
Arcata,CA	11,350	FWS	36	13	43	31	64	28	907
Emmitsburg,MD	132	SF	62	18	30	8.3	71	73	1,543
Gustine,CA	3,785	FWS	150	24	140	19	84	86	412

หมายเหตุ <sup>a</sup> Free water surface system

<sup>b</sup> subsurface water flow system

ที่มา: (U.S. EPA, 1988)

#### (2) กำจัดของแข็ง (solid removal)

โดยการตกตะกอนและกรองผ่านชั้นดิน (sedimentation and filtration) การกำจัดของแข็งแχวนลอยในบึงประดิษฐ์ส่วนใหญ่เกิดขึ้นอย่างได้ผลในบึงประดิษฐ์ ดังแสดงในตารางที่ 2.2.2 การกำจัดของแข็งแχวนลอยในบึงประดิษฐ์ส่วนใหญ่เกิดขึ้นในช่วง 2-3 เมตรแรก หลังจากที่น้ำเสียไหลผ่านช่องทางน้ำเข้ามา ซึ่งจะขึ้นกับความนิ่งและความลึกของระดับน้ำด้วย การควบคุมการกระจายน้ำเสียเข้าสู่ระบบด้วยการติดตั้งห้องระบายน้ำจะสามารถควบคุมความเร็วในการไหลของน้ำให้ลดลงได้ ซึ่งช่วยในการกำจัดของแข็งแχวนลอย และช่วยลดภาระของเสียที่เข้ามาในระบบได้ นอกจากนี้ยังเป็นการป้องกันไม่ให้เกิดสภาพแอนออกซิก (anoxic) ขึ้นที่ส่วนต้นของช่องทางไหลของน้ำอีกด้วย

#### (3) กำจัดไนโตรเจน (nitrogen removal)

โดยทั่วไปแล้วในไนโตรเจนจะถูกกำจัดโดยปฏิกิริยาไนทริฟิเคชัน และดีไนทริฟิเคชันเป็นส่วนใหญ่ส่วนกลไกในการกำจัดไนโตรเจนอื่นๆ ได้แก่การดูดซึมในไนโตรเจนเข้าไปในพืช (plant uptake) และการระเหยของไนโตรเจนในรูป ammonium ( $NH_3$  volatilization) จากกระบวนการ ammonification nitrification และ denitrification พบร่วมกับประสิทธิภาพการกำจัดไนโตรเจนในบึงประดิษฐ์มีค่าอยู่ในช่วงร้อยละ 25-85 (U.S. EPA, 1988)

(4) กำจัดฟอฟอรัส (phosphorus removal)

การกำจัดฟอฟอรัสในบึงประดิษฐ์จะเกิดขึ้นได้ไม่นานนัก เพราะข้อจำกัดเรื่องระยะเวลาที่น้ำเสียสัมผัสถัน ดังนั้นก็ໄกในการกำจัดฟอฟอรัสหลักๆ คืออัตราการดูดซึมฟอฟอรัสเข้าไปในพืช และระยะเวลาที่น้ำเสียสัมผัสถัน (U.S. EPA, 1988)

ในกรณีที่มีความจำเป็นที่จะต้องกำจัดฟอฟอรัส การใช้ส่วนผสมระหว่างดินเหนียว เหล็ก และอลูมิเนียมจะได้รับความนิยมค่อนข้างมาก อย่างไรก็ตามดินที่มีประสิทธิภาพในการกำจัดฟอฟอรัสได้ดีต้องเป็นดินที่มีเนื้อละเอียดโดยอาจมีการเติมทรายเข้าไปเพื่อช่วยปรับค่าการนำไปไฟฟ้า ดังนั้นการเติมเหล็กหรืออลูมิเนียม เข้าไปในชั้นกรอง หรือในน้ำเสียที่จะเข้าสู่ระบบ จะช่วยทำให้ประสิทธิภาพในการกำจัดฟอฟอรัสของระบบดีขึ้น (Hammer, 1989)

(5) กำจัดแบคทีเรียและไวรัส (bacteria and viruses removal)

เชื้อโรคส่วนใหญ่ที่พบอยู่ในบึงประดิษฐ์ ได้แก่ หนอนพยาธิ แบคทีเรีย และไวรัส เชื้อโรคจำพวกแบคทีเรียและไวรัสจะถูกกำจัดได้ด้วยกลไกต่างๆ ได้แก่ การกินกันและกัน การตกตะกอน การดูดซึม และการตายที่เกิดจากสภาวะแวดล้อมที่ไม่เหมาะสม เช่นการมีแสงอัลตราไวโอเลตจากดวงอาทิตย์ อุณหภูมิที่ไม่เหมาะสมต่อการขยายพันธุ์ของเชลล์เป็นต้น (U.S. EPA, 1988)

ระบบบึงประดิษฐ์ถูกนำมาใช้ในการบำบัดน้ำเสียจากแหล่งต่างๆ กันอย่างแพร่หลาย เช่นน้ำเสียจากชุมชนและโรงงานอุตสาหกรรม ซึ่งการบำบัดน้ำเสียด้วยพื้นที่ชั่มน้ำอาศัยการปลดปล่อยออกซิเจนของพืชที่ได้จากการสังเคราะห์แสง กระบวนการย่อยสารอินทรีย์ต่างๆ จากจุลินทรีย์ในดิน การดูดซึมสารอาหารของพืช เพื่อใช้ในการเจริญเติบโต และการกรองสิ่งปนเปื้อนของดินร่วมกัน ซึ่งสามารถบำบัดความสกปรกของน้ำเสียโดยลดปริมาณบีโอดี (BOD) ของแข็งแขวนลอย (TSS) ในไตรเจน (N) ฟอฟอรัส (P) โลหะหนักและเชื้อโรคบางชนิดได้ (Kadlec, R.H. & Knight R.L., 1996) โดยเป็นกระบวนการที่เกิดขึ้nrร่วมกันระหว่างปฏิกิริยาทางชีววิทยา ปฏิกิริยาทางพิสิกส์เคมี (Ayaz, Aktaş, Fındık, Akça, & Kinaci, 2012) ซึ่งการกำจัดสารต่างๆ ในพื้นที่ชั่มน้ำมีกลไกการบำบัด ดังแสดงในตารางที่ 2.2.3

### ตารางที่ 2.2.3 กลไกการกำจัดมลสารต่าง ๆ ในพื้นที่ชั่มน้ำ

กลไกการกำจัดมลสาร	ของแข็งที่ตกลงกอน (settleable solids)	ของแข็งแขวนลอย (colloidal solids)	บีโอดี (BOD)	ในไตรเจน (N)	ฟอสฟอรัส (P)	โลหะหนัก	แบคทีเรียและไวรัส
<b>กายภาพ</b>							
- การตกลงกอน	P	S					
- การกรอง	S	S					
- การดูดซับทางกายภาพ		S					
<b>เคมี</b>							
- การตกลงกอน					P	P	
- การดูดซับทางเคมี					P	P	
<b>ชีวภาพ</b>							
- กลไกของแบคทีเรีย		P	P	P			
- กลไกของพีช						S	
- การดูดซับโดยพีช				S	S	S	
- การตายโดยธรรมชาติ							P

หมายเหตุ: P หมายถึงกลไกหลัก S หมายถึงกลไกรอง | หมายถึง ผลที่เกิดเสริมจากการกำจัดมลสารอื่น ๆ

## 2.4 การส่งผ่านออกซิเจนในระบบบึงประดิษฐ์

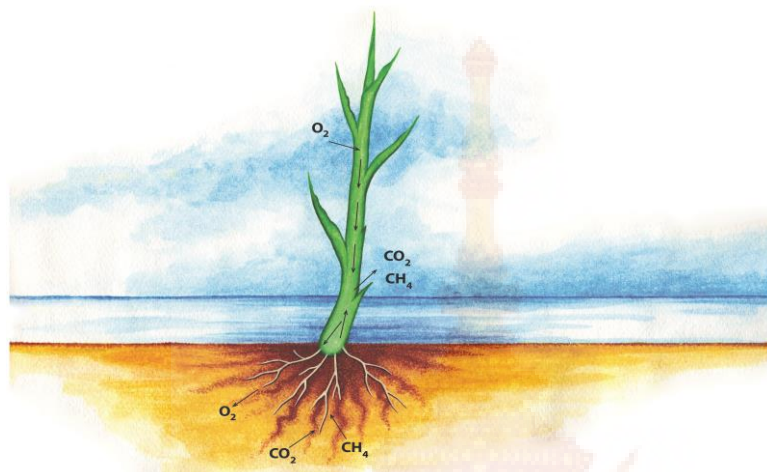
ออกซิเจนเข้าสู่บึงประดิษฐ์ได้โดยกลไกหลัก 2 ทางคือ การพา (convection) และการแพร่ (diffusion)

การพา คือการที่ออกซิเจนในอากาศถูกเหนี่ยวนำให้เข้ามาในระบบโดยการไหลของน้ำ ดังนั้นปริมาณออกซิเจนที่เข้ามาในระบบได้ จึงขึ้นกับพฤติกรรมทางชลศาสตร์ของระบบ เนื่องจากกระบวนการแพร่ของออกซิเจนในน้ำ ซึ่งก่อให้การแพร่ของออกซิเจนในอากาศ ดังนั้นปริมาณออกซิเจนที่จะนำໄไปใช้ได้ในระบบขึ้นกับอัตราส่วนของน้ำกับอากาศในช่องว่างระหว่างตัวกลางของระบบ ซึ่งการควบคุมไม่ได้เกิดการอุดตันจะช่วยให้การแพร่ของออกซิเจนเกิดได้ดีขึ้น ออกซิเจนในบรรยากาศ ซึ่งมีความเข้มข้นสูงกว่าในพีช และในชั้นตัวกลาง จะแพร่เข้าสู่พีชทางปากใบ ลำเลียงผ่านตัน และปล่อยออกทางราก บริเวณที่อยู่ใกล้รากพีชจะมีความเข้มข้นของออกซิเจนสูงกว่าบริเวณที่อยู่ห่างออกก้าวไป ออกซิเจนปริมาณนี้บางครั้งพบว่าเพียงพอเฉพาะสำหรับการสันดาปของรากเท่านั้น แต่บางกรณีพบว่ามีเหลือพอดำรงรากอยู่รอบๆ ด้วย

การแพร่ เป็นกระบวนการที่มีการส่งผ่านจากส่วนหนึ่งของระบบไปยังอีks ส่วนหนึ่ง อันเป็นผลให้มีการเคลื่อนย้ายโมเลกุลแบบสุ่ม โดยการเคลื่อนย้ายสุ่มจะเกิดจากตำแหน่งที่มีความเข้มข้นสูง (หรือมี partial pressure) สูง ไปยังตำแหน่งที่มีความเข้มข้นต่ำกว่า ดังแสดงในรูปที่ 2.2.2 อัตราการแพร่ของแก๊ส ขึ้นกับ

ตัวกลางที่แก๊สแพร่ผ่าน เช่นน้ำหนักโน้มเลกุลของแก๊ส และอุณหภูมิ ซึ่งปัจจัยเหล่านี้เป็นค่าสัมประสิทธิ์ของการแพร่ (diffusion coefficient)

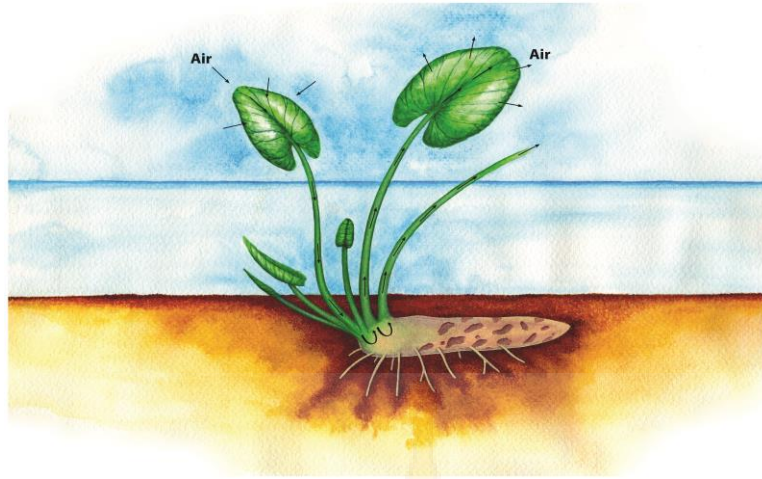
กลไกการส่งผ่านแก๊สภายในพืช เชื่อว่าเป็น passive diffusion ตามความแตกต่างของแก๊สนั้นๆ เช่น ความแตกต่างของอุณหภูมิ และการ์บอนไดออกไซด์ โดยอุณหภูมิจะมีความเข้มข้นมากในส่วนที่อยู่เหนือดิน และการ์บอนไดออกไซด์จะมีความเข้มข้นมากในส่วนใต้ดิน และส่งผ่านไปในทิศทางตรงข้าม



รูปที่ 2.2.2 การแพร่ของแก๊สจากตำแหน่งที่มีความเข้มข้นสูงไปยังที่มีความเข้มข้นต่ำ

นอกจากนี้ยังมีการพบกลไกการพาของแก๊ส (convection) ในพืชประเภทโลยน้ำ เช่น บัวบางชนิด ซึ่งเกิดจากความแตกต่างของอุณหภูมิ และความตันในน้ำของภายในใบ และบรรยายศาสตร์ฯ อาศัยฤทธิ์นำเข้าสู่ลำต้นใต้ดิน และใบที่แก่ จำนวนจะวนกลับคืนสู่บรรยายศาสธ์อีกครั้งด้วยแรงขับ (driving force) ซึ่งเรียกว่า Thermal Transpiration และ Humidity-induced Pressurization ทั้งสองกระบวนการต้องมีช่องว่างที่พูนภายในเนื้อเยื่อพืช ซึ่งถ้าจะให้ดีที่สุด ต้องมีขนาดช่องว่างเล็กกว่าขนาดเฉลี่ยของทางแพร์เมเลกุลของแก๊ส ( $<0.1$  เมตร) และมีการใช้พลังงานในรูปของความร้อน การเกิด Humidity-induced Pressurization ต้องการ การให้น้ำที่คงที่ภายในพืชอีกด้วย

Thermal transpiration เป็นการเคลื่อนที่ของแก๊สผ่านส่วนที่พูนในพืช เมื่อมีความแตกต่างของอุณหภูมิในแต่ละส่วน ซึ่งจะทำให้มีความแตกต่างของความตันเกิดขึ้นโดยในด้านที่ชื้นกว่าจะมีความตันสูงกว่าในกรณีของต้นบัว ใบที่อ่อนที่สุดจะมีความตันสูงที่สุด ความตันที่เพิ่มขึ้นในใบอ่อนจะส่งผ่านอากาศจากใบ ก้านใบ และลำต้นใต้ดิน และกลับสู่บรรยายศาสพ่านทางก้านใบ และแผ่นใบจะใหญ่กว่า ดังแสดงในรูปที่ 2.2.3



รูปที่ 2.2.3 การพาของแก๊สในพืชประภากลอยน้ำ

การแลกเปลี่ยนแก๊สระหว่างช่องว่างของเนื้อเยื่อพืช ส่วนที่อยู่ใต้ดินกับน้ำที่อยู่รอบๆ ก็ทำให้เกิดการพาของอากาศ โดยอาศัยความแตกต่างของการละลายของออกซิเจน และคาร์บอนไดออกไซด์ในน้ำ โดยคาร์บอนไดออกไซด์ละลายน้ำได้ถูกว่าออกซิเจนถึง 10 เท่า

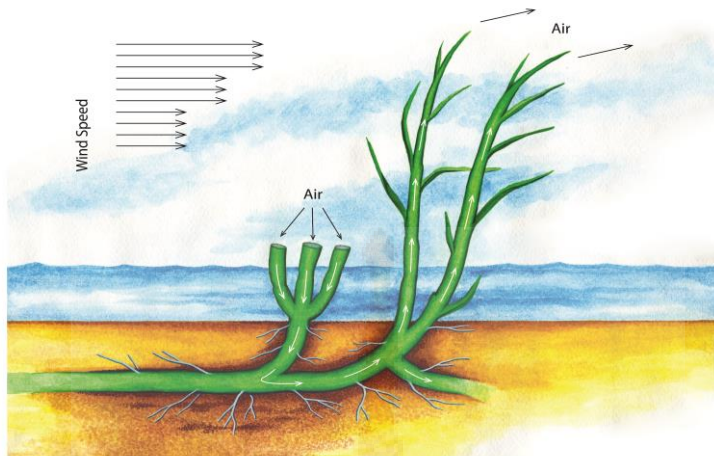
รากอากาศ (air-roots) มี Lenticels จำนวนมาก (ส่วนที่เปิดสู่บรรยากาศ) และต่อเชื่อมกับระบบ布拉格 ในแนวราบที่อยู่ใต้ดิน รากอากาศจะส่งผ่านออกซิเจนไปยังระบบ布拉格 เมื่อระดับน้ำสูงขึ้นปิด Lenticels ความดันในช่องว่างอากาศของรากก็เริ่มลดลง ซึ่งการลดลงนี้เกิดจากการใช้ออกซิเจนโดยระบบ布拉格 และมีคาร์บอนไดออกไซด์เกิดขึ้นจากการหายใจ ความดันในระบบ布拉กจะต่ำลงจนกว่าระดับน้ำลดลง อากาศภายนอกจะเข้าสู่ระบบ布拉กได้อีกดังแสดงในรูปที่ 2.2.4



รูปที่ 2.2.4 การส่งผ่านออกซิเจนของระบบ布拉กโดยอาศัยความแตกต่างของความดัน

อีกชนิดของการพาคือ Venturi-induced convection เกิดจากความแตกต่างของความเร็วกระแสลมรอบๆต้นพืช โดยความเร็วลมจะสูงสุดที่เรือนยอด ดังแสดงในรูปที่ 2.2.5 Venturi-induced convection เกิดขึ้นโดยความแตกต่างของความดันที่เกิดจากลมพัดยอดที่ตาย ซึ่งอากาศจะถูกดูดลงสู่ราก ผ่านยอดที่หัก

ไกล์พื้นดิน Venturi-induced convection อาจเกิดในต้นพืชที่หัก หรือตาย หรืออาจเกิดในช่วงกลางคืน และดูหน้าที่ความตกต่างของไอน้ำ หรืออุณหภูมิมีน้อยมาก หรือไม่มีเลย



รูปที่ 2.2.5 การส่งผ่านออกซิเจนที่อาศัยความเร็วลมรอบๆ ต้นพืช

## 2.5 ชนิดพืชที่ใช้ปลูก

### 2.5.1 หญ้าแฟก

หญ้าแฟก (Vetiver grass)

ชื่อสามัญ : *Vetiveria spp.*

ชื่อวิทยาศาสตร์ : *Vetiveria zizanioides* (L.) Nash ex Small

ชื่อวงศ์ : POACEAE

ชื่ออื่นๆ : แฟก แฟกหอม แฟกล่ำ แกงหอม แคมหอม Vetiver



รูปที่ 2.2.6 หญ้าแฟก

เป็นพืชตระกูลหญ้าที่ขึ้นเป็นกอหนาแน่นอยู่ตามธรรมชาติทั่วทุกภาคของประเทศไทยที่ลุ่มน้ำที่ดอน สามารถขึ้นได้ในดินเกือบทุกชนิด เจริญเติบโตโดยการแตกกอ เส้นผ่าศูนย์กลางกอประมาณ 30 เซนติเมตร ความสูงจากยอดประมาณ 0.5-1.5 เมตร ใบแคบยาวประมาณ 75 เซนติเมตร กว้างประมาณ 8 มิลลิเมตร ค่อนข้างแข็ง เจริญเติบโตในแนวเดิงมากกว่าออกทางด้านข้าง และมีจำนวนรากมากจึงเป็นพืชที่ทนแล้งได้ดี รากจะประสานติดต่อกันหนาแน่นเสมือนม่านหรือกำแพงได้ดี สามารถกักเก็บน้ำและความชื้นได้ระบบราชจะแผ่ขยายกว้างเพียง 50 เซนติเมตร โดยรอบกอเท่านั้น ไม่เป็นอุปสรรคต่อพืชที่ปลูกข้างเคียง จึงสามารถนำมารากเพื่อใช้ในการอนุรักษ์ดินและน้ำ ช่วยให้ดินมีความชุ่มชื้นและรักษาหน้าดิน รักษาสภาพแวดล้อมและอนุรักษ์ทรัพยากรธรรมชาติ สามารถนำไปปลูกบนพื้นที่สองข้างทางชลประทาน อ่างเก็บน้ำ บ่อน้ำ ป่าไม้ขอบตลิ่ง คอสะพาน ให้ถ่น เพื่อป้องกันการชะล้างพังทลายได้

หญ้าแฟก พบระยะอายุทั่วไปหลายพื้นที่ตามธรรมชาติ จากการสำรวจพบว่า มีระยะเวลาอยู่ทั่วโลกประมาณ 12 ชนิด และสำราญพปในประเทศไทย 2 ชนิด ได้แก่

(1) กลุ่มพันธุ์หญ้าแฟกลุ่ม (*Vetiveria zizanioides* Linn.) ได้แก่ พันธุ์สุราษฎร์ธานี กำแพงเพชร 2 ศรีลังกา สงขลา 3 และพระราชนครินทร์ ฯลฯ

(2) กลุ่มพันธุ์หญ้าแฟกดอน (*Vetiveria nemoralis* Balansa A. Camus) ได้แก่ พันธุ์ราชบุรี ประจำบุรีรัมย์ ร้อยเอ็ด กำแพงเพชร 1 นครสวรรค์ และเลย เป็นต้น

#### ลักษณะพิเศษของหญ้าแฟก

หญ้าแฟก มีลักษณะพิเศษหลายประการ ที่ทำให้มันมีบทบาทในการควบคุมคุณภาพน้ำ (Paul Truong & Barbara Hart, n.d.) ได้แบ่งลักษณะพิเศษเหล่านี้ ออกเป็นลักษณะทางสัณฐานวิทยา (morphological features) และลักษณะทางสรีรวิทยา (physiological features) ดังนี้

#### ทางสัณฐานวิทยา:

- ลำต้นแข็งตรง สามารถต้านทานกระแทกได้
- กอแน่น หนา เป็นที่กรองกั้นอนุภาค ห้องละเอียดและหยาบ
- ระบบ rakel แผ่กระจาย และเจาะไช ช่วยยึดลำต้น และจับยึดอนุภาคของดินไม่ให้หลุดพاشร์ หรือพังทลาย

#### ทางสรีรวิทยา:

- ทนทานมากต่อสภาพภูมิอากาศ เช่น อากาศเย็น อากาศร้อน แห้งแล้ง น้ำท่วม พื้นที่สูงๆ ต่ำๆ
- ทนทานอย่างมากต่อสภาพดินวิป拉斯 เช่น ดินเปรี้ยว ดินด่าง ดินเค็ม ดินที่มีแร่โซเดียม แมกนีเซียม อลูมิเนียม แมงกานีส สูงจนเกิดความเป็นพิษ

- ทันทานต่อระดับความเข้มข้นสูง ๆ ของโลหะหนัก เช่น สารนู แอดเมี่ยน ทองแดง โครเมียม ตะกั่ว proto นิกิล ชีลีเนียม และสังกะสี

### ประโยชน์ของหญ้าแฟก

หญ้าแฟกเป็นหญ้าที่มีคุณประโยชน์มากมาย การนำหญ้าแฟกไปใช้อนุรักษ์ดินและน้ำ ได้ผลอย่างดี มากนอกจากนี้หญ้าแฟกยังมีประโยชน์ในด้านอื่น ๆ อีกมาก มีรายงานวิจัยพบว่าหญ้าแฟกมีความสามารถในการดูดซับสารต่าง ๆ ได้ดี จากคุณสมบัติดังกล่าวจึงได้นำหญ้าแฟกมาใช้ในการ รักษาและฟื้นฟูสิ่งแวดล้อม ได้แก่

- ปลูกหญ้าแฟกเพื่อกำจัดสารพิษจากขยะ เป็นการปลูกสกัดไม่ให้สารพิษในส่วนที่เป็นน้ำไหลออกมานอกกองขยะ วิธีการทำได้โดยการปลูกหญ้าแฟกเป็นแถวเช่นเดียวกับการปลูกหญ้าแฟกล้อมต้นไม้ แต่เป็นการปลูกล้อมกองขยะ โดยในแถวยังสามารถตัดหญ้าแฟกต้นต้องปลูกชิดติดกันเหมือนแนวรั้วหรือกำแพงธรรมชาติ จำนวน 3-5 วงศ์ ห่างกันว่างละ 2 เมตร หรือปลูกหญ้าแฟกเป็นเส้นขาว ทางน้ำจากกองขยะที่จะไหลไปปนเปื้อนบริเวณที่ต่างกว่า จำนวน 3-5 แถว ห่างกันและว่างละ 2 เมตร

- การปลูกหญ้าแฟกเพื่อลดระดับน้ำใต้ดิน เพื่อป้องกันดินเค็มหรือลดความเป็นกรดเป็นด่าง การ ปลูกหญ้าแฟกเพื่อแก้ปัญหานี้จะปลูกเต็มพื้นดินที่จะดำเนินการ ลักษณะปลูกแบบดำเนินข้าวใช้ระยะ ปลูกระหว่างต้น และระหว่างแถว 50x50 เซนติเมตร จะช่วยลดระดับน้ำใต้ดินที่เค็ม หรือลดระดับน้ำใต้ดินที่จะไปละลายธาตุที่ทำให้ดินเป็นกรดเพิ่มขึ้น

- การปลูกหญ้าแฟกเพื่อบำบัดน้ำเสีย ปัจจุบันปัญหาน้ำเสียทำให้สภาพแม่น้ำ คุคคลองต่างๆ ไม่สามารถใช้ประโยชน์ได้ การปลูกหญ้าแฟกเพื่อบำบัดน้ำเสียทำได้ 2 รูปแบบ คือ แบบพื้นที่ชุมชน ได้แก่ ที่มีคนคุ้มครอง วิธีการปลูกจะปลูกเต็มพื้นที่ที่จะดำเนินการใช้ระยะระหว่างต้นและระหว่างแถว 50x50 เซนติเมตร เมื่อหญ้าแฟกเจริญเติบโตเมื่ออายุ 3-4 เดือน จึงปล่อยน้ำเสียลงไปอย่างให้ล้นคันคู โดยมีน้ำท่วมขังสูง 10-15 เซนติเมตร เป็นเวลา 5-7 วัน จึงระบายน้ำออก และไขน้ำเสียเข้ามา บำบัดใหม่ หมุนวนไปตลอด และต้องตัดใบหญ้าแฟกทุก 1-2 เดือน นำไปทิ้งไปทำปุ๋ยหมัก สายพันธุ์หญ้าแฟกที่เหมาะสม เป็นกลุ่มของสายพันธุ์หญ้าแฟกกลุ่ม สายพันธุ์ที่เจริญเติบโตในน้ำเสียได้ดี เช่น สายพันธุ์ใหม่หัวหยาด พิจิ และอินโดนีเซีย น้ำเสียที่บำบัดได้ดี ได้แก่ น้ำเสียจากชุมชน และน้ำเสียจากการเลี้ยงปศุสัตว์ และอีกแบบโดยการปลูกบนแพและปล่อยให้รากของหญ้าแฟกเจริญเติบโตในน้ำ



รูปที่ 2.2.7 การปลูกหญ้าแฝกเป็นแพลอยน้ำ

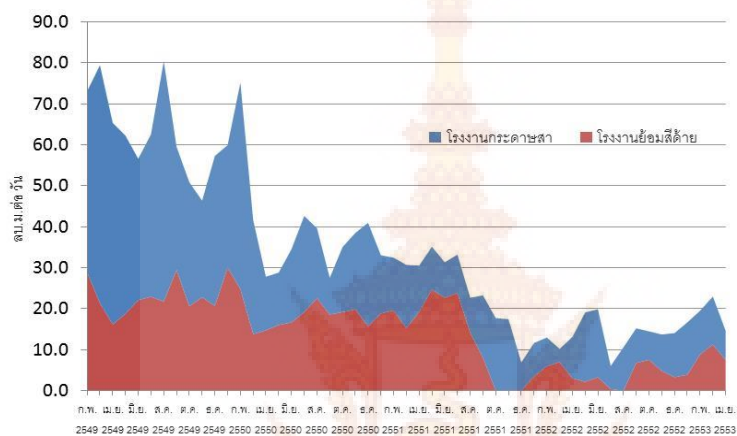
ที่มา: (Paul Truong & Barbara Hart, n.d.)

ในส่วนของหญ้าแฝก ปัจจุบันพบว่าหญ้าแฝก มีลักษณะพิเศษหลายประการ เติบโตได้ทั้งในสภาพแห้ง แล้ง และสภาพน้ำท่วมขัง (Boonsong & Monchai, 2007; Dalton, Smith, & Truong, 1996; Xindi Liao, Shiming Luo, Yinbao Wu, & Zhisan Wang, 2003) แฝกเป็นพืชที่ทนทานต่อความเป็นพิษของโลหะหนัก สามารถกำจัดโลหะหนัก เช่น As, Zn และ Cu (Chiu,K.K., 2005) โดย Thares and Sengsai (2003) ใช้หญ้าแฝกปลูกในพื้นที่ชุมน้ำเพื่อบำบัดน้ำเสียจากโรงงานฟอกหนัง พบร่วมมีประสิทธิภาพในการกำจัดโคโรเมียมร้อยละ 86.30- 89.29 (Chiu, Ye, & Wong, 2005) ศึกษาการดูดซับโลหะหนักโดยใช้หญ้าแฝก พบร่วมในต้นหญ้าแฝกมีปริมาณการสะสมสังกะสี (Zn) ตะกั่ว (Pb) และแคนเดเมียม (Cd) ในปริมาณสูงคือร้อยละ 42-67

นอกจากนี้พบว่าหญ้าแฝกสามารถกำจัดสารประกอบพอลีไซคลิก อารomatic (polycyclic aromatic hydrocarbon, PAH) (Kong, Lin, Wang, & Luo, 2003) กำจัดน้ำเสียที่ปนเปื้อนน้ำมันจากโรงงานกลั่นน้ำมัน (Xindi Liao, Shiming Luo, Yinbao Wu, & Zhisan Wang, 2003) และการปลูกหญ้าแฝกในลักษณะทุนไม้ไผ่ลอยน้ำเพื่อใช้ในการบำบัดน้ำเสียจากฟาร์มสุกรในประเทศไทย ซึ่งเป็นน้ำเสียที่มีความเข้มข้นของไนโตรเจน พอสฟอรัส และโลหะหนักสูง พบร่วมหญ้าแฝกสามารถเริญเติบโตได้ดี ลดปริมาณไนโตรเจนและฟอสฟอรัสได้สูงถึงร้อยละ 60 และ 85 ตามลำดับ (Kong et al., 2003; Xindi Liao et al., 2003) หญ้าแฝกจึงเป็นพืชชนิดหนึ่งที่มีความเหมาะสมในการนำมาใช้ในการบำบัดน้ำเสีย โดยหญ้าแฝกสามารถดูดซับธาตุอาหารที่อยู่ในน้ำทิ้งไปใช้ในการเริญเติบโต ทำให้คุณภาพน้ำดีขึ้น ดังนั้นการนำหญ้าแฝกมาใช้ในการบำบัดน้ำทิ้งจากอุตสาหกรรมฟอกย้อม เป็นอีกทางเลือกหนึ่งที่น่าจะสามารถแก้ไขปัญหาคุณภาพน้ำทิ้งจากอุตสาหกรรมฟอกย้อมก่อนปล่อยสู่ภายนอก

## 2.6 ปริมาณน้ำเสียจากพื้นที่โครงการพัฒนาดอยตุง

เนื่องจากโรงงานกระดาษสา และย้อมสีเส้นด้วย ไม่มีมาตรการดักน้ำเสีย ดังนั้นจึงไม่สามารถวัด ปริมาณน้ำเสียจากโรงงานดังกล่าวได้โดยตรง โดยตามปกติปริมาณน้ำเสียจากชุมชนจะเป็นร้อยละ 80-90 ของปริมาณน้ำใช้ จากการรับ ระเหย และ รดน้ำตันน้ำตันไม้ แต่การประมาณน้ำเสียจากโรงงานอุตสาหกรรม จะต้องคำนึงถึงลักษณะของกระบวนการผลิตด้วย เช่น มีการต้มน้ำ หรือมีน้ำที่ไปพร้อมกับผลิตภัณฑ์หรือไม่ จากการประเมินกระบวนการผลิต ปริมาณน้ำเสียจากโรงงานทำกระดาษสา ย้อมสี และเชรามิค จะถูกกำหนดเป็นร้อยละ 80 ของปริมาณน้ำใช้เนื่องจากน้ำที่เสียไปในกระบวนการต้ม กระบวนการตากหรืออบแห้ง ปริมาณน้ำใช้ของโรงงานแสดงในรูปที่ 2.2.7



รูปที่ 2.2.8 ปริมาณการใช้น้ำสะสมของโรงงานกระดาษสา และย้อมสีเส้นด้วย

จะเห็นได้ว่าปริมาณการใช้น้ำของโรงงานทั้งสอง ลดลงจากประมาณ 80,120 ลูกบาศก์เมตรต่อวัน ในช่วงต้นปี 2549 เหลือประมาณ 2,040 ลูกบาศก์เมตรต่อวันในช่วงต้นปี 2553 เนื่องจากการผลิตของโรงงานลดลง แต่อย่างไรก็ตามการใช้น้ำเฉลี่ยของทั้งสองโรงงานในช่วงที่การใช้น้ำค่อนข้างคงที่ (ในช่วงปี 2551-2553) แสดงในตารางที่ 2.2.4

**ตารางที่ 2.2.4 ปริมาณการใช้น้ำรายเดือนเฉลี่ยต่อวันของโรงงาน**

โรงงาน	ปริมาณการใช้น้ำรายเดือนเฉลี่ยต่อวัน (ลูกบาศก์เมตร)	ปริมาณน้ำเสียต่อวัน (ลูกบาศก์เมตร)
กระดาษสา	12.3	9.8
เยื่อมาสี	12.0	9.6
รวม	24.3	19.4





## บทที่ 3

### วิธีการดำเนินการ

รูปแบบการทดลองเป็นการวิจัยเชิงทดลอง (experiment research design) แบ่งการทดลองเป็น 5 ขั้นตอน

**ขั้นตอนที่ 1** ออกแบบระบบบำบัดน้ำเสียด้วยระบบบึงประดิษฐ์แบบผสมผสานระหว่างระบบที่น้ำไหลท่วมผิวชั้นกรองอย่างอิสระ ระบบพืชลอยน้ำ ระบบเติมอากาศเชิงกล

**ขั้นตอนที่ 2** ปรับปรุงระบบบึงประดิษฐ์

- (1) ปรับปรุงบึงประดิษฐ์บ่อหนึ่งให้เป็นบ่อเติมอากาศ และปลูกพืชลอยน้ำ
- (2) ติดตั้งปั๊ม เครื่องเติมอากาศ
- (3) ปลูกพืชชั้มน้ำประเภท กก คล้าน้ำ (ก่อนทดลองอนุบาลให้พืชตั้งตัวได้ก่อน)

**ขั้นตอนที่ 3** ศึกษาประสิทธิภาพของระบบบำบัดน้ำเสีย

- (1) ศึกษาชนิดของพืชน้ำที่เหมาะสม

ตัวแปรควบคุม อัตราการไหลของน้ำ

ตัวแปรตาม ชนิดพืช

วิธีทดลอง ปล่อยน้ำเสียจากลงสู่ระบบบำบัด ควบคุมอัตราการไหลของน้ำให้คงที่ เก็บตัวอย่างมาวิเคราะห์คุณภาพน้ำ

- (2) ศึกษาอัตราการเติมอากาศที่เหมาะสม

ตัวแปรควบคุม ชนิดพืช อัตราการไหลของน้ำ

ตัวแปรตาม อัตราการเติมอากาศ

วิธีทดลอง ปล่อยน้ำเสียลงสู่ระบบบำบัดด้วยอัตราการไหลคงที่ และชนิดพืชจากการทดลองในขั้นตอนที่ 1 ควบคุมอัตราการเติมอากาศ เก็บตัวอย่างมาวิเคราะห์คุณภาพน้ำ

- (3) ศึกษาอัตราการไหล

ตัวแปรควบคุม ชนิดพืช อัตราการเติมอากาศ

ตัวแปรตาม อัตราการไหล และอัตราการหมุนเวียนน้ำ

วิธีทดลอง ปล่อยน้ำเสียลงสู่ระบบบำบัดด้วยชนิดพืชจากการทดลองในขั้นที่ 1 และอัตราการเติมอากาศในขั้นตอนที่ 2 แพรผันอัตราการไหล เก็บตัวอย่างมาวิเคราะห์คุณภาพน้ำ

#### ขั้นตอนที่ 4 วิเคราะห์คุณภาพน้ำ

ดัชนีคุณภาพน้ำที่วิเคราะห์มีดังนี้ ค่าพีเอช ค่าความนำไฟฟ้า ค่าความชุ่น ปริมาณของแข็งแขวนลอย ปริมาณของแข็งละลาย ค่าซีโอดี ค่าบีโอดี

ใช้วิธีตาม American Standard Method for the Examination of Water and Wastewater, 20<sup>th</sup>.ed. 1998.

#### ขั้นตอนที่ 5 การวิเคราะห์ข้อมูลทางสถิติ

(1) วิเคราะห์ค่าดัชนีคุณภาพน้ำจากค่าเฉลี่ย และค่าเบี่ยงเบนมาตรฐาน

(2) วิเคราะห์ประสิทธิภาพของระบบ โดยคำนวณจากปริมาณสารในน้ำเข้า และปริมาณในน้ำออกเมื่อสิ้นสุดการทดลองเป็นร้อยละ ดังแสดงในสมการ

$$\% removal = 1 - \frac{Ce}{Ci} \times 100$$

Ce เป็นปริมาณสารในน้ำเสียก่อนเข้าระบบบำบัด

Ci เป็นปริมาณสารในน้ำหลังการบำบัด

(3) ทดสอบค่าเฉลี่ยดัชนีคุณภาพน้ำด้วยการวิเคราะห์ความแปรปรวนแบบจำแนกทางเดียว (one - way analysis of variance) โดยการทดสอบนัยสำคัญทางสถิติ ณ ระดับ 0.05 เมื่อพบว่าค่าเฉลี่ยมีความแตกต่างอย่างมีนัยสำคัญ เปรียบเทียบความแตกต่างระหว่างค่ากลางด้วยวิธีของทูคี (Turkey) โดยให้ดัชนีคุณภาพน้ำเป็นตัวแปรตาม และอัตราการไหลของน้ำ ความสกปรกของน้ำในรูปบีโอดี ค่าพีเอชของน้ำ และชนิดพืช เป็นตัวแปรต้น

#### ขั้นตอนที่ 6 สร้างแบบจำลองระบบบำบัดน้ำเสียของพื้นที่โครงการ

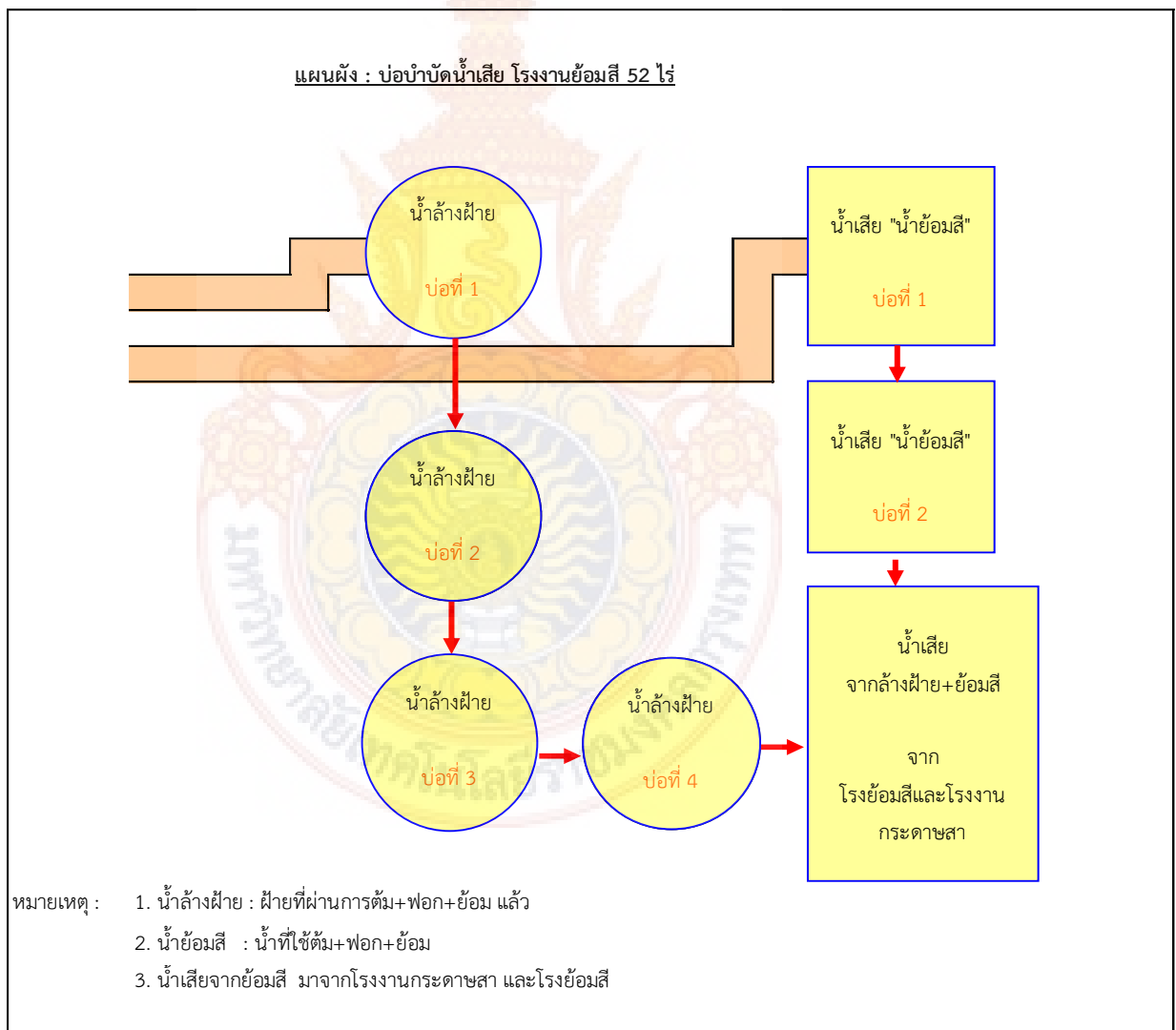
## บทที่ 4

### ผลการทดลอง

#### 4.1 การศึกษาเบื้องต้นของระบบบำบัดน้ำเสียพื้นที่โครงการพัฒนาดอยตุงฯ

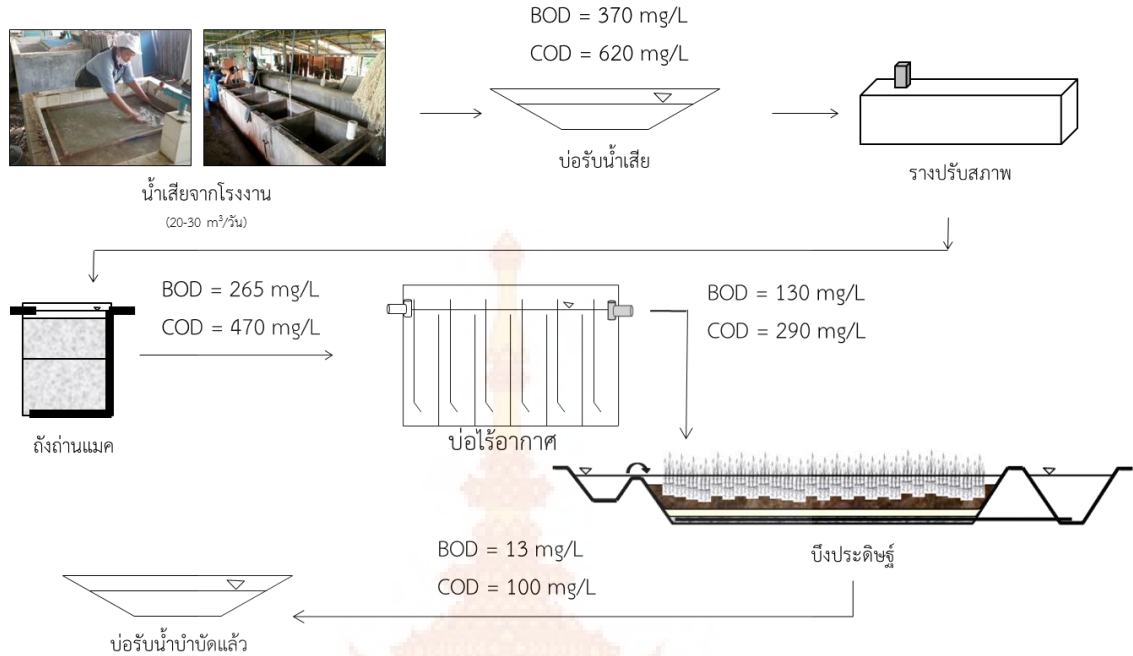
##### 4.1.1 ระบบบำบัดน้ำเสียในปัจจุบันของพื้นที่โครงการพัฒนาดอยตุงฯ

น้ำเสียจากโรงงานฟอกย้อมและโรงงานกระดาษสาของพื้นที่โครงการพัฒนาดอยตุงฯ มีปริมาณวันละ 20-30 ลูกบาศก์เมตร ขึ้นกับกระบวนการผลิตในแต่ละวัน น้ำเสียทั้งหมดจะไปรวมที่บ่อรองก่อนส่งไปยังระบบบำบัดน้ำเสีย (รูปที่ 4.1.1) โดยน้ำเสียก่อนเข้าระบบบำบัดน้ำเสียมีค่าความสกปรกของน้ำในรูปของบีโอดีเฉลี่ยวันละ 370 มิลลิกรัมต่อลิตร ค่าซีโอดีเฉลี่ยวันละ 620 มิลลิกรัมต่อลิตร



รูปที่ 4.1.1 แผนผังบ่อบำบัดน้ำเสีย

น้ำเสียจากบ่อรวมถูกส่งไปยังระบบบำบัดน้ำเสียปัจจุบัน ซึ่งประกอบด้วยระบบการปรับสภาพ  
พีเอช การกรองด้วยถ่านแมกคาเดเมียม ระบบบ่อไร้อากาศ และระบบบึงประดิษฐ์ ดังแสดงในรูปที่ 4.1.2



รูปที่ 4.1.2 ระบบบำบัดน้ำเสียในปัจจุบันของพื้นที่โครงการพัฒนาดอยตุงฯ



รูปที่ 4.1.3 ระบบบึงประดิษฐ์แบบน้ำไหลใต้ผิวดินในแนวตั้ง

ระบบบึงประดิษฐ์มีขนาดส่วนบน 27 เมตร  $\times$  7 เมตร  $\times$  1 เมตร และขนาดส่วนล่าง 25 เมตร  $\times$  5 เมตร  $\times$  1 เมตร จำนวน 2 บ่อ โดยปูลูกกอกเหลี่ยม และกอกกลม อย่างละ 1 บ่อ ออกแบบให้น้ำไหลໄต้ผิดินในแนวตั้ง ลักษณะของน้ำที่ออกจากระบบในแต่ละขั้นตอนแสดงดังรูปที่ 4.1.4

				
น้ำเสียเข้า ระบบบำบัด	น้ำผ่านถัง แมคคาเดเมีย	น้ำผ่านบึงประดิษฐ์ บ่อ ก.เหลี่ยม	น้ำผ่านบึงประดิษฐ์ บ่อ ก.กลม	น้ำสุดท้ายออก จากระบบ

รูปที่ 4.1.4 ลักษณะของน้ำที่ออกจากระบบในแต่ละขั้นตอน

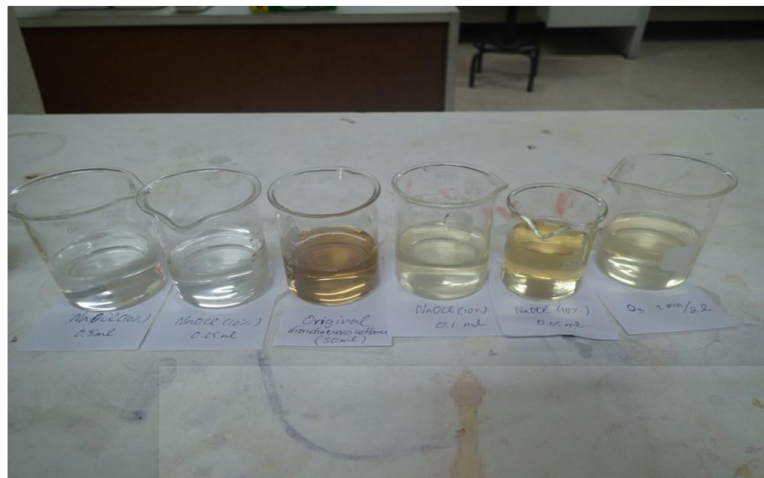
ประสิทธิภาพของระบบบึงประดิษฐ์ในปัจจุบันหลังจากใช้งานได้ 1 ปี พบร่วมกับความสามารถกำจัดบีโอดี ร้อยละ 97 และกำจัดซีโอดีร้อยละ 84 แต่ระบบเริ่มมีปัญหาจากการอุดตันของตะกอน ทำให้มีน้ำเสียไหลล้นออกจากระบบ จำเป็นต้องมีการปรับปรุงระบบใหม่

#### 4.1.2 ทางเลือกในการกำจัดสีจากน้ำเสียจากโรงงานฟอกย้อม และโรงงานกระดาษสา

น้ำเสียจากโรงงานฟอกย้อม และโรงงานกระดาษสาของพื้นที่โครงการพัฒนาดอยตุงฯ เป็นน้ำที่มีสีปนเปื้อนซึ่งกำจัดสีออกได้ยาก น้ำที่ผ่านระบบบึงประดิษฐ์ยังคงมีสี ทางเลือกในการกำจัดสีของน้ำเสียมีดังนี้

##### (1) การกำจัดสีด้วยไฮโพคลอไรต์

นำน้ำที่ผ่านการบำบัดด้วยระบบบึงประดิษฐ์ ปริมาณ 50 มิลลิลิตร มากำจัดสีด้วยโซเดียมไฮโพคลอไรต์เข้มข้นร้อยละ 10 โดยแปรผันปริมาณโซเดียมไฮโพคลอไรต์ 0.05, 0.10, 0.25 และ 0.5 มิลลิลิตร ได้ผลแสดงดังรูปที่ 4.1.5



รูปที่ 4.1.5 ผลการกำจัดสีด้วยโซเดียมไฮโดรคลอไรต์

#### ข้อดีของการกำจัดสีด้วยโซเดียมไฮโดรคลอไรต์

- สามารถกำจัดสีจากน้ำเสียจากโรงงานฟอกย้อมและโรงงานกระดาษได้ในเวลา 1 ชั่วโมง
- ลดค่าเบื้องต้น และซีโอดี
- มีความเป็นไปได้ในการปรับปรุงคุณภาพน้ำให้มีคุณภาพดีขึ้น

#### ข้อเสียของการกำจัดสีด้วยโซเดียมไฮโดรคลอไรต์

- มีสารเคมีที่เป็นพิษต่อก้างในน้ำเสีย

#### การติดตั้ง

- ติดตั้งเป็นส่วนสุดท้ายของระบบบำบัด

#### (2) การกำจัดสีด้วยไฮโดรเจนเพอร์ออกไซด์

นำน้ำที่ผ่านการบำบัดด้วยระบบบีบประดิษฐ์ ปริมาณ 50 มิลลิลิตร มากำจัดสีด้วยไฮโดรเจนเพอร์ออกไซด์เข้มข้นร้อยละ 50 แปรผันปริมาณไฮโดรเจนเพอร์ออกไซด์ 0.5 และ 1.0 มิลลิลิตร ได้ผลแสดงดังรูปที่ 4.1.6



รูปที่ 4.1.6 ผลการกำจัดสีด้วยไฮโดรเจนเพอร์ออกไซด์

#### ข้อดีของการกำจัดสีด้วยไฮโดรเจนเพอร์ออกไซด์

- สามารถกำจัดสีจากน้ำเสียจากโรงงานฟอกย้อมและโรงงานกระดาษได้ในเวลา 1 ชั่วโมง
- ลดค่าปีโอดี และซีโอดี
- มีความเป็นไปได้ในการปรับปรุงคุณภาพน้ำให้มีคุณภาพดีขึ้น

#### ข้อเสียของการกำจัดสีด้วยไฮโดรเจนเพอร์ออกไซด์

- ราคาสารเคมี

#### การติดตั้ง

- ติดตั้งเป็นส่วนสุดท้ายของระบบบำบัด

#### (3) การกำจัดสีด้วยเฟนตอนรีเอเจนต์ (hydrogen peroxide + ferric sulfate)

นำน้ำที่ผ่านการบำบัดด้วยระบบบีงประดิษฐ์ ปริมาณ 50 มิลลิลิตร มากำจัดสีด้วยเฟนตอนรีเอเจนต์ โดยใช้สารละลายเฟอร์รัสซัลเฟตเข้มข้นร้อยละ 10 ปริมาณ 0.25 มิลลิลิตร ร่วมกับไฮโดรเจนเพอร์ออกไซด์ เข้มข้นร้อยละ 50 โดยปรับปริมาณไฮโดรเจนเพอร์ออกไซด์ 0.5 และ 1.0 มิลลิลิตร ได้ผลแสดงดังรูปที่

4.1.7



รูปที่ 4.1.7 ผลการกำจัดสีด้วยเ芬ตองรีเอเจนต์

#### ข้อดีของการกำจัดสีด้วยเ芬ตองรีเอเจนต์

- สามารถกำจัดสีจากน้ำเสียจากโรงงานฟอกย้อมและโรงงานกระดาษได้ในเวลา 1 ชั่วโมง แต่ ประสิทธิภาพในการกำจัดสีจะต่ำกว่าการใช้ไฮโดรเจนเพอร์ออกไซด์เพียงอย่างเดียว
- ลดค่าปีโอดี และซีโอดี
- มีความเป็นไปได้ในการปรับปรุงคุณภาพน้ำให้มีคุณภาพดีขึ้น

#### ข้อเสียของการกำจัดสีด้วยเ芬ตองรีเอเจนต์

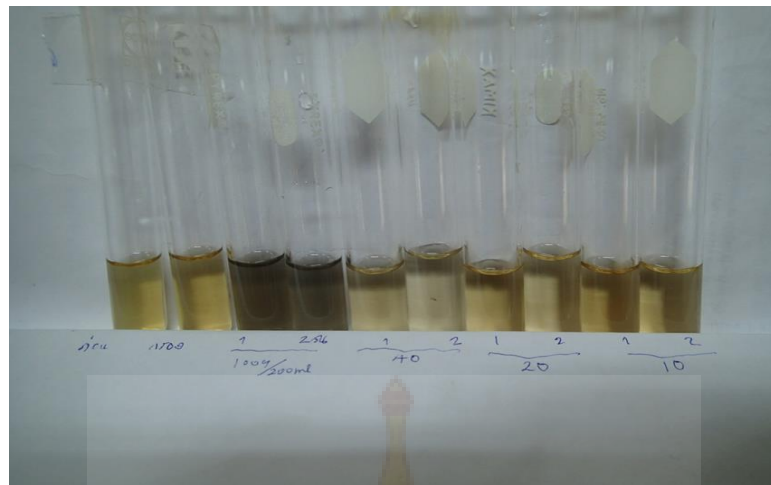
- มีปริมาณตะกอนเคมีเกิดขึ้น

#### การติดตั้ง

- ติดตั้งเป็นส่วนสุดท้ายของระบบบำบัด

#### (4) การกำจัดสีด้วยถ่านกัมมันต์จากเปลือกเมคคาเดเมีย

นำน้ำที่ผ่านการบำบัดด้วยระบบบีบีงประดิษฐ์ ปริมาณ 200 มิลลิลิตร มากำจัดสีด้วยถ่านกัมมันต์จากเปลือกเมคคาเดเมีย แปรผันปริมาณถ่านกัมมันต์ 10 กรัม 20 กรัม 40 กรัม และ 100 กรัม กวนให้สัมพัสดับน้ำเสียนาน 1 วันและ 2 วัน ได้ผลแสดงดังรูปที่ 4.1.8



รูปที่ 4.1.8 ผลการกำจัดสีด้วยถ่านกัมมันต์จากเปลือกแมคคาเดเมีย

#### ข้อดีของการกำจัดสีด้วยถ่านกัมมันต์จากเปลือกแมคคาเดเมีย

- สามารถกำจัดสีจากน้ำเสียจากโรงงานฟอกย้อมและโรงงานกระดาษได้แต่ต้องใช้ เวลานาน ประมาณ 24 ชั่วโมง
- ลดค่าปีโอดี และซีโอดี
- มีความเป็นไปได้ในการปรับปรุงคุณภาพน้ำให้มีคุณภาพดีขึ้น

#### ข้อเสียของการกำจัดสีด้วยถ่านแมคคาเดเมีย

- ราคาถ่านกัมมันต์จากเปลือกแมคคาเดเมีย (ใช้ประมาณ 400 ตันต่อปี)
- ความยุ่งยากในการเตรียมถ่านกัมมันต์

#### การติดตั้ง

- ติดตั้งเป็นส่วนสุดท้ายของระบบบำบัด

#### (5) การกำจัดสีด้วยโอโซน

นำน้ำที่ผ่านการบำบัดด้วยระบบเบิงประดิษฐ์ มาผ่านโอโซนเป็นเวลา 10 นาที ได้ผลแสดงดังรูปที่

4.1.9



รูปที่ 4.1.9 ผลการกำจัดสีด้วยโอลิโนน

#### ข้อดีของการกำจัดสีด้วยโอลิโนน

- สามารถกำจัดสีจากน้ำเสียจากโรงงานฟอกย้อมและโรงงานกระดาษได้ใน 10 นาที
- กำจัดบีโอดี และซีโอดี
- ช่วยเพิ่มปริมาณออกซิเจนในน้ำ
- ไม่มีสารพิษตกค้างในน้ำเสีย
- มีความเป็นไปได้ในการปรับปรุงคุณภาพน้ำให้มีคุณภาพดีขึ้น
- ข้อเสียของการกำจัดสีด้วยโอลิโนน
- มีค่าใช้จ่ายด้านพลังงาน และการบำรุงรักษา

#### การติดตั้ง

- ติดตั้งได้ทั้งก่อนและหลังระบบบำบัด

#### 4.1.3 ทางเลือกในการปรับปรุงระบบ

ทางเลือกที่ 1 เปลี่ยนตัวกรอง และเพิ่มป้องกันประดิษฐ์อีก 1 บ่อ

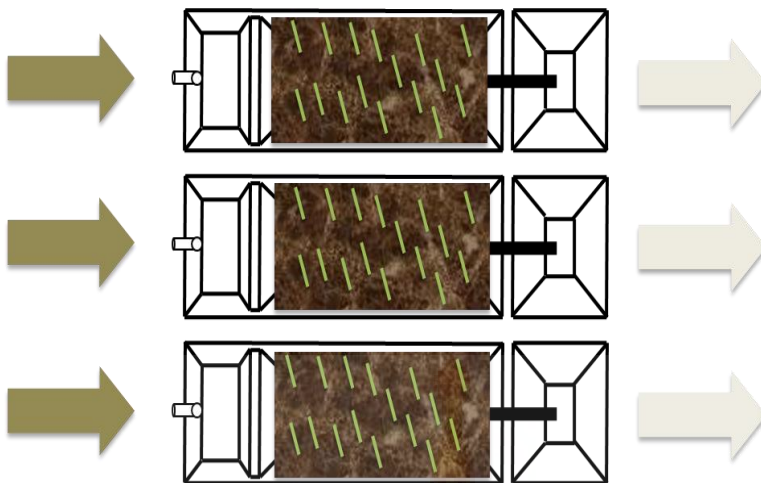
เงินลงทุน ค่าก่อสร้างระบบเบ็งประดิษฐ์เพิ่ม 1,230,000 บาท

ค่าเปลี่ยนตัวกรอง 860,000 บาท

ค่าบำบัด  $78 \text{ baht/m}^3$

ข้อดี ระบบสามารถกำจัดสีได้ดีขึ้น เพราะเพิ่มตัวกรอง และไม่มีค่าใช้จ่ายด้านพลังงาน

ข้อเสีย มีค่าใช้จ่ายสูงเกี่ยวกับการปรับปรุงระบบ และการปลูกพืชใหม่ และมีแนวโน้มของปัญหาอุดตัน อีกในอนาคต



รูปที่ 4.1.10 ทางเลือกที่ 1 ในการปรับปรุงระบบ

ทางเลือกที่ 2 เอตัวกรองออกจากระบบ ติดตั้งเครื่องเติมอากาศ 4 เครื่องในแต่ละบ่อ และติดตั้งเครื่องโอโซน (Ozone reduce 1/3 of BOD)

เงินลงทุน      ค่าปรับปรุงระบบ 760,000 บาท    ค่าเครื่องโอโซน 1,000,000 บาท

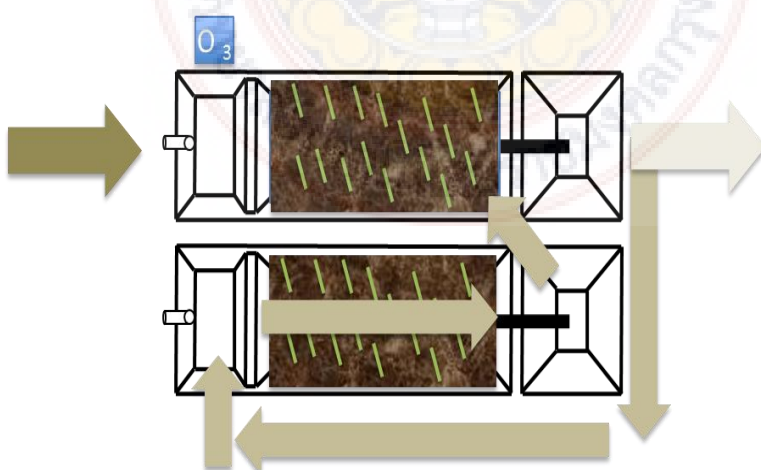
                        ค่าบำรุงรักษาระบบ 80,000 บาทต่อปี

                        ค่าไฟฟ้า 230,000 บาทต่อปี

                        ค่าบำบัด 27 บาท/ $m^3$

ข้อดี                  ระบบสามารถกำจัดสีได้ดีขึ้น เพราะเพิ่มตัวกรอง และไม่มีค่าใช้จ่ายในการเปลี่ยนตัวกรอง ในแต่ละปี

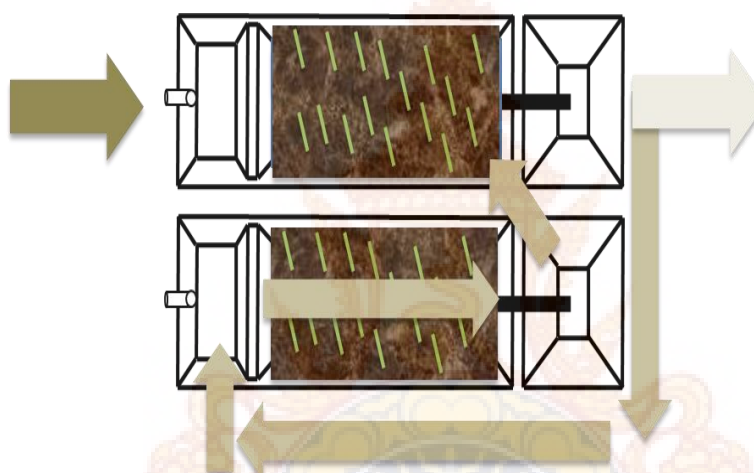
ข้อเสีย                  ค่าใช้จ่ายสูงด้านพลังงาน และค่าเครื่องผลิตโอโซน



รูปที่ 4.1.11 ทางเลือกที่ 2 ในการปรับปรุงระบบ

ทางเลือกที่ 3	เอาตัวกรองออกจากระบบ ติดตั้งเครื่องเติมอากาศ 4 เครื่องในแต่ละบ่อ และติดตั้งระบบพีชloyน้ำ ร่วมกับระบบที่ 3
เงินลงทุน	ค่าปรับปรุงระบบ 760,000 บาท ค่าบำบัด $17 \text{ baht/m}^3$ ค่าไฟฟ้า 230,000 บาทต่อปี
ข้อดี	ระบบสามารถกำจัดสีได้ดี และไม่เสียใช้จ่ายในการเปลี่ยนตัวกรองในแต่ละปี
ข้อเสีย	ค่าใช้จ่ายด้านพลังงาน

จากการพิจารณาทั้ง 3 ทางเลือกงานวิจัยนี้เลือกใช้ทางเลือกที่ 3 โดยการเอาตัวกรองออกจากระบบเดิม ติดตั้งเครื่องเติมอากาศ 2 เครื่องในแต่ละบ่อ และติดตั้งระบบพีชloyน้ำ ร่วมกับระบบที่ 3



รูปที่ 4.1.12 ทางเลือกที่ 3 ในการปรับปรุงระบบ

## 4.2 การทดสอบความเหมาะสมของพีชที่ใช้ปลูกในบึงประดิษฐ์

ทดสอบความเหมาะสมของพีชที่ใช้ปลูกในบึงประดิษฐ์โดยใช้ป่าวงซีเมนต์ขนาดเส้นผ่านศูนย์กลาง 80 เซนติเมตร สูง 40 เซนติเมตร จำนวน 10 บ่อ ปลูกพีชจำนวน 3 ชนิด คือ กก รูปถานะ และแฟก ชนิดละ 3 บ่อ โดยมีหนึ่งบ่อเป็นบ่อควบคุม ('ไม่ปลูกพีช') แต่ละบ่อปูด้วยกรวดสูงประมาณ 5 เซนติเมตร ทรายหยาบสูงประมาณ 10 เซนติเมตร และดินเหนียว (สีดำ) ผสมทรายประมาณ 20 เซนติเมตร ด้านล่างของบ่อ มีห่อรูป กากบาทเจาะรู เพื่อรับน้ำเสียหลังจากผ่านชั้นตัวกลางแล้ว ในระหว่างการทดลอง ในทุกวัน ในแต่ละบ่อจะมีการนำน้ำเสียที่ผ่านชั้นกรองแล้วจากด้านล่างออก ปริมาตร 5 ลิตร และจากนั้นจะมีการเติมน้ำเสียก่อนบำบัดในปริมาตรที่เท่ากันเข้าจากทางด้านบนของบ่อการเก็บตัวอย่าง เก็บตัวอย่างทุกสัปดาห์



รูปที่ 4.2.1 การเตรียมบ่อทดสอบชนิดพีช



รูปที่ 4.2.2 บ่อทดสอบพีช (ก่อนการทดสอบ)



รูปที่ 4.2.3 บ่อทดสอบพีช (หลังการทดสอบ)



รูปที่ 4.2.4 รูปถ่ายหลังการทดสอบ



รูปที่ 4.2.5 กกหลังการทดสอบ



รูปที่ 4.2.6 แก้วหลังการทดสอบ



รูปที่ 4.2.7 ตัวอย่างน้ำเสียจากบ่อที่ปลูกพืชชนิดต่างๆ

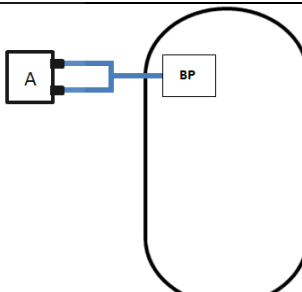
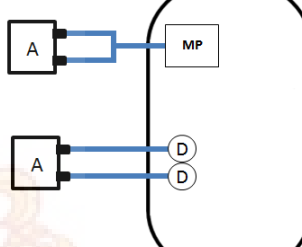
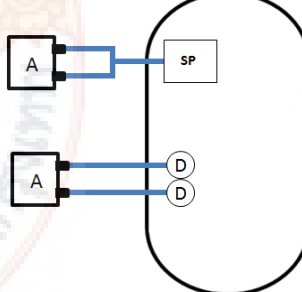
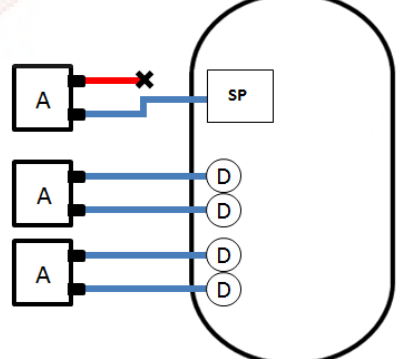
จากการทดสอบใช้ กก แฟก และรูปถ่ายในการบำบัดน้ำเสียจากพื้นที่โครงการพบว่า รูปถ่าย มีประสิทธิภาพดีที่สุด รองลงมาเป็น กก และแฟก ในการใช้พื้นที่วิจัยนี้เลือกใช้ กก เนื่องจากรูปถ่ายจะมีปัญหาเรื่องการแพร่กระจายของดอกรูปถ่าย และ กก เป็นพื้นที่สามารถนำมาใช้ประโยชน์ต่อได้มาก



### 4.3 ผลการศึกษาประสิทธิภาพการถ่ายเทอกซิเจนด้วยเครื่องเติมอากาศ

ศึกษาประสิทธิภาพการถ่ายเทอกซิเจนในน้ำ โดยใช้น้ำประม่าตระ 140 ลิตร เติมเครื่องเติมอากาศในลักษณะต่างๆ ดังตารางที่ 4.3.1 – 4.3.2 และตารางผนวก ก1-ก10

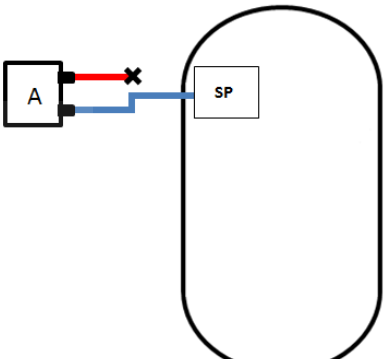
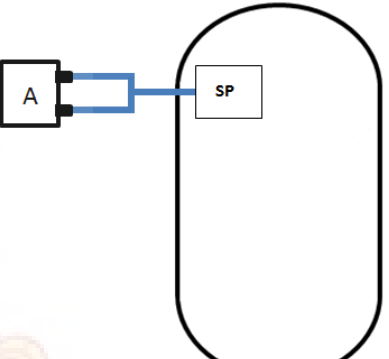
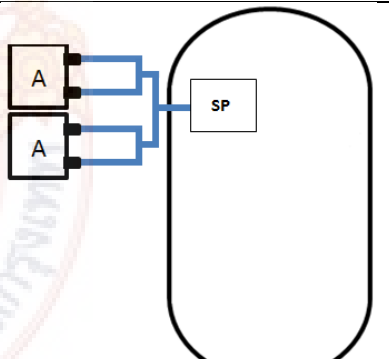
ตารางที่ 4.3.1 รูปแบบการทดลองของเครื่องให้อากาศ

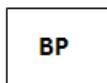
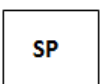
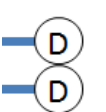
รูปแบบ	อัตราการให้ลมของปั๊ม (L/min)	จำนวนปั๊มน้ำ	จำนวนเครื่องให้อากาศ	จำนวนหัวฟู่	รูปแบบการจัดวาง
A1	2000	1	1	-	
A2	900	1	2	2	
A3	600	1	2	2	
A4	600	1	3	4	

ตารางที่ 4.3.1 รูปแบบการทดลองของเครื่องให้อากาศ (ต่อ)

รูปแบบ	อัตราการ ไหหล ของปั๊ม (L/min)	จำนวน ปั๊มน้ำ	จำนวน เครื่องให้ อากาศ	จำนวน หัวฟู่	รูปแบบการจัดวาง
A5	600	1	3	4	
A6	600	1	4	4	
A7	600	1	6	4	
A8	600	1	1	-	

ตารางที่ 4.3.1 รูปแบบการทดลองของเครื่องให้อากาศ (ต่อ)

รูปแบบ	อัตราการไหลของปั๊ม (L/min)	จำนวนปั๊มน้ำ	จำนวนเครื่องให้อากาศ	จำนวนหัวฟู่	รูปแบบการจัดวาง
A8	600	1	1	-	
A9	600	1	2	-	
A10	600	1	4	-	

- หมายเหตุ  = เครื่องเติมอากาศขนาดเล็ก อัตราการไหลของน้ำ 600 ลิตรต่อนาที
-  = เครื่องเติมอากาศขนาดกลาง อัตราการไหลของน้ำ 900 ลิตรต่อนาที
-  = เครื่องเติมอากาศขนาดใหญ่ อัตราการไหลของน้ำ 1,200 ลิตรต่อนาที
-  = ปั๊มอากาศ
-  = หัวกระจายอากาศแบบหัวพู ชนิดที่ใช้กับตู้ปลา

ตารางที่ 4.3.2 อัตราการถ่ายเทออกซิเจนในสภาวะมาตรฐาน

รูปแบบการทดลอง	อัตราการถ่ายเทออกซิเจน ที่สภาวะมาตรฐาน ( $\text{gO}_2/\text{hr}$ )	อัตราการไหลของปั๊ม (L/hr)
A1	3.38	2000
A2	3.02	900
A3	2.07	600
A4	2.71	
A5	3.98	
A6	3.96	
A7	4.15	
A8	1.67	
A9	2.10	
A10	2.64	

จากการทดลองพบว่า เมื่อใช้ปั๊มน้ำที่มีอัตราไหลมากขึ้น อัตราการถ่ายเทออกซิเจนในสภาวะมาตรฐานจะมีค่ามากขึ้นด้วย และเมื่อใช้ลูกฟู่ร่วมกับปั๊มน้ำให้อากาศ อัตราการถ่ายเทออกซิเจนในสภาวะมาตรฐานจะมีค่ามากขึ้นเช่นกัน ซึ่งรูปแบบการให้อากาศแบบมีปั๊มให้อากาศ 4 ตัว ปั๊มน้ำขนาดกลาง 1 ตัว ร่วมกับลูกฟู่ 4 ตัว (A7) ให้อัตราการถ่ายเทออกซิเจนในสภาวะมาตรฐานมากที่สุด คือ 4.15 กรัมออกซิเจนต่อชั่วโมง และรูปแบบการให้อากาศที่มีอัตราการถ่ายเทออกซิเจนในสภาวะมาตรฐานน้อยที่สุด คือรูปแบบที่มีปั๊ม

น้ำขนาดเล็ก 1 เครื่องและปั๊มให้อากาศ ที่ให้อากาศเพียงหนึ่งช่องจำนวน 1 เครื่อง (A8) ซึ่งมีค่าเท่ากับ 1.67 กรัมออกซิเจนต่อชั่วโมง

เนื่องจากบ่อบำบัดจำลอง มีปริมาณความจุ 140 ลิตร เมื่อเทียบกับขนาดบ่อบำบัดจริง ซึ่งมีปริมาณความจุ 125 ลูกบาศก์เมตร ดังนั้นบ่อบำบัดจริงจึงมีขนาดใหญ่ประมาณ 963 เท่าของขนาดความจุของบ่อบำบัดจำลอง และเครื่องให้อากาศที่จะใช้ในบ่อบำบัดจริงคือ เครื่องให้อากาศชัยพัฒนา รุ่น RX-5C มีอัตราการถ่ายเทออกซิเจน ประมาณ 1.8 ถึง 2.0 กิโลกรัมออกซิเจนต่อชั่วโมงต่อแรงม้า หรือ 3.6 ถึง 4.0 กิโลกรัมออกซิเจนต่อชั่วโมงต่อแรงม้า เพื่อให้ได้เครื่องให้อากาศที่เหมาะสมกับบ่อบำบัดจำลอง เมื่อนำมาคำนวณทางคณิตศาสตร์ จะได้ว่า อัตราการถ่ายเทออกซิเจนที่สภาวะมาตรฐานของเครื่องให้อากาศในบ่อบำบัดจำลองจะมีค่าประมาณ 3.74 ถึง 4.15 กรัมออกซิเจนต่อชั่วโมง ดังนั้นรูปแบบการทดลองของเครื่องให้อากาศที่เหมาะสมที่คือ A7

แต่เนื่องจากรูปแบบการทดลอง A7 ทำให้เกิดการไหลวนของน้ำภายในถังช้า เพื่อให้เกิดภาวะที่เหมาะสมกับการทดลอง จึงเลือกใช้รูปแบบการทดลอง A9 จำนวน 2 เครื่อง โดยทำให้น้ำมีการไหลวนไปในทิศทางเดียวกัน



#### 4.4 การออกแบบและสร้างระบบบำบัดน้ำเสียที่เลียนแบบระบบจริง (pilot-scale)

การออกแบบและสร้างระบบบำบัดน้ำเสียที่เลียนแบบระบบจริง (pilot-scale) โดยผู้สมมติฐานระหว่างระบบพื้นที่ของน้ำ ร่วมกับเครื่องกลเติมอากาศโดยสร้างและทดลอง ณ พื้นที่โครงการพัฒนาดอยตุง (พื้นที่ท่องเที่ยว) อันเนื่องมาจากพระราชดำริ แสดงดังรูปที่ 4.4.1

โรงเรือนขนาด กว้าง x ยาว x สูง เท่ากับ 3.8 เมตร x 5.9 เมตร x 2 เมตร มุ่งหลักค่าโรงเรือนด้วยแผ่นพลาสติกใส



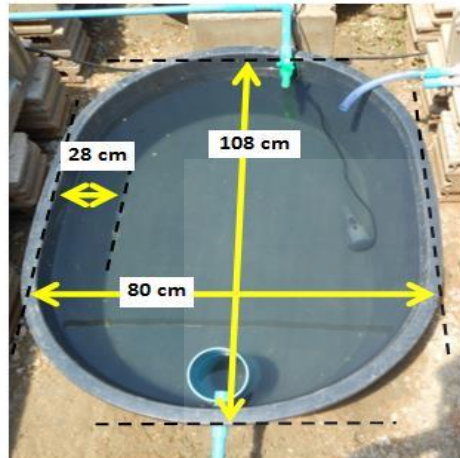
รูปที่ 4.4.1 โรงเรือนจำลอง



รูปที่ 4.4.2 ถังควบคุมระดับน้ำ

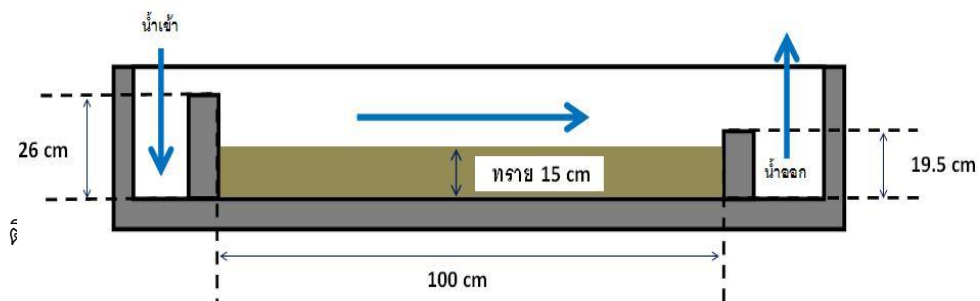
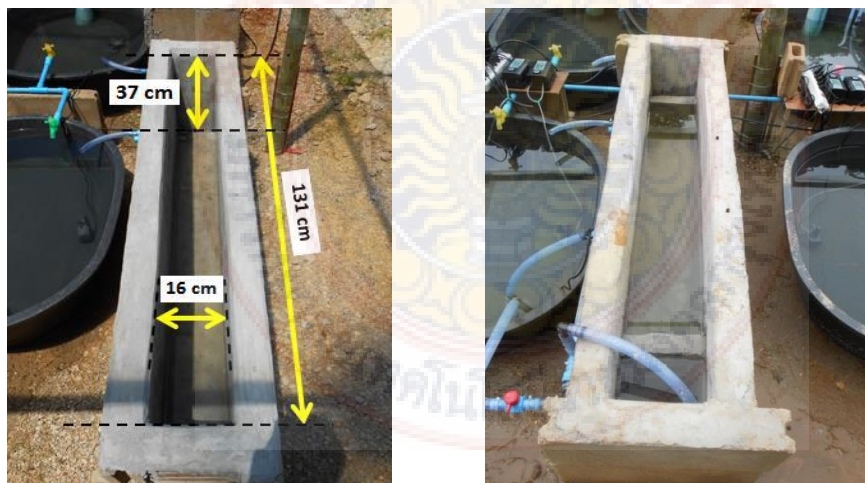
ระบบกระจายน้ำ ประกอบด้วยถังพกน้ำเสียขนาดความจุ 200 ลิตร และถังควบคุมอัตราการไหลของน้ำทึบ ขนาดความจุ 50 ลิตร สูงจากพื้น 65 เซนติเมตร โดยป้อนน้ำทึบเข้าสู่ระบบตลอดเวลา ควบคุมอัตราการไหลที่ 1.3 ลิตรต่อชั่วโมง (31.2 ลิตรต่อวัน) โดยใช้วาล์วในการปรับอัตราการไหลของน้ำเสียจ่ายให้กับระบบบำบัด

ระบบถังบำบัดน้ำเสียจำลอง กว้าง x ยาว x สูง เท่ากับ  $80 \times 108 \times 28$  เซนติเมตร ความจุ 130 ลิตร เจาะรูน้ำทึ้งที่ความสูง 24 เซนติเมตร ในบริเวณดังกล่าว ติดตั้งห้องน้ำด้านหลังบ้านคุณย์กลาง 4 นิ้ว ในแนวตั้งในระดับที่สูงกว่าท่อน้ำทึ้ง เพื่อสร้างสภาพน้ำนิ่ง ป้องกันตะกอนออกจากถังบำบัด

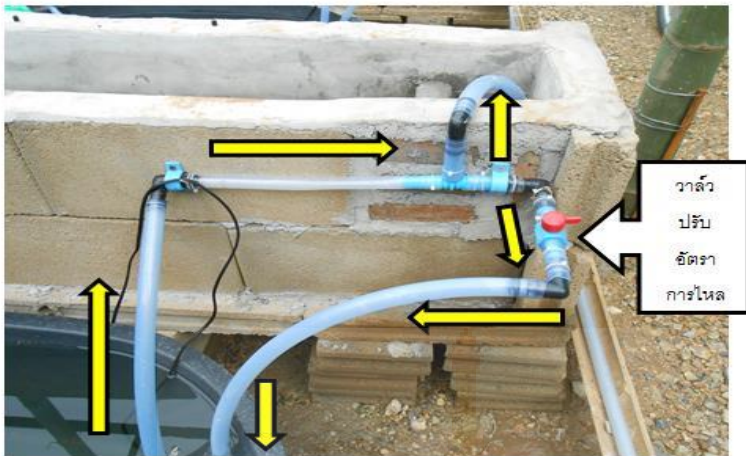


รูปที่ 4.4.3 ขนาดและรูปแบบบ่อบำบัดจำลอง

รางพืช ขนาด กว้างx ยาว x สูง เท่ากับ  $16 \times 131 \times 37$  เซนติเมตร โดยยกรางพืชให้สูงจากพื้น 27 เซนติเมตร เพื่อให้น้ำไหลกลับลงบ่อบำบัด ก่อปูนทางกันน้ำที่เข้าสู่บริเวณที่ปลูกพืช สูง 26 เซนติเมตร และทางกันน้ำออก สูง 19.5 เซนติเมตร รางพืชทำจากอิฐล้อต และฉาบปูนที่ผสมสารกันซึม เพื่อป้องกันการซึมของน้ำ บริเวณที่จะปลูกพืช มีความยาว 1 เมตรโดยใส่ทรายให้สูง 15 เซนติเมตร



รูปที่ 4.4.4 ขนาดและรูปแบบรางพืช



รูปที่ 4.4.5 รูปแบบการทำงานของปั๊มในรางพีช

เนื่องจากปั๊มน้ำที่ใช้ ไม่สามารถปรับความเร็วรอบได้ ทำให้ไม่สามารถปรับอัตราการไหลที่ตัวปั๊มได้ จึงสร้างท่อระบายน้ำ (drain) เพื่อปรับให้น้ำเสียบางส่วนไหลกลับไปยังบ่อบำบัดจำลอง ซึ่งทำให้สามารถปรับอัตราการไหลเข้าสู่ร่างพีชได้

## 4.5 การจัดการพีชที่ใช้ในระบบบ่อบำบัดจำลอง

การทดสอบระหว่างพีชloyinน้ำ รางพีช และระบบเติมอากาศ ในส่วนของรางพีชเลือกใช้ตันคล้าน้ำ และในส่วนของพีชloyinน้ำเลือกใช้ตันกอกกลม

### 4.5.1 การอนุบาลพีช

การอนุบาลตันคล้าน้ำ มีขั้นตอนดังนี้

- (1) ถังดินเหนียวออกจากรากพีช



รูปที่ 4.5.1 ล้างดินเหนียวออกจากรากต้นคล้าน้ำ

(2) นำคล้าน้ำที่ล้างดินเหนียวออก ใส่ลงกระถางเดิมที่ล้างดินออกแล้ว จากนั้นเติมน้ำตามระดับเดิม ประมาณ 4/5 ของขนาดกระถาง (หรืออาจมากกว่า เพื่อทำให้พืชทรงตัวอยู่ได้) จากนั้นเติมน้ำจนเต็ม เมียลงไปประมาณ 4/5 ของขนาดกระถาง (หรืออาจมากกว่า เพื่อทำให้พืชทรงตัวอยู่ได้) จากนั้นเติมน้ำจนเต็ม



รูปที่ 4.5.2 การทำให้ต้นคล้าน้ำทรงตัวโดยใช้ถ่านแมءคชาดิเมีย

(3) ตัดแต่งใบที่หักและเหลือง คัดแยกคล้าน้ำ โดยแยกต้นที่มีลำต้นขนาดเล็ก และขนาดใหญ่ จากนั้นนำไปไว้ที่บริเวณอนุบาล



รูปที่ 4.5.3 สถานที่อนุบาลต้นคล้าน้ำ

(4) อนุบาลคล้าน้ำประมาณ 1 สัปดาห์ เพื่อให้พืชปรับตัว

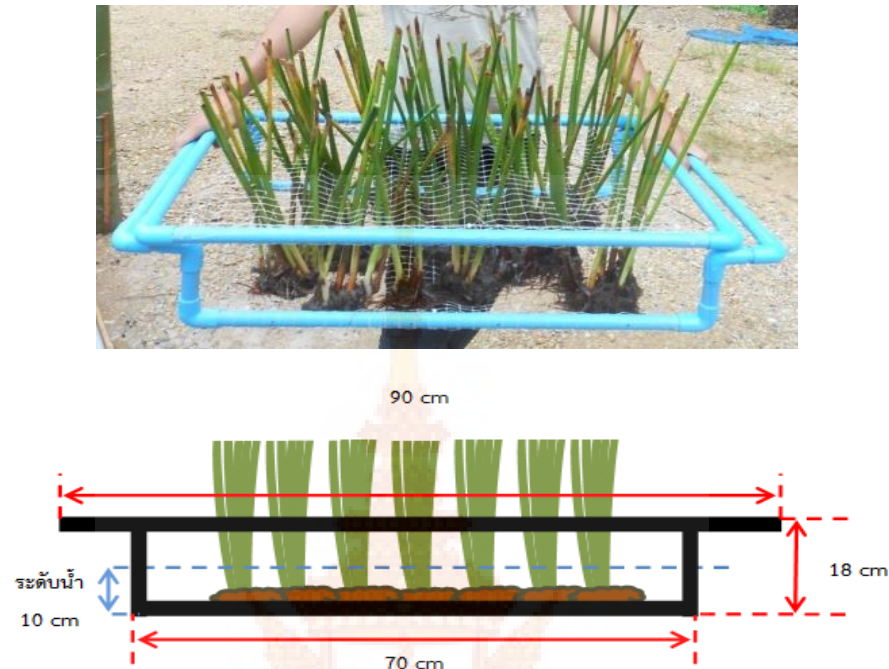
#### การอนุบาลต้นกลกลม

เนื่องจากต้นกลกลมที่นำมาใช้มีอยู่ในระบบเดิมอยู่แล้ว จึงไม่ได้ออนุบาล วิธีการเตรียมต้นกลมมีดังนี้

- (1) นำต้นกลกลมจากบ่อบำบัดในระบบเดิม ล้างดินออก
- (2) แบ่งต้นกลกลมออกเป็นกอขนาดเล็ก
- (3) จัดเรียงต้นกลกลมใส่ในร่าง โดยใส่ต้นกลกลมในแต่ละร่างให้มีน้ำหนักโดยเฉลี่ยร่างละ 3 กิโลกรัม

#### 4.5.2 การจัดวางพืชในระบบบำบัด

ในการทดลองนี้ปลูกต้นกกกลมโดย นำมาปลูกแบบแพลงอยน้ำ ที่ทำจากห่อพีวีซี ลักษณะการจัดวางต้นกกกลม แสดงดังรูปที่ 4.5.4

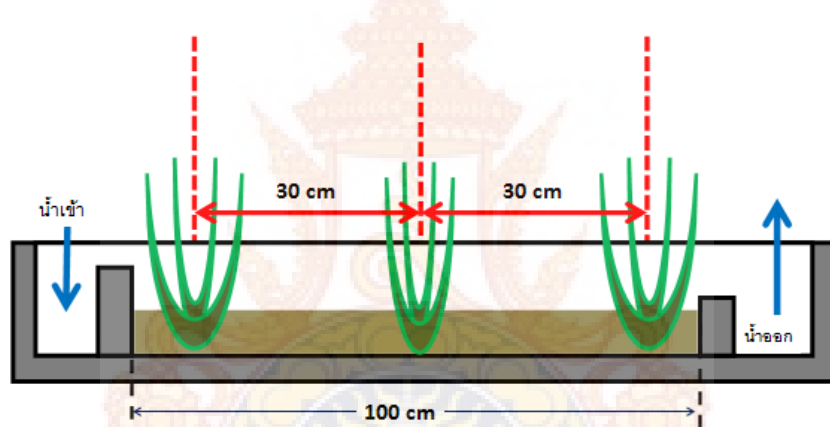


รูปที่ 4.5.4 ขนาดและรูปแบบทรงต้นกก



การวางต้นกลกลม จะวางให้มีความหนาแน่นประมาณ 4 ใน 5 ของพื้นที่ร่าง หรือ 1 ใน 2 ของพื้นที่บ่อบำบัด ให้ส่วนรากของต้นกลกลมจะจมในน้ำประมาณ 10 เซนติเมตร (รูปที่ 4.4.4) โดยใช้ตะแกรงพลาสติกเป็นตัวรองรับในส่วนของรากและการทรงตัวของต้นกลกลม ท่อพีวีซี ที่ใช้เป็นโครงจะเจาะรูเพื่อรักษาปริมาตรน้ำเสียในบ่อบำบัด ตัวร่างมีน้ำหนักประมาณ 1.3 กิโลกรัม

#### การจัดวางต้นคล้าน้ำ



รูปที่ 4.5.5 รูปแบบการวางต้นคล้าน้ำในรางพืช

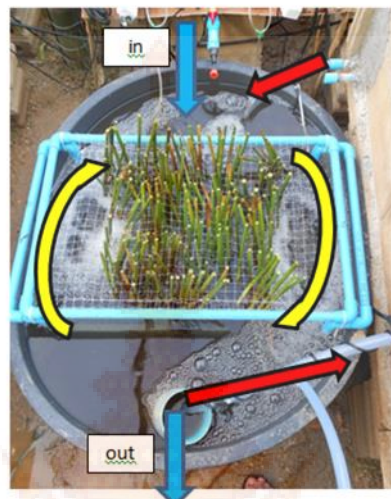
การวางต้นคล้าน้ำจะวางจำนวน 3 กอ ต่อ รางพืช โดยกอที่อยู่ตรงกลางจะมีขนาดเล็กกว่าสองกอที่เหลือ อัตราการไหลเข้าสู่ร่างพืชประมาณ 100 ลูกบาศก์เซนติเมตรต่อนาที

#### 4.5.3 การควบคุมอัตราการไหลเข้าของน้ำเสียก่อนบำบัด

ควบคุมอัตราการไหลของน้ำเสียเข้าระบบที่ 21-23 ลูกบาศก์เซนติเมตรต่อนาที โดยใช้วาล์ว (บ่อบำบัดจริงมีปริมาตร 125 ลูกบาศก์เมตร ส่วนแบบจำลองมีปริมาตร 130 ลิตร ซึ่งมีขนาดต่างกันอยู่ประมาณ 963 เท่า ในขณะที่อัตราการไหลของน้ำเสียจริงมีปริมาณ 30 ลูกบาศก์เมตรต่อวัน ดังนั้น อัตราการไหลของน้ำเสียในแบบจำลองจึงมีปริมาณ 31.2 ลิตรต่อวัน หรือ 1.3 ลิตรต่อชั่วโมง หรือ 22 ลูกบาศก์เซนติเมตรต่อนาที)

## 4.5 การศึกษาประสิทธิภาพของระบบบำบัดน้ำเสีย

ศึกษาประสิทธิภาพการบำบัดน้ำเสียของระบบบำบัดน้ำเสียจำลองระบบพืชลอยน้ำ และร่างพืชร่วมกับการเติมอากาศ ใช้เครื่องเติมอากาศ 2 เครื่อง วางชิดริมด้านในบ่อบำบัด ภายในบ่อเติมอากาศมีระบบพืชลอยน้ำ (ต้นกก) และมีระบบดูดน้ำเสียจากบ่อเติมอากาศเข้าสู่ร่างพืช และนำที่เหลือผ่านร่างพืชแล้วจะไหลกลับสู่ระบบเติมอากาศในทิศตรงข้ามโดยทำขั้นตอนที่ 2 ขุด ดังแสดงในรูปที่ 4.5.1

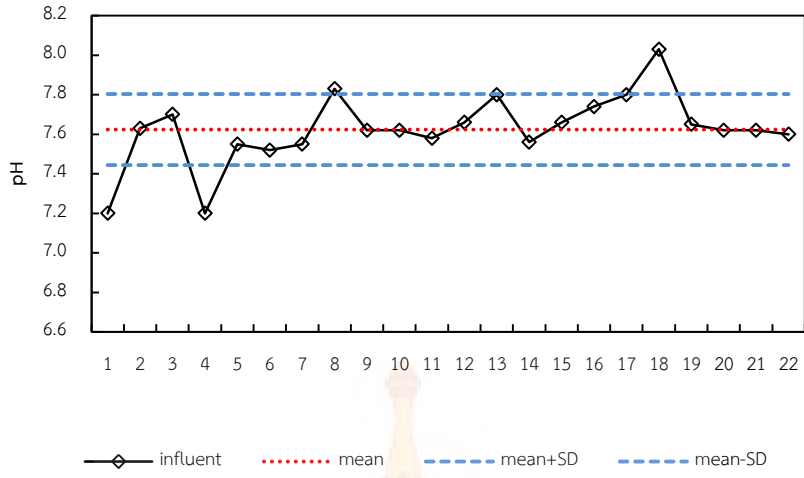


รูปที่ 4.5.1 ระบบบำบัดน้ำเสียจำลองระบบพืชลอยน้ำ และร่างพืช ร่วมกับการเติมอากาศ

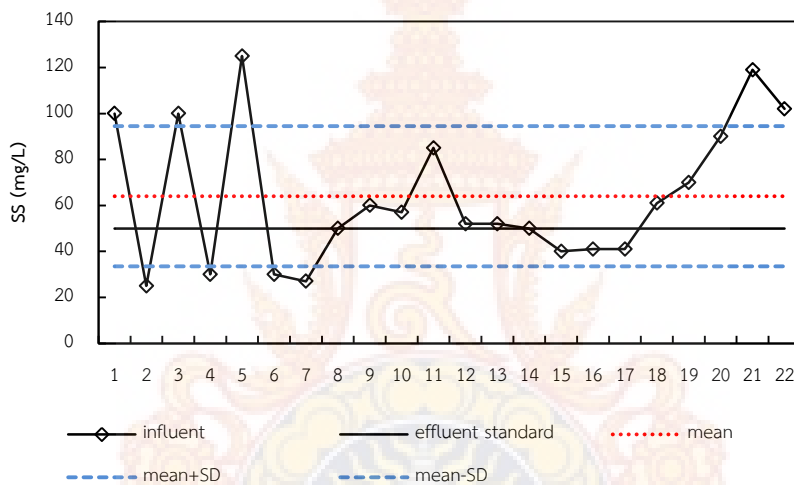
ก่อนทดลอง นำน้ำเสียจากบ่อเก็บน้ำเสียที่ได้รับการบำบัดโดยผ่านบึงประดิษฐ์ของระบบเดิมมาแล้ว เพื่อทำให้พืชปรับตัวกับน้ำเสียได้ เป็นเวลา 5 วัน โดยป้อนน้ำเสียเข้าสู่ระบบในแต่ละบ่อที่อัตราการไหล ประมาณ 21 – 23 ลูกบาศก์เซนติเมตรต่อนาที หลังจากปรับสภาพของระบบบ่อบำบัดน้ำเสียจำลองครบ 5 วัน เริ่มทดลองโดยเปลี่ยนน้ำเสียที่ป้อนเข้าสู่ระบบจากน้ำเสียที่ได้รับการบำบัดโดยผ่านบึงประดิษฐ์ เป็นน้ำเสียที่เหลืออกจากบ่อไร้อากาศ ควบคุมอัตราการไหลประมาณ 21 – 23 ลูกบาศก์เซนติเมตรต่อนาที และเก็บน้ำตัวอย่างทุกสัปดาห์ โดยเก็บบริเวณจุดทางน้ำออกของแต่ละบ่อบำบัด

### 4.5.1 สมบัติของน้ำเสียก่อนเข้าระบบบำบัดน้ำเสียจำลอง

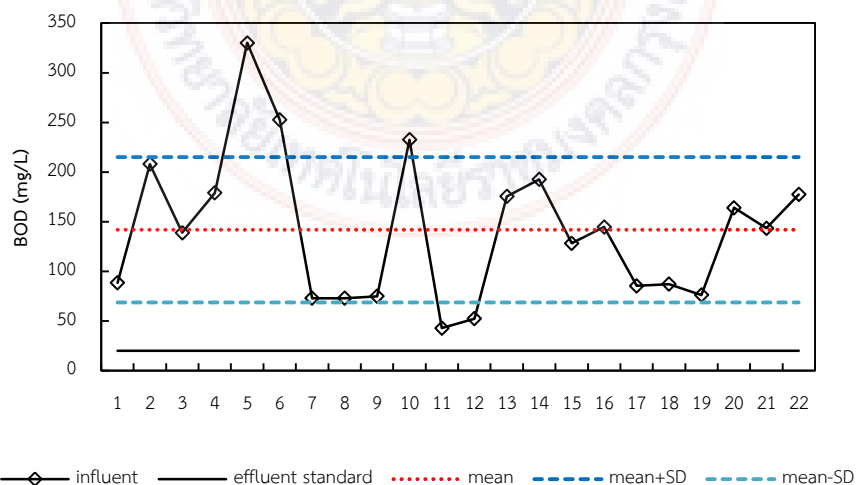
ศึกษาสมบัติของน้ำเสียที่เหลืออกจากบ่อไร้อากาศ เพื่อนำมาบำบัดด้วยระบบบำบัดน้ำเสียจำลอง โดยเก็บตัวอย่างน้ำเสียทุกสัปดาห์ นำมาวิเคราะห์ ค่าพีเอช ของแข็งแขวนลอย ปีโอดี ซีโอดี ออร์โรฟอสเฟต แอมโมเนียมไนโตรเจน และไนโตรตอไนโตรเจน ได้ผลแสดงในตารางผนวกที่ ข1-ข7 และรูปที่ 4.5.2-4.5.8



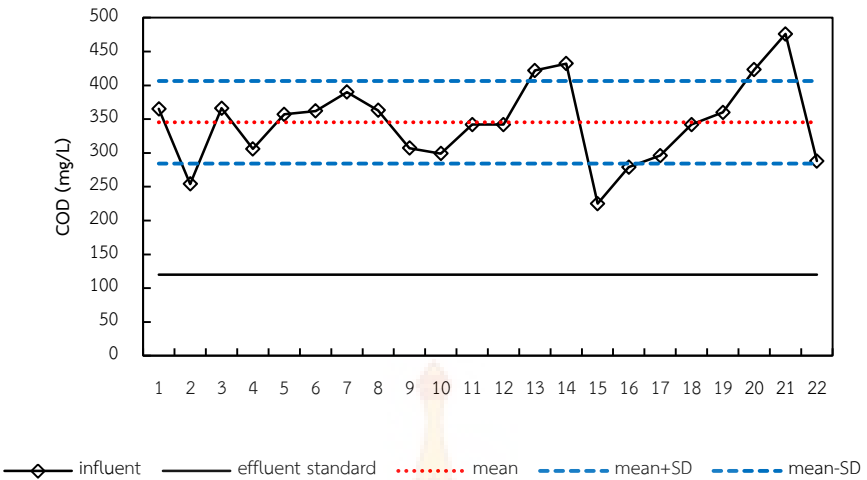
รูปที่ 4.5.2 พีเอชของน้ำเสียก่อนเข้าระบบบำบัด



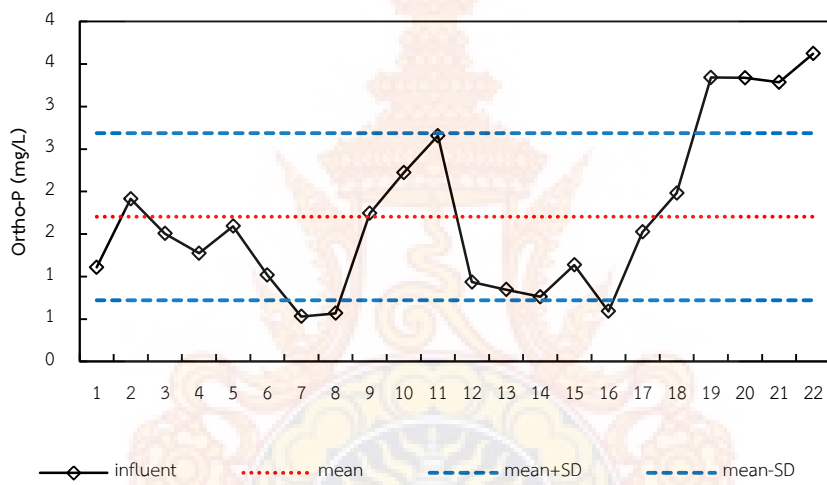
รูปที่ 4.5.3 ปริมาณของแข็งแχวนลอยของน้ำเสียก่อนเข้าระบบบำบัด



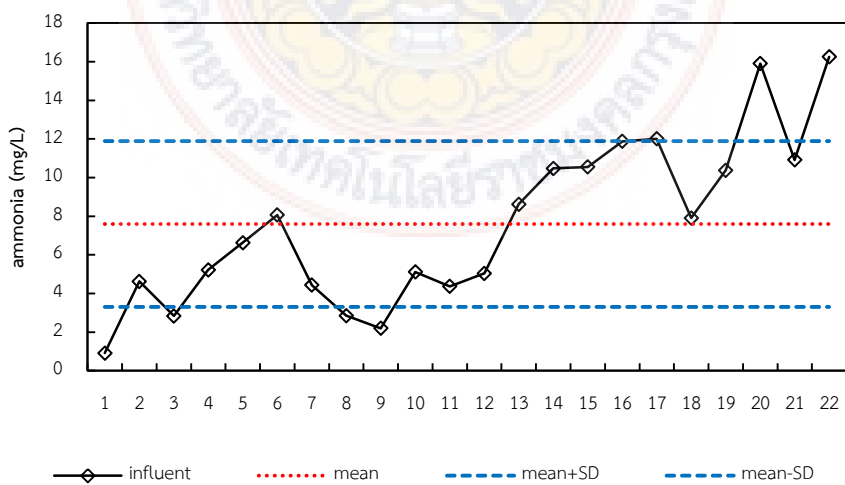
รูปที่ 4.5.4 ค่าบีโอดีของน้ำเสียก่อนเข้าระบบบำบัด



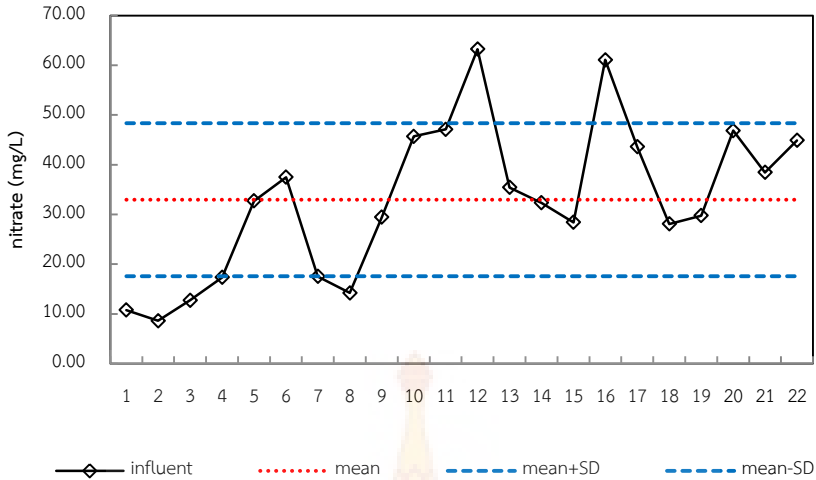
รูปที่ 4.5.5 ค่าซีโอดีของน้ำเสียก่อนเข้าระบบบำบัด



รูปที่ 4.5.6 ปริมาณออร์โพรอสเฟตของน้ำเสียก่อนเข้าระบบบำบัด



รูปที่ 4.5.7 ปริมาณแอมโมเนียมในต่อจ恩ของน้ำเสียก่อนเข้าระบบบำบัด

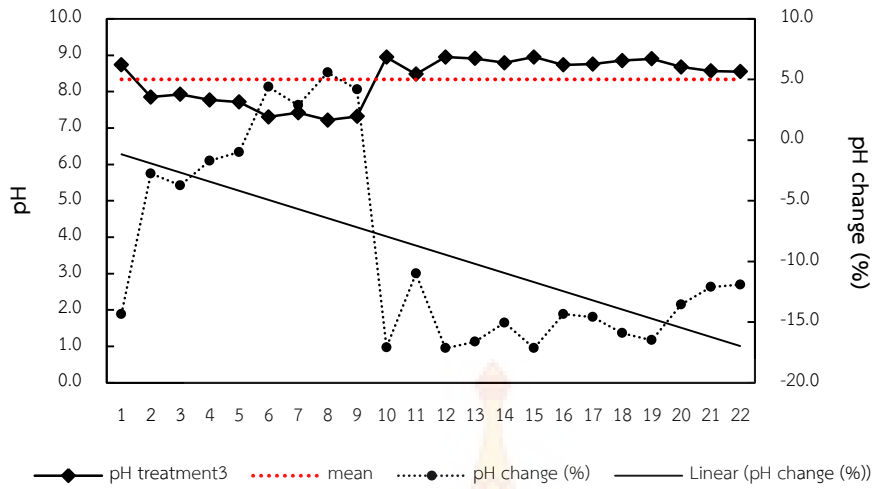


รูปที่ 4.5.8 ปริมาณไนโตรเจนของน้ำเสียก่อนเข้าระบบบำบัด

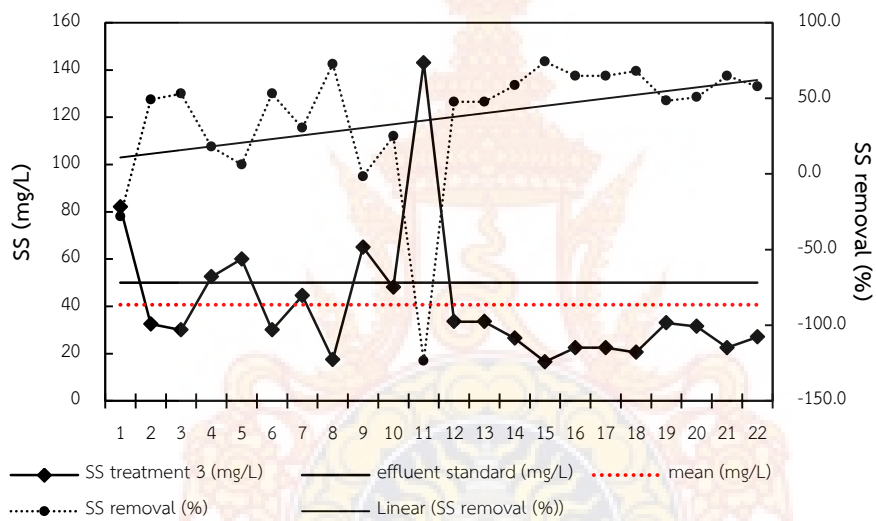
จากการวิเคราะห์ตัวอย่างน้ำเสียก่อนเข้าระบบบำบัดพบว่า น้ำเสียมีค่าพีเอชเฉลี่ย  $7.64 \pm 0.18$  ปริมาณของแข็งแขวนลอย  $63.95 \pm 30.49$  มิลลิกรัมต่อลิตร (ค่ามาตรฐาน  $< 50$  มิลลิกรัมต่อลิตร) ค่าบีโอดี  $141.87 \pm 73.13$  มิลลิกรัมต่อลิตร (ค่ามาตรฐาน  $< 20$  มิลลิกรัมต่อลิตร) ค่าซีโอดี  $345 \pm 61.09$  มิลลิกรัมต่อลิตร (ค่ามาตรฐาน  $< 120$  มิลลิกรัมต่อลิตร) ปริมาณօร์โฟอสเฟต  $1.73 \pm 0.98$  มิลลิกรัมต่อลิตร ปริมาณแอมโมเนียในไนโตรเจน  $7.60 \pm 4.29$  มิลลิกรัมต่อลิตร และปริมาณไนโตรเจน  $32.99 \pm 15.38$  มิลลิกรัมต่อลิตร แสดงว่าสมบัติของน้ำเสียที่ออกจากระบบบำบัดได้ร้อากาศ ยังไม่ได้ตามมาตรฐานน้ำทึ้งอุตสาหกรรม ตามประกาศกระทรวงอุตสาหกรรม ฉบับที่ 2 (พ.ศ. 2539) ออกตามพระราชบัญญัติโรงงาน พศ. 2535 โดยเฉพาะปริมาณของแข็งแขวนลอย ค่าบีโอดีและค่าซีโอดี (ราชกิจจานุเบกษา, 2553)

#### 4.5.2 ประสิทธิภาพของระบบบำบัดน้ำเสียด้วยระบบบรรจงพืช และพืชลอยน้ำร่วมกับเครื่องเติมอากาศ

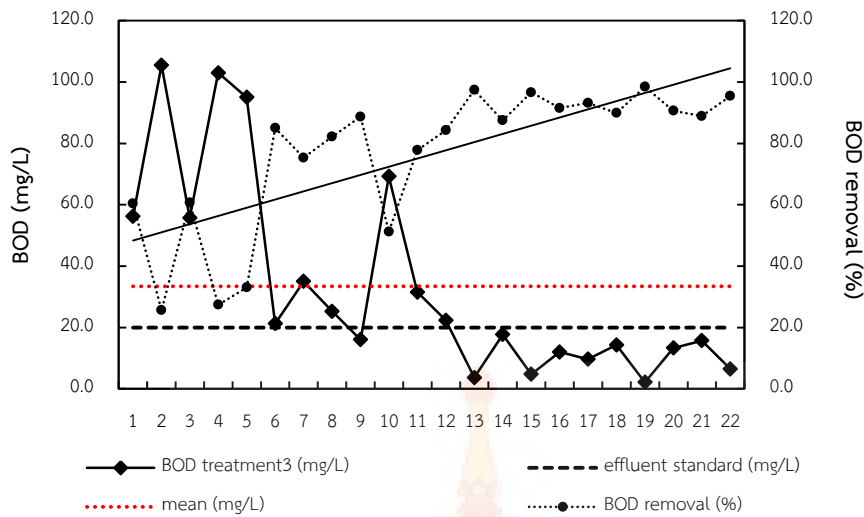
ศึกษาสมบัติของน้ำทึ้งที่ผ่านการบำบัดด้วยระบบบรรจงพืช และพืชลอยน้ำร่วมกับการเติมอากาศ โดยใช้เครื่องเติมอากาศ 2 เครื่อง (เครื่องเติมอากาศ 1 เครื่องให้ออกซิเจนได้  $2.10$  กรัมออกซิเจนต่อชั่วโมง) วางเครื่องเติมอากาศชิดริมด้านในบ่อบำบัด มีระบบพืชลอยน้ำ (ต้นกลอกกลม) ขนาด  $\frac{1}{2}$  ของพื้นที่บ่อเติมอากาศ และมีระบบดูดน้ำเสียจากบ่อเติมอากาศเข้าสู่ร่างพืช และน้ำที่เหลือผ่านร่างพืช (ต้นคลาน้ำ) และจะไหลกลับสู่ระบบเติมอากาศในทิศตรงข้าม เปิดเครื่องเติมอากาศ ตลอด  $24$  ชั่วโมง ป้อนน้ำทึ้งเข้าสู่ระบบตลอดเวลา ควบคุมอัตราการไหลของน้ำที่  $1.3$  ลิตรต่อชั่วโมง เก็บตัวอย่างน้ำทึ้งทุกอาทิตย์ เป็นเวลา  $22$  สัปดาห์ นำตัวอย่างน้ำมาวิเคราะห์ ค่าพีเอช ของแข็งแขวนลอย บีโอดี ซีโอดี ออร์โฟอสเฟต แอมโมเนียในไนโตรเจน และไนโตรเจนในไนโตรเจน ได้ผลแสดงในตารางผนวกที่ ข1-ข7 และรูปที่ 4.5.9-4.5.15



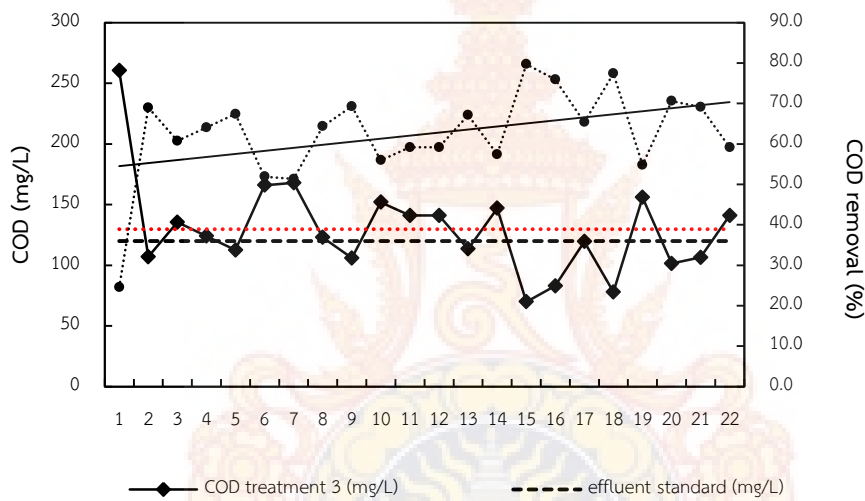
รูปที่ 4.5.9 พีอุซของน้ำที่ผ่านการบำบัดด้วยระบบบรรจงพืช และพีชลอยน้ำร่วมกับการเติมอากาศ



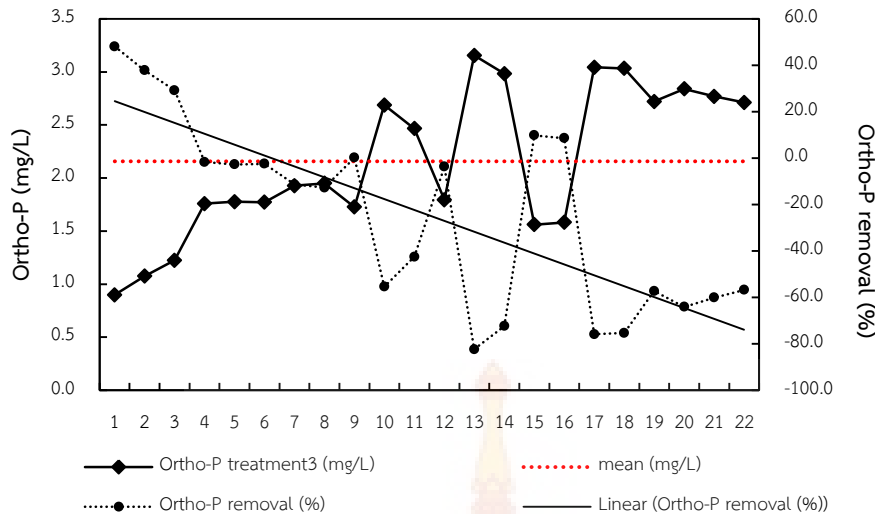
รูปที่ 4.5.10 ปริมาณของแข็งและพีชลอยของน้ำที่ผ่านการบำบัดด้วยระบบบรรจงพืช และพีชลอยน้ำร่วมกับการเติมอากาศ



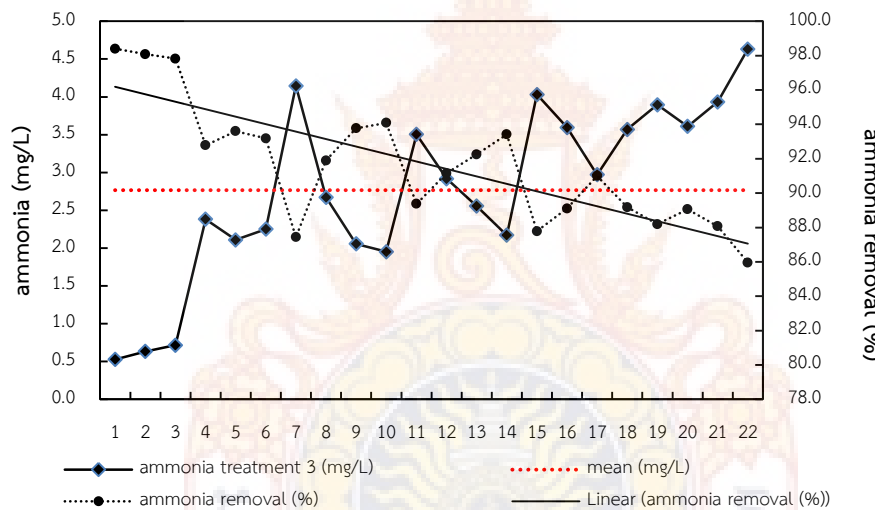
รูปที่ 4.5.11 ค่าปีโอดีของน้ำที่ผ่านการบำบัดด้วยระบบบรรจงพืช และพืชลอยน้ำร่วมกับการเติมอากาศ



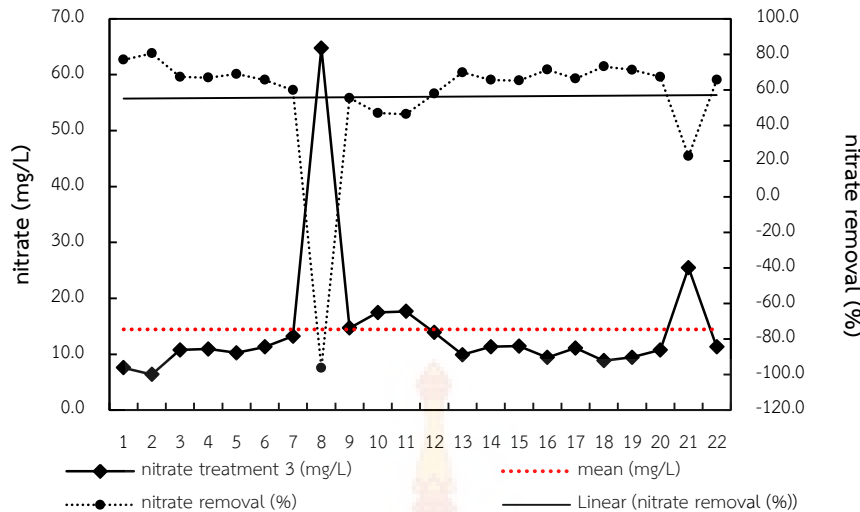
รูปที่ 4.5.12 ค่าซีโอดีของน้ำที่ผ่านการบำบัดด้วยระบบบรรจงพืช และพืชลอยน้ำร่วมกับการเติมอากาศ



รูปที่ 4.5.13 ปริมาณออร์โพรอสเพตของน้ำที่ผ่านการบำบัดด้วยระบบราชพีช และพืชคลอยน้ำร่วมกับการเติมอากาศ



รูปที่ 4.5.14 ปริมาณแอมโมเนียในไตรเจนของน้ำที่ผ่านการบำบัดด้วยระบบราชพีช และพืชคลอยน้ำร่วมกับการเติมอากาศ



รูปที่ 4.5.15 ปริมาณไนโตรเจนของน้ำที่ผ่านการบำบัดด้วยระบบบางพืช และพืชลอยน้ำร่วมกับการเติมอากาศ

ผลการทดลองจากรูปที่ 4.5.9 – 4.5.15 พบว่าการบำบัดน้ำเสียจากโรงงานฟอกย้อมและโรงงานกระดาษสาของพื้นที่โครงการพัฒนาดอยตุงฯ ด้วยระบบบางพืช และพืชลอยน้ำร่วมกับระบบเติมอากาศ ระบบใช้เวลาปรับตัวประมาณสามเดือน และหลังจากสามเดือน พบร้าน้ำทึบที่ออกจากระบบบำบัด ค่าพีเอช และออร์โพรอสเฟต และ มีแนวโน้มสูงขึ้น ส่วนค่าบีโอดี ซีโอดี แอมโมเนียในไตรเจน และไนโตรเจนมีแนวโน้มลดลง

#### น้ำที่ผ่านการบำบัดแล้วมีสมบัติดังนี้

พีเอชของน้ำหลังบำบัดมีค่าสูงขึ้น มีค่าเฉลี่ยพีเอชในช่วงสามเดือนแรกเท่ากับ  $8.04 \pm 0.67$  (ประสิทธิภาพการเปลี่ยนแปลงพีเอชร้อยละ  $-5.26 \pm 8.81$ ) และหลังจากเดือนที่สามค่าพีเอชของน้ำมีแนวโน้มสูงขึ้นมากกว่าในช่วงสามเดือนแรก โดยมีค่าเฉลี่ยช่วงสามเดือนหลังเท่ากับ  $8.75 \pm 0.14$  (ประสิทธิภาพการเปลี่ยนแปลงพีเอชร้อยละ  $-14.57 \pm 1.82$ )

ปริมาณของแข็งแขวนลอยในน้ำหลังบำบัดมีค่าลดลง มีค่าเฉลี่ยสามเดือนแรกเท่ากับ  $51.69 \pm 32.54$  มิลลิกรัมต่อลิตร (ค่ามาตรฐานน้ำทึบ < 50 มิลลิกรัมต่อลิตร) (ประสิทธิภาพการลดปริมาณของแข็งแขวนลอยร้อยละ  $19.17 \pm 50.89$ ) และหลังจากเดือนที่สาม ปริมาณของแข็งแขวนลอย ลดลงไปอีกจนอยู่ในเกณฑ์ค่ามาตรฐานน้ำทึบอุตสาหกรรม มีค่าเฉลี่ยช่วงสามเดือนหลังเท่ากับ  $24.72 \pm 5.28$  มิลลิกรัมต่อลิตร (ประสิทธิภาพการลดปริมาณของแข็งแขวนลอยร้อยละ  $61.34 \pm 8.26$ )

ค่าบีโอดีของน้ำหลังบำบัดมีค่าลดลง มีค่าเฉลี่ยสามเดือนแรกเท่ากับ  $49.21 \pm 34.67$  มิลลิกรัมต่อลิตร (ค่ามาตรฐานน้ำทึบ < 20 มิลลิกรัมต่อลิตร) (ประสิทธิภาพการลดค่าบีโอดี ร้อยละ  $65.31 \pm 24.44$ ) และหลังจากเดือนที่สาม ค่าบีโอดีลดลงไปอีกจนอยู่ในเกณฑ์ค่ามาตรฐานน้ำทึบอุตสาหกรรม มีค่าเฉลี่ยช่วงสามเดือนหลังเท่ากับ  $10.67 \pm 5.28$  มิลลิกรัมต่อลิตร (ประสิทธิภาพการลดค่าบีโอดี ร้อยละ  $92.48 \pm 3.72$ )

ค่าซีโอดีของน้ำหลังบำบัดมีค่าลดลง ค่าเฉลี่ยสามเดือนแรกเท่ากับ  $142.31 \pm 41.16$  มิลลิกรัมต่อลิตร (ค่ามาตรฐานน้ำทึ้ง < 120 มิลลิกรัมต่อลิตร) (ประสิทธิภาพการลดค่าซีโอดี ร้อยละ  $58.78 \pm 11.92$ ) และหลังจากเดือนที่สาม ค่าซีโอดีลดลงไปอีก จนอยู่ในเกณฑ์ค่ามาตรฐานน้ำทึ้งอุตสาหกรรม โดยมีค่าเฉลี่ยช่วงสามเดือนหลังเท่ากับ  $111.39 \pm 31.54$  มิลลิกรัมต่อลิตร (ประสิทธิภาพการลดค่าซีโอดี ร้อยละ  $67.71 \pm 9.14$ )

ปริมาณօร์โฟอสเฟตของน้ำหลังบำบัดมีเพิ่มขึ้น โดยมีค่าเฉลี่ยสามเดือนแรกเท่ากับ  $1.86 \pm 0.63$  มิลลิกรัมต่อลิตร (ประสิทธิภาพการลดปริมาณօร์โฟอสเฟต ร้อยละ  $-7.66 \pm 36.29$ ) และค่าเฉลี่ยช่วงสามเดือนหลังเท่ากับ  $2.58 \pm 0.58$  มิลลิกรัมต่อลิตร (ประสิทธิภาพการลดปริมาณօร์โฟอสเฟต ร้อยละ  $-49.27 \pm 33.93$ )

ปริมาณแอมโมเนียมในไทรเจนของน้ำหลังบำบัดมีค่าลดลง ค่าเฉลี่ยสามเดือนแรกเท่ากับ  $2.19 \pm 1.08$  มิลลิกรัมต่อลิตร (ประสิทธิภาพการลดปริมาณแอมโมเนียมในไทรเจน ร้อยละ  $93.37 \pm 3.26$ ) และหลังจากเดือนที่สามของการเดินระบบบำบัด ปริมาณแอมโมเนียมในไทรเจนของน้ำหลังการบำบัดมีแนวโน้มสูงขึ้น มีค่าเฉลี่ยช่วงสามเดือนหลังเท่ากับ  $3.60 \pm 0.69$  มิลลิกรัมต่อลิตร (ประสิทธิภาพการลดปริมาณแอมโมเนียมในไทรเจน ร้อยละ  $52.62 \pm 9.17$ )

ปริมาณไนเตรตในไทรเจนลดลง โดยมีค่าเฉลี่ยสามเดือนแรกเท่ากับ  $16.07 \pm 15.01$  มิลลิกรัมต่อลิตร (ประสิทธิภาพการลดปริมาณไนเตรตในไทรเจน ร้อยละ  $51.29 \pm 45.51$ ) และค่าเฉลี่ยช่วงสามเดือนหลังเท่ากับ  $12.14 \pm 5.09$  มิลลิกรัมต่อลิตร (ประสิทธิภาพการลดปริมาณไนเตรตในไทรเจน ร้อยละ  $63.21 \pm 15.45$ )

การบำบัดน้ำเสียในระบบบึงประดิษฐ์แบบผสมผสานระหว่างพืชกรองน้ำ พืชลอยน้ำ และการเติมอากาศ ต้องอาศัยกระบวนการต่างๆ รวมกันทั้งฟิสิกส์ เคมี และชีวภาพ ซึ่งกระบวนการต่างๆ เหล่านี้อาจเกิดอย่างเป็นอิสระต่อกัน หรือมีผลต่อเนื่องกันก็ได้ กลไกที่ใช้ในการกำจัดสารมลพิษต่างๆ ในระบบดังกล่าวจำแนกได้ดังนี้

การกำจัดของแข็งที่ตกตะกอนได้ และของแข็งแขวนลอย ของแข็งที่ตกตะกอนได้และของแข็งแขวนลอยจะถูกกำจัดออกภายในบึงประดิษฐ์โดยการตกตะกอนและการกรอง โดยอาศัยกระบวนการทางกายภาพเพียงอย่างเดียว นี่จะสามารถกำจัดองค์ประกอบส่วนใหญ่ของสารมลพิษในน้ำเสีย เช่น บีโอดี ราตุอาหาร และเชื้อโรค

การกำจัดสารอินทรีย์ สารอินทรีย์ที่ตกตะกอนได้จะจมอยู่กับของบึง ย่อยสลายแล้วซึ่งลงดิน ส่วนสารอินทรีย์ที่ละลายได้จะถูกกำจัดโดยจุลินทรีย์ในสภาพที่มีออกซิเจน โดยที่จะเกาติดอยู่กับพืช และผิวของชั้นตะกอน อย่างไรก็ตามในบางกรณีการย่อยสลายในสภาพไร้ออกซิเจนก็มีความสำคัญของออกซิเจนที่จำเป็นสำหรับกระบวนการที่มีออกซิเจนได้มาโดยตรงจากบรรยากาศ โดยการแพร่ผ่านชั้นตะกอน หรือรอยต่อระหว่างผิวน้ำและบรรยากาศ หรือได้จากการสัมเคราะห์แสงของพืชในน้ำและอาจได้มาจากการออกซิเจนที่ร่วงไหลงอกมาจากบริเวณราก ส่วนการย่อยสลายในสภาพไร้อากาศจะเกิดขึ้นในช่วงที่ออกซิเจนขาดแคลน และเกิดในชั้นตะกอนที่ไม่มีออกซิเจน

การกำจัดในโตรเจน การกำจัดขึ้นอยู่กับรูปแบบของในโตรเจนที่เข้าสู่ระบบ กลไกการกำจัดในโตรเจนจากน้ำเสียในระบบพื้นที่ชั่มน้ำมีหลายกลไก คือ การนำไปใช้โดยพืช การระเหยในรูปของแอมโมเนียมกระบวนการในทริฟิเคชัน (Nitrification) และดีไนทริฟิเคชัน (Denitrification) ซึ่งนับเป็นกลไกหลักในการกำจัดในโตรเจน แอมโมเนียมจะถูกออกซิไดซ์เป็นไนเตรต โดยในทริไฟอิงแบคทีเรีย (Nitrifying Bacteria) ในบริเวณที่มีออกซิเจน และในทรัตจะถูกเปลี่ยนเป็นแก๊สในโตรเจนโดย ดีไนทริไฟอิงแบคทีเรีย (Denitrifying Bacteria) ในสภาพว่าเร็วออกซิเจน (Reddy, Patrick Jr, & Lindau, 1989; Vymazal, 2010)

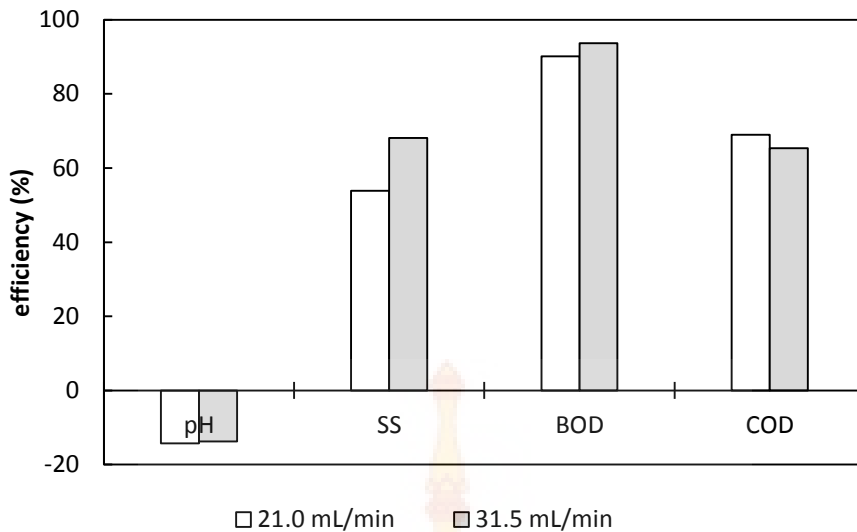
การกำจัดฟอสฟอรัส กลไกหลัก คือ ปฏิกิริยาการเกิดสารประกอบเชิงซ้อน และปฏิกิริยาดูดซึบโดยตะกอน และปฏิกิริยาตกลงตะกอนผลึกกับอลูมิnum เหล็ก แคลเซียม และแร่ธาตุในชั้นทราย ส่วนกลไกรอง คือ การตกตะกอนและการดูดซึบโดยพืชผ่านทางราก และนำไปใช้ในการสร้างเซลล์ เมื่อพืชตายและย่อยสลายจะ decay ฟอสฟอรัสออกมานำส่วน และบางส่วนจะจมอยู่กับชาพืช (Vymazal, 2010) ระยะเวลาในการเดินระบบเพิ่มขึ้น ปริมาณของฟอสฟอรัสที่ถูกกำจัดลดลง ทั้งนี้เนื่องจากกลไกในการบำบัดฟอสฟอรัสที่สำคัญคือ การดูดติด ดังนั้นมีระบบวนไปเรื่อยๆ ความสามารถในการดูดติดของชั้นกรองจะลดลง หรือพื้นที่ผิวในการดูดติดลดลง

#### 4.5.3 เปรียบเทียบผลของการเปลี่ยนแปลงอัตราการไหลต่อประสิทธิภาพของระบบบำบัด

ศึกษาสมบัติของน้ำทึ้งที่ผ่านการบำบัดด้วยระบบบำบัดทั้งสี่แบบ โดยเปลี่ยนอัตราการไหลของน้ำจาก 21.0 มิลลิลิตรต่อนาที เป็น 31.5 มิลลิลิตรต่อนาที เก็บตัวอย่างน้ำทึ้ง เป็นเวลา 4 สัปดาห์ นำตัวอย่างน้ำมาวิเคราะห์ ค่าพีเอช ของแข็งแขวนลอย บีโอดี ซีโอดี ออร์โพรอสเฟต แอมโมเนียมในโตรเจน และในทรัตในโตรเจน และนำมาคำนวณประสิทธิภาพในการบำบัดของระบบตามสมการ ดังนี้

$$\text{ประสิทธิภาพในการบำบัด} = [(ค่าเฉลี่ยก่อนบำบัด - ค่าเฉลี่ยหลังบำบัด)/ค่าเฉลี่ยก่อนบำบัด] \times 100$$

นำค่าเฉลี่ยของประสิทธิภาพการบำบัด มาวิเคราะห์ t test ที่ระดับนัยสำคัญ 0.05 เพื่อทดสอบว่าระบบบำบัดที่อัตราการไหลต่างกันแตกต่างกัน มีผลต่อค่าเฉลี่ยประสิทธิภาพการปรับสภาพพีเอช ประสิทธิภาพกำจัดปริมาณของแข็งแขวนลอย บีโอดี ซีโอดี ออร์โพรอสเฟต แอมโมเนียมในโตรเจน และในทรัตในโตรเจนหรือไม่ ได้ผลทดสอบแสดงในตารางผนวกที่ ข8 และรูปที่ 4.5.16

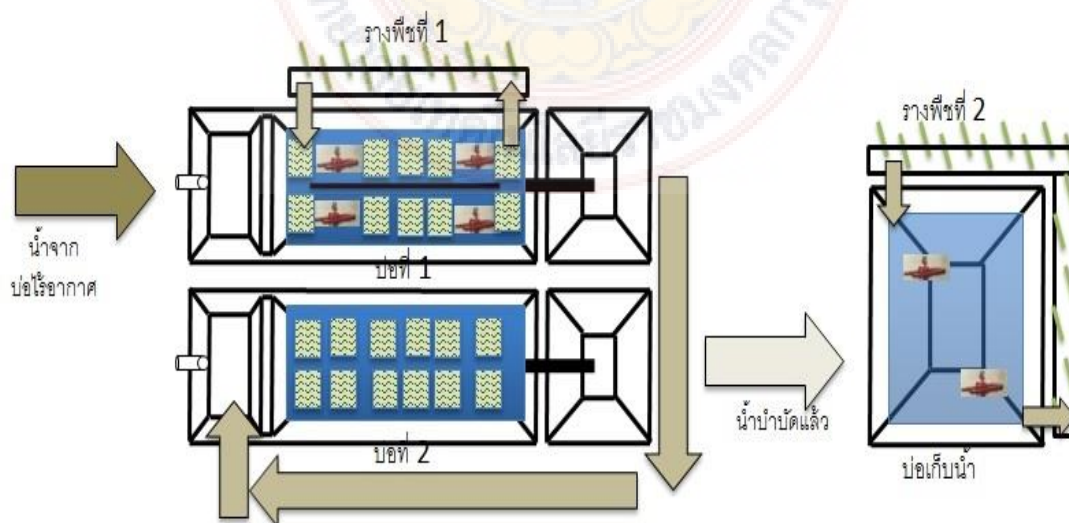


รูปที่ 4.5.16 การเปลี่ยนแปลงอัตราการไหลต่อประสิทธิภาพของระบบบำบัด

ผลการทดสอบด้วยค่าสถิติ t-test ที่ระดับนัยสำคัญ 0.05 พบว่าอัตราการไหลของน้ำที่เพิ่มขึ้น ไม่มีผลต่อประสิทธิภาพการบำบัดน้ำเสีย ในทุกพารามิเตอร์ ( $P>0.05$ ) จากผลการทดลองสรุปได้ว่าระบบบำบัดน้ำเสียแบบผสมผสานระหว่างร่างพืช พืชloyน้ำร่วมกับระบบเติมอากาศ สามารถทำงานได้อย่างมีประสิทธิภาพ และเมื่อเพิ่มอัตราการไหลของน้ำ หรือเพิ่มความเข้มข้นของน้ำเสียให้กับระบบบำบัด ระบบยังคงสามารถทำงานได้อย่างมีประสิทธิภาพ

#### 4.6 การปรับปรุงระบบบำบัดน้ำเสียจริง

จากการทดลองในระดับ pilot plant พบว่าระบบที่ได้ออกแบบไว้สามารถบำบัดน้ำเสียได้อย่างมีประสิทธิภาพ และน้ำหลังการบำบัดมีคุณภาพอยู่ในมาตรฐานน้ำทิ้งอุตสาหกรรม แม้ว่าการเพิ่มอัตราไหลของน้ำ ระบบก็ยังทำงานได้อย่างมีประสิทธิภาพ จึงปรับปรุงระบบบำบัดน้ำเสียขนาด 26 เมตร  $\times$  6 เมตร โดยมีขั้นตอนการดำเนินการ ดังรูปที่ 4.6.1



รูปที่ 4.6.1 ขั้นตอนการปรับปรุงระบบ

(1) นำดิน หิน ทราย จากบ่อที่ 1 ออก แล้วล้างทำความสะอาด (รูปที่ 4.6.2 - 4.6.3) พร้อมกับสร้างแรงดันที่ 1 และ 2 (รูปที่ 4.6.4) ติดตั้งระบบไฟฟ้า 3 เฟส ในขณะปรับปรุงระบบในบ่อที่ 1 จะใช้บึงประดิษฐ์ (บ่อที่ 2) บำบัดน้ำเสียชั่วคราวก่อน

(2) หลังจากล้างทำความสะอาดบ่อที่ 1 จะปล่อยน้ำเข้า แล้วติดตั้งผนังกันน้ำเติมอากาศ (รูปที่ 4.6.5) ติดตั้งพีชloyin น้ำ (รูปที่ 4.6.6 - 4.6.8) และเครื่องเติมอากาศ (รูปที่ 4.6.9)

(3) นำดิน หิน ทราย จากบ่อที่ 2 ออก ล้างทำความสะอาด แล้วนำน้ำจากบ่อที่ 1 เข้าบ่อที่ 2

(4) ติดตั้งพีชloyin น้ำในบ่อที่ 2 และติดตั้งเครื่องเติมอากาศในบ่อสุดท้าย (รูปที่ 4.6.10) พร้อมตรวจสอบคุณภาพน้ำเสียหลังจากเดินระบบไปได้ 1 เดือน



รูปที่ 4.6.2 การล้างบ่อ



รูปที่ 4.6.3 การซ่อมแซมบ่อ



รูปที่ 4.6.4 รางพีชขนาด กว้าง x ยาว x สูง เท่ากับ 20 เมตร x 80 เมตร x 50 เมตร



รูปที่ 4.6.5 ผนังกันบ่อเติมอากาศ



รูปที่ 4.6.6 วัสดุพืชลอยน้ำ



รูปที่ 4.6.7 แพกลอยน้ำ



รูปที่ 4.6.8 แพกกลอยน้ำร่วมกับระบบน้ำพืช

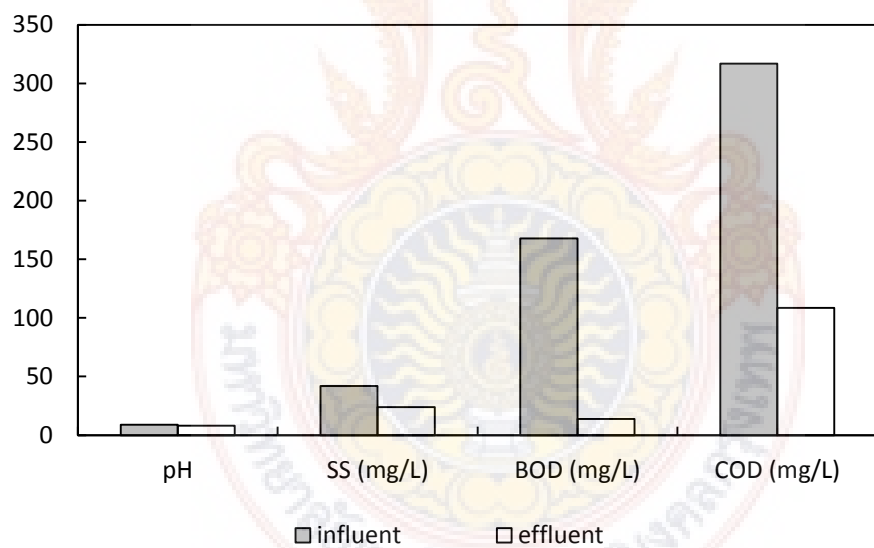


รูปที่ 4.6.9 แพกกลอยน้ำร่วมกับการเติมอากาศ



รูปที่ 4.6.10 เครื่องเติมอากาศในบ่อสุดท้าย

หลังจากปรับปรุงระบบและปล่อยให้ระบบปรับสภาพเป็นเวลา 1 เดือน เก็บตัวอย่างน้ำไว้เคราะห์ได้ผลดังแสดงในตารางผนวกที่ ข และรูปที่ 4.6.11



รูปที่ 4.6.11 สมบัติของน้ำหลังการปรับปรุงระบบบำบัด

หลังจากการปรับปรุงระบบ และปล่อยให้ระบบทำงานเป็นระยะเวลา 1 เดือน เก็บตัวอย่างน้ำมาวิเคราะห์ พบว่า น้ำหลังการบำบัดมีค่าพีเอช 8.11 ปริมาณของแข็งแขวนลอย 14 มิลลิกรัมต่อลิตร ค่าบีโอดี 13.92 มิลลิกรัมต่อลิตร และค่าซีโอดี 108.56 มิลลิกรัมต่อลิตร แสดงว่า น้ำทึ้งที่ออกจากระบบรางพืช และพืชลอยน้ำร่วมกับระบบป้องเติมอากาศ มีสมบัติได้ตามเกณฑ์ มาตรฐานน้ำทึ้งอุตสาหกรรม ตามประกาศกระทรวง อุตสาหกรรม ฉบับที่ 2 (พ.ศ. 2539) ออกตามพระราชบัญญัติโรงงาน พศ. 2535



## บทที่ 5

### สรุปและข้อเสนอแนะ

#### 5.1 สรุป

จากการศึกษาประสิทธิภาพของระบบพืชกรองน้ำ ร่วมกับเครื่องกลเติมอากาศ ในการบำบัดน้ำเสีย จากการพัฒนาดอยตุง (พื้นที่ทรงงาน) อันเนื่องมาจากพระราชดำริ โดยสร้างระบบบำบัดน้ำเสีย จำลอง ออกแบบระบบแบบผสมผสาน การบำบัดน้ำเสียด้วยระบบ barang พืชร่วมกับ พืชลอยน้ำ และระบบเติมอากาศโดยใช้เครื่องเติมอากาศ 2 เครื่อง มีผลการทดลองสรุปได้ดังนี้

การบำบัดน้ำเสียจากโรงฟอกย้อมและโรงงานกระดาษสาด้วยระบบเติมอากาศด้วยระบบบึงประดิษฐ์ แบบผสมผสานระหว่างระบบ barang พืช และพืชลอยน้ำร่วมกับระบบบ่อเติมอากาศขนาดความจุ 140 ลิตร ภายในบ่อเติมอากาศมีระบบพืชลอยน้ำ โดยปลูกต้นกลุ่ม วางระบบไว้บริเวณกลางบ่อเติมอากาศ โดยใช้ เครื่องเติมอากาศที่สามารถถ่ายเทอกซิเจนให้กับน้ำได้  $2.10 \text{ กรัม} / \text{อกซิเจนต่อชั่วโมง}$  จำนวนสองเครื่อง ป้อน น้ำทึบเข้าสู่ระบบตลอดเวลาที่อัตราการไหล 22 ลูกบาศก์เซนติเมตรต่อน้ำที่ น้ำที่ออกจากรบบ่อเติมอากาศส่งเข้า ระบบ barang พืชขนาด กว้างxยาวxสูง เท่ากับ  $16 \times 131 \times 37$  เซนติเมตร บรรจุทรัพย์ที่ความสูง 15 เซนติเมตร ปลูก ต้นคล้าน้ำจำนวน 3 กอต่อร่างพืช อัตราการไหลของน้ำทึบเข้าสู่ระบบ barang พืชประมาณ 100 ลูกบาศก์เซนติเมตร ต่อน้ำที่ พบร่วมความสามารถของแข็งแχวนลอย ค่าปีโอดี ซีโอดี แอมโมเนียในไตรเจน และในเทเรต ในไตรเจน ของน้ำเสียจากโรงฟอกย้อม และโรงงานกระดาษสาของพื้นที่โครงการพัฒนาดอยตุงฯ โดยมี ค่าเฉลี่ยปีโอดีในช่วงในช่วง  $10.67 \pm 5.28$  มิลลิกรัมต่อลิตร (ค่ามาตรฐานน้ำทึบ < 20 มิลลิกรัมต่อลิตร) ส่วน ปริมาณของแข็งแχวนลอยมีค่าเฉลี่ย  $24.72 \pm 5.28$  มิลลิกรัมต่อลิตร (ค่ามาตรฐานน้ำทึบ < 50 มิลลิกรัมต่อลิตร) และค่าซีโอดี มีค่าเฉลี่ย  $111.39 \pm 31.54$  มิลลิกรัมต่อลิตร (ค่ามาตรฐานน้ำทึบ < 120 มิลลิกรัมต่อลิตร) แสดงว่า น้ำทึบที่ออกจากระบบ barang พืช และพืชลอยน้ำร่วมกับระบบบ่อเติมอากาศ น้ำทึบมีสมบัติได้ตามเกณฑ์ มาตรฐาน น้ำทึบอุตสาหกรรม ตามประกาศกระทรวงอุตสาหกรรม ฉบับที่ 2 (พ.ศ. 2539) ออกตามพระราชบัญญัติ โรงงาน พศ. 2535

โดยกลไกในการบำบัดน้ำเสียเป็นกลไกที่มีการทำงานร่วมกันของกระบวนการตกตะกอน การกรอง การระเหย การดูดซับ การดูดซึมโดยพืช และการทำงานของจุลินทรีย์ (Faulwetter et al., 2009; Kadlec & Wallace, n.d.; Vymazal, 2007) การมีระบบเติมอากาศช่วยทำให้ระบบบึงประดิษฐ์มีประสิทธิภาพสูง และ น้ำที่บำบัดแล้วมีคุณภาพได้ตามมาตรฐานน้ำทึบอุตสาหกรรม ทั้งนี้ได้มีรายงานวิจัยหลายรายงานที่สนับสนุนว่า การใช้ระบบเติมอากาศในระบบบึงประดิษฐ์ จะทำให้มีประสิทธิภาพสูงขึ้นมาก (Austin & Nivala, 2009; J. Nivala, Hoos, Cross, Wallace, & Parkin, 2007; Jaime Nivala et al., 2013) โดยในส่วนของพืชลอยน้ำ راكพืชส่วนที่อยู่ใต้ระดับน้ำช่วยเพิ่มพื้นที่ของเมือกแบคทีเรีย และโครงสร้างของลำต้นพืชจะมีท่ออากาศเพื่อ ส่งผ่านออกซิเจนจากใบพืชmany รากพืชทำให้เกิดมีสภาพออกซิเจนบริเวณรอบๆ รากพืช ออกซิเจนที่ปล่อยออก

จากรากพืชอยู่ในช่วง 2.08-12 กรัม/อกซิเจน/(ตารางเมตร-วัน) (Jaime Nivala et al., 2013) อย่างไรก็ตาม ปริมาณออกซิเจนที่ได้จากพืชไม่เพียงพอสำหรับจุลินทรีย์ในการย่อยสลายสารอินทรีย์ (H. Brix, 1994; Ouellet-Plamondon, Chazarenc, Comeau, & Brisson, 2006; Vymazal, 2011) โดยกลไกของระบบระบบน้ำพืชร่วม ระบบพืชลอยน้ำ ร่วมกับการเติมอากาศ ด้วยเครื่องเติมอากาศ 2 เครื่อง สรุปได้ว่า สารอาหารในน้ำเสียจะถูกพืชนำไปใช้ในการเจริญเติบโต และถูกกำจัดออกจากระบบน้ำเมื่อมีการเก็บเกี่ยวพืช ออกจากระบบน้ำ และเมื่อน้ำไหลเข้าสู่ระบบระบบน้ำพืช สารอินทรีย์ส่วนหนึ่งจะตกตะกอนลงสู่ด้านล่าง และถูกย่อยสลายโดยจุลินทรีย์ ส่วนสารอินทรีย์ที่คลายน้ำจะถูกกำจัดโดยการดูดติดผิว และการกรองของพืช โดยจุลินทรีย์ที่เกาะติดกับพืชน้ำ หรือชั้นตัวกลางที่เป็นทรายและจุลินทรีย์ที่เขวนล้อยอยู่ในน้ำ ระบบน้ำจะได้รับออกซิเจนจากการแทรกซึมของอากาศผ่านผิวน้ำ หรือชั้นตัวกลางลงมา ออกซิเจนบางส่วนจะได้จากการสั่งเคราะห์แสงแต่เมื่อปริมาณไม่มากนัก สำหรับสารแขวนลอยจะถูกกรองแล้วจมตัวในช่วงต้นๆ ของระบบน้ำพืช การลดปริมาณไนโตรเจนจะเป็นไปตามกระบวนการไนตริฟิเคชัน (nitrification) และดีไนตริฟิเคชัน (denitrification) ส่วนการลดปริมาณฟอสฟอรัสส่วนใหญ่จะเกิดที่ชั้นทราย

และการปรับปรุงระบบบำบัดน้ำเสียในระบบจริงพบว่าระบบสามารถทำงานได้อย่างมีประสิทธิภาพ โดยน้ำหลังการบำบัดมีค่า pH อยู่ 8.11 ปริมาณของแข็งแขวนลอย 14 มิลลิกรัมต่อลิตร ค่า BOD<sub>5</sub> อยู่ 13.92 มิลลิกรัมต่อลิตร และค่า TSS อยู่ 108.56 มิลลิกรัมต่อลิตร และงวดวันน้ำทึ้งที่ออกจากระบบระบบน้ำพืช และพืชลอยน้ำร่วมกับระบบบำบัด รวมทั้งศึกษาระยะเวลาที่ต้องตัดพืชแต่ละชนิดออกจากระบบน้ำ รวมถึงระยะเวลาที่ต้องดูแลรักษาระบบ

## 5.2 ข้อเสนอแนะ

ในส่วนของระบบน้ำพืชทดลองนำพืชชนิดอื่น เช่น พุทธรักษชา ว่านน้ำ บัวอ่อน เมฆน้ำ เพื่อเพิ่มภูมิทัศน์ให้กับระบบบำบัด รวมทั้งศึกษาระยะเวลาที่ต้องตัดพืชแต่ละชนิดออกจากระบบน้ำ รวมถึงระยะเวลาที่ต้องดูแลรักษาระบบ

## เอกสารอ้างอิง

- Austin, D., & Nivala, J. (2009). Energy requirements for nitrification and biological nitrogen removal in engineered wetlands. *Ecological Engineering*, 35(2), 184–192. doi:10.1016/j.ecoleng.2008.03.002
- Ayaz, S. Ç., Aktaş, Ö., Fındık, N., Akça, L., & Kinacı, C. (2012). Effect of recirculation on nitrogen removal in a hybrid constructed wetland system. *Ecological Engineering*, 40, 1–5. doi:10.1016/j.ecoleng.2011.12.028
- Bulc, T. G., & Ojstrsek, A. (2008). The use of constructed wetland for dye-rich textile wastewater treatment. *Journal of Hazardous Materials*, 155(1-2), 76–82. doi:10.1016/j.jhazmat.2007.11.068
- Chiu, K. K., Ye, Z. H., & Wong, M. H. (2005). Enhanced uptake of As, Zn, and Cu by *Vetiveria zizanioides* and *Zea mays* using chelating agents. *Chemosphere*, 60(10), 1365–1375. doi:10.1016/j.chemosphere.2005.02.035
- Cincinnati, O. (n.d.). NEPIS Document display. Retrieved May 27, 2014, from <a href="http://nepis.epa.gov/Exe/ZyNET.exe/30004TBD.TXT?ZyActionD=ZyDocument&amp;Client=EPA&amp;Index=1995+Thru+1999&amp;Docs=&amp;Query=&amp;Time=&amp;EndTime=&amp;SearchMethod=1&amp;TocRestrict=n&amp;Toc=&amp;TocEntry=&amp;QField=&amp;QFieldYear=&amp;QFieldMonth=&amp;QFieldDay=&amp;IntQFieldOp=0&amp;ExtQFieldOp=0&amp;XmlQuery=&amp;File=D%3A%5Czyfiles%5CIndex%20Data%5C95thru99%5CTxt%5C00000016%5C30004TBD.txt&amp;User=ANONYMOUS&amp;Password=anonymous&amp;SortMethod=h%7C-&amp;MaximumDocuments=1&amp;FuzzyDegree=0&amp;ImageQuality=r75g8/r75g8/x150y150g16/i425&amp;Display=p%7Cf&amp;DefSeekPage=x&amp;SearchBack=ZyActionL&amp;Back=ZyActionS&amp;BackDesc=Results%20page&amp;MaximumPages=1&amp;ZyEntry=1&amp;SeekPage=x&amp;ZyPURL</a>
- Cooper, P. F., Job, G. D., Green, M. B., & Shutes, R. B. E. (1996). *Reed beds and constructed wetlands for wastewater treatment*. Swindon: WRc Publications.
- Faulwetter, J. L., Gagnon, V., Sundberg, C., Chazarenc, F., Burr, M. D., Brisson, J., ... Stein, O. R. (2009). Microbial processes influencing performance of treatment wetlands: A review. *Ecological Engineering*, 35(6), 987–1004. doi:10.1016/j.ecoleng.2008.12.030
- H. Brix. (1994). Functions of macrophytes in constructed wetlands. *Water Sci. Technol*, 29(4), 71–78.
- Hammer, D. A. (1989). *Constructed Wetlands for Wastewater Treatment: Municipal, Industrial and Agricultural*. CRC Press.

- Kadlec, R. H., & Wallace, S. . (n.d.). *Treatment wetlands*. (2 nd ed.). Boca Raton, FL.,USA.: CRC Press. Retrieved from [http://www.firelandstributaries.net/pdfs/Local%20workgroup/Treatment\\_Wetlands.pdf](http://www.firelandstributaries.net/pdfs/Local%20workgroup/Treatment_Wetlands.pdf)
- Kadlec, R.H., & Knight R.L. (1996). *Treatment wetlands*. Florida.: CRC Press. Boca Raton.
- Kong, X., Lin, W., Wang, B., & Luo, F. (2003). Study on vetiver's purification from pig farm. (pp. 181–185). Presented at the the third international conference on vetiver and exhibition, Guangzhou, P.R., China. Retrieved from [http://www.betuco.be/coverfodder/Vetiver%20Grass%20CHN\\_pigwaste.pdf](http://www.betuco.be/coverfodder/Vetiver%20Grass%20CHN_pigwaste.pdf)
- Nivala, J., Hoos, M. B., Cross, C., Wallace, S., & Parkin, G. (2007). Treatment of landfill leachate using an aerated, horizontal subsurface-flow constructed wetland. *Science of The Total Environment*, 380(1–3), 19–27. doi:10.1016/j.scitotenv.2006.12.030
- Nivala, J., Wallace, S., Headley, T., Kassa, K., Brix, H., van Afferden, M., & Müller, R. (2013). Oxygen transfer and consumption in subsurface flow treatment wetlands. *Ecological Engineering*, 61, Part B, 544–554. doi:10.1016/j.ecoleng.2012.08.028
- Ouellet-Plamondon, C., Chazarenc, F., Comeau, Y., & Brisson, J. (2006). Artificial aeration to increase pollutant removal efficiency of constructed wetlands in cold climate. *Ecological Engineering*, 27(3), 258–264. doi:10.1016/j.ecoleng.2006.03.006
- Paul Truong, & Barbara Hart. (n.d.). *VETIVER SYSTEM FOR WASTEWATER TREATMENT* (Pacific Rim Vetiver Network Technical Bulletin No. 2001/2). Retrieved from [http://www.vetiver.org/PRVN\\_wastewater\\_bul.pdf](http://www.vetiver.org/PRVN_wastewater_bul.pdf)
- Reddy, K. R., Patrick Jr, W. H., & Lindau, C. W. (1989). Nitrification-denitrification at the plant root-sediment interface in wetlands. *Limnology and Oceanography*, 34(6), 1004–1013.
- U.S. EPA. (1988). *Design Manual-Constructed Wetlands and Aquatic Plants Systems for Municipal Wastewater Treatment*. (No. EPA/625/1-88/022). United States Environmental Protection Agency, Cincinnati, Ohio.
- US Army Corps of Engineering. (1993). *Selection and acquisition of wetland plant species for wetland management*. (No. project. VN-EM-2.1). Vicksburg: US Army Corps of Engineering.
- Vymazal, J. (2002). The use of sub-surface constructed wetlands for wastewater treatment in the Czech Republic: 10 years experience. *Ecological Engineering*, 18(5), 633–646. doi:10.1016/S0925-8574(02)00025-3

- Vymazal, J. (2007). Removal of nutrients in various types of constructed wetlands. *Science of The Total Environment*, 380(1–3), 48–65. doi:10.1016/j.scitotenv.2006.09.014
- Vymazal, J. (2010). Constructed Wetlands for Wastewater Treatment: Five Decades of Experience. *Environmental Science & Technology*, 45(1), 61–69. doi:10.1021/es101403q
- Vymazal, J. (2011). Plants used in constructed wetlands with horizontal subsurface flow: a review. *Hydrobiologia*, 674(1), 133–156. doi:10.1007/s10750-011-0738-9
- Waterwatch Adelaide & Mount Lofty Ranges - Growth Forms. (n.d.). Retrieved July 15, 2014, from <http://waterwatchadelaide.net.au/index.php?page=growth-forms>
- Xindi Liao, Shiming Luo, Yinbao Wu, & Zhisan Wang. (2003). Studies on the Abilities of *Vetiveria zizanioides* and *Cyperus alternifolius* for Pig Farm Wastewater Treatment. Presented at the The Third International Conference on Vetiver and Exhibition Vetiver and Water, China. Retrieved from [http://www.vetiver.com/ICV3-Proceedings/CHN\\_pigwaste2.pdf](http://www.vetiver.com/ICV3-Proceedings/CHN_pigwaste2.pdf)
- นิศาณารถ ละอองพันธุ์, & อร्घร คล้ายแก้ว. (2013). การใช้พืชลอยน้ำปรับปรุงคุณภาพน้ำ. Retrieved July 15, 2014, from [http://www2.rid.go.th/research/vijais/index.php?option=com\\_content&view=article&id=263:2013-02-19-00-47-13&catid=41:science&Itemid=167](http://www2.rid.go.th/research/vijais/index.php?option=com_content&view=article&id=263:2013-02-19-00-47-13&catid=41:science&Itemid=167)
- ราชกิจจานุเบกษา. ประกาศกรมควบคุมมลพิษ เรื่องเกณฑ์การออกแบบระบบบรรทวน้ำเสีย และระบบบำบัดน้ำเสียรวมของชุมชน, Pub. L. No. เล่ม 127 ตอนพิเศษ 72 ง (2553).
- สำนักงานคณะกรรมการพิเศษเพื่อประสานงานโครงการอันเนื่องมาจากพระราชดำริ. (2552). สำนักงาน กปร. สำนักงานคณะกรรมการพิเศษเพื่อประสานงานโครงการอันเนื่องมาจากพระราชดำริ, โครงการพระราชดำริ. Retrieved July 15, 2014, from <http://www.rdpb.go.th/RDPB/front/Projects/RDPBProjectType.aspx?p=41>
- หนังสือพิมพ์ผู้จัดการ. (2551). mgr. อุบลฯ ส่งเสริมชุมชนบำบัดน้ำเสียด้วยพืชน้ำในท้องถิ่น - *Science Manager Online*. Retrieved July 15, 2014, from <http://www.manager.co.th/science/ViewNews.aspx?NewsID=9510000109459&TabID=1&>



### ภาคผนวก ก

ผลการทดลองค่าออกซิเจนละลายน้ำ (DO) ของรูปแบบการทดลอง 10 แบบ และการคำนวณค่าอัตราการถ่ายเทออกซิเจนที่สภาวะมาตรฐาน (SOTR)

ตารางที่ 1ก ค่าออกซิเจนที่นาทีต่อ ๆ ของรูปแบบการทดลอง A1 ที่อุณหภูมิ  $30.0^{\circ}\text{C}$  และ ปริมาณของแข็งละลายน้ำ (TDS) 367 mg/L

เวลา(นาที)	ค่าออกซิเจนละลายน้ำ (mg/L)	อัตราการถ่ายเทออกซิเจนที่สภาวะมาตรฐาน (SOTR) (gO <sub>2</sub> /hr)
0	0.05	
2	0.40	
4	0.90	
6	1.77	
8	2.53	
10	3.28	
12	3.79	
14	4.50	
16	4.77	
18	5.23	
20	5.35	
22	5.54	
24	5.75	
26	5.92	
28	6.08	
30	6.16	
32	6.28	
34	6.34	
36	6.42	
38	6.53	
40	6.55	3.38

ตารางที่ 2ก ค่าออกซิเจนที่นาทีต่างๆของรูปแบบการทดลอง A2 ที่อุณหภูมิ  $29.8^{\circ}\text{C}$  และ ปริมาณของแข็งละลายน ( $\text{TDS}$ )  $367 \text{ mg/L}$

เวลา(นาที)	ค่าออกซิเจนละลายน้ำ ( $\text{mg/L}$ )	อัตราการถ่ายเทออกซิเจนที่สภาวะมาตรฐาน ( $\text{SOTR}$ ) ( $\text{gO}_2/\text{hr}$ )
0	0.05	
2	0.58	
4	1.20	
6	1.72	
8	2.23	
10	2.72	
12	3.17	
14	3.88	
16	4.20	
18	4.52	
20	4.80	3.02
22	5.03	
24	5.25	
26	5.46	
28	5.65	
30	5.81	
32	5.94	
34	6.07	
36	6.21	
38	6.29	
40	6.39	

ตารางที่ 3ก ค่าออกซิเจนที่นาทีต่าง ๆ ของรูปแบบการทดลอง A3 ที่อุณหภูมิ  $29.8^{\circ}\text{C}$  และ ปริมาณของแข็งละลายน้ำ (TDS) 367 mg/L

เวลา(นาที)	ค่าออกซิเจนละลายน้ำ (mg/L)	อัตราการถ่ายเทออกซิเจนที่สภาวะมาตรฐาน (SOTR) (gO <sub>2</sub> /hr)
0	0.05	
2	0.67	
4	1.15	
6	1.45	
8	1.88	
10	2.30	
12	2.61	
14	2.95	
16	3.22	
18	3.51	
20	3.77	2.07
22	4.07	
24	4.29	
26	4.51	
28	4.71	
30	4.92	
32	5.12	
34	5.24	
36	5.32	
38	5.46	
40	5.51	

ตารางที่ 4ก ค่าออกซิเจนที่นาทีต่างๆของรูปแบบการทดลอง A4 ที่อุณหภูมิ  $29.8^{\circ}\text{C}$  และ ปริมาณของแข็งละลายน ( $\text{TDS}$ )  $367 \text{ mg/L}$

เวลา(นาที)	ค่าออกซิเจนละลายน้ำ ( $\text{mg/L}$ )	อัตราการถ่ายเทออกซิเจนที่สภาวะมาตรฐาน ( $\text{SOTR}$ ) ( $\text{gO}_2/\text{hr}$ )
0	0.26	
2	0.58	
4	1.47	
6	2.03	
8	2.68	
10	3.19	
12	3.54	
14	4.03	
16	4.37	
18	4.73	
20	4.90	2.71
22	4.95	
24	5.30	
26	5.50	
28	5.50	
30	5.73	
32	5.90	
34	5.95	
36	6.13	
38	6.10	
40	6.17	

ตารางที่ 5ก ค่าออกซิเจนที่นาทีต่าง ๆ ของรูปแบบการทดลอง A5 ที่อุณหภูมิ  $29.5^{\circ}\text{C}$  และ ปริมาณของแข็งละลายน ( $\text{TDS}$ )  $367 \text{ mg/L}$

เวลา(นาที)	ค่าออกซิเจนละลายน้ำ ( $\text{mg/L}$ )	อัตราการถ่ายเทออกซิเจนที่สภาวะมาตรฐาน ( $\text{SOTR}$ ) ( $\text{gO}_2/\text{hr}$ )
0	0.00	
2	0.78	
4	1.89	
6	3.00	
8	3.58	
10	4.18	
12	4.67	
14	5.10	
16	5.47	
18	5.75	
20	5.96	3.98
22	6.16	
24	6.32	
26	6.40	
28	6.56	
30	6.62	
32	6.71	
34	6.74	
36	6.79	
38	6.84	
40	6.85	

ตารางที่ 6ก ค่าออกซิเจนที่นาทีต่างๆของรูปแบบการทดลอง A6 ที่อุณหภูมิ  $29.2^{\circ}\text{C}$  และ ปริมาณของแข็งละลายน ( $\text{TDS}$ )  $367 \text{ mg/L}$

เวลา(นาที)	ค่าออกซิเจนละลายน้ำ ( $\text{mg/L}$ )	อัตราการถ่ายเทออกซิเจนที่สภาวะมาตรฐาน ( $\text{SOTR}$ ) ( $\text{gO}_2/\text{hr}$ )
0	0.11	
2	0.85	
4	1.96	
6	3.00	
8	3.76	
10	4.30	
12	4.88	
14	5.19	
16	5.52	
18	5.78	
20	6.00	3.96
22	6.28	
24	6.40	
26	6.43	
28	6.59	
30	6.66	
32	6.65	
34	6.85	
36	6.86	
38	6.83	
40	6.71	

ตารางที่ 7ก ค่าออกซิเจนที่นาทีต่างๆของรูปแบบการทดลอง A7 ที่อุณหภูมิ  $29.2^{\circ}\text{C}$  และ ปริมาณของแข็งละลายน ( $\text{TDS}$ )  $367 \text{ mg/L}$

เวลา(นาที)	ค่าออกซิเจนละลายน้ำ ( $\text{mg/L}$ )	อัตราการถ่ายเทออกซิเจนที่สภาวะมาตรฐาน ( $\text{SOTR}$ ) ( $\text{gO}_2/\text{hr}$ )
0	0.09	
2	1.52	
4	2.80	
6	3.70	
8	4.46	
10	5.05	
12	5.48	
14	5.83	
16	6.05	
18	6.29	
20	6.44	4.15
22	6.60	
24	6.65	
26	6.6	
28	6.87	
30	6.89	
32	6.90	
34	6.88	
36	6.94	
38	6.94	
40	6.94	

ตารางที่ 8ก ค่าออกซิเจนที่นาทีต่างๆของรูปแบบการทดลอง A8 ที่อุณหภูมิ  $30.6^{\circ}\text{C}$  และ ปริมาณของแข็งละลายน้ำ (TDS)  $367 \text{ mg/L}$

เวลา(นาที)	ค่าออกซิเจนละลายน้ำ (mg/L)	อัตราการถ่ายเทออกซิเจนที่สภาวะมาตรฐาน (SOTR) (gO <sub>2</sub> /hr)
0	0.01	
2	0.27	
4	0.68	
6	1.06	
8	1.43	
10	1.77	
12	2.10	
14	2.42	
16	2.71	
18	2.96	
20	3.20	1.67
22	3.46	
24	3.68	
26	3.89	
28	4.08	
30	4.25	
32	4.39	
34	4.60	
36	4.67	
38	4.83	
40	4.98	

ตารางที่ 9ก ค่าออกซิเจนที่นาทีต่างๆของรูปแบบการทดลอง A9 ที่อุณหภูมิ  $29.5^{\circ}\text{C}$  และ ปริมาณของแข็งละลายน ( $\text{TDS}$ )  $367 \text{ mg/L}$

เวลา(นาที)	ค่าออกซิเจนละลายน้ำ ( $\text{mg/L}$ )	อัตราการถ่ายเทออกซิเจนที่สภาวะมาตรฐาน ( $\text{SOTR}$ ) ( $\text{gO}_2/\text{hr}$ )
0	0.11	
2	0.68	
4	1.10	
6	1.56	
8	1.98	
10	2.37	
12	2.71	
14	3.04	
16	3.34	
18	3.64	
20	3.88	2.1
22	4.10	
24	4.10	
26	4.57	
28	4.57	
30	4.91	
32	5.10	
34	5.25	
36	5.36	
38	5.52	
40	5.62	

ตารางที่ 10ก ค่าออกซิเจนที่นาทีต่างๆของรูปแบบการทดลอง A10 ที่อุณหภูมิ  $29.5^{\circ}\text{C}$  และ ปริมาณของแข็งละลายน (TDS) 367 mg/L

เวลา(นาที)	ค่าออกซิเจนละลายน้ำ (mg/L)	อัตราการถ่ายเทออกซิเจนที่สภาวะมาตรฐาน (SOTR) (gO <sub>2</sub> /hr)
0	0.06	
2	0.40	
4	1.05	
6	1.66	
8	2.19	
10	2.67	
12	3.11	
14	3.47	
16	3.82	
18	4.17	
20	4.42	2.64
22	4.73	
24	4.91	
26	5.14	
28	5.31	
30	5.50	
32	5.58	
34	5.74	
36	5.88	
38	6.01	
40	6.07	

การคำนวณค่าอัตราการถ่ายเทออกซิเจนที่สภาวะมาตรฐาน (SOTR)

กรณีรูปแบบการทดลองที่ A9

(1) การหาค่าออกซิเจนละลายน้ำในน้ำ ( $C_s$ )

จากข้อมูลตารางผนวกที่ 9ก ครั้งที่ 1 อุณหภูมิ  $29.5^{\circ}\text{C}$  มีปริมาณของแข็งละลายน้ำ  $367 \text{ mg/L}$

$$C_s = \frac{475 - 2.65(\text{TDS})}{(33.5 + T)}$$

แทนค่าอุณหภูมิ และ ของแข็งละลายน้ำ ลงในสมการ

$$C_s = \frac{475 - 2.65(3.67)}{(33.5 + 29.5)}$$

$$C_s = 7.52 \text{ mg/L}$$

(2) การหาค่าสัมประสิทธิ์การถ่ายเทออกซิเจน ( $K_{La}$ )

จากสมการ

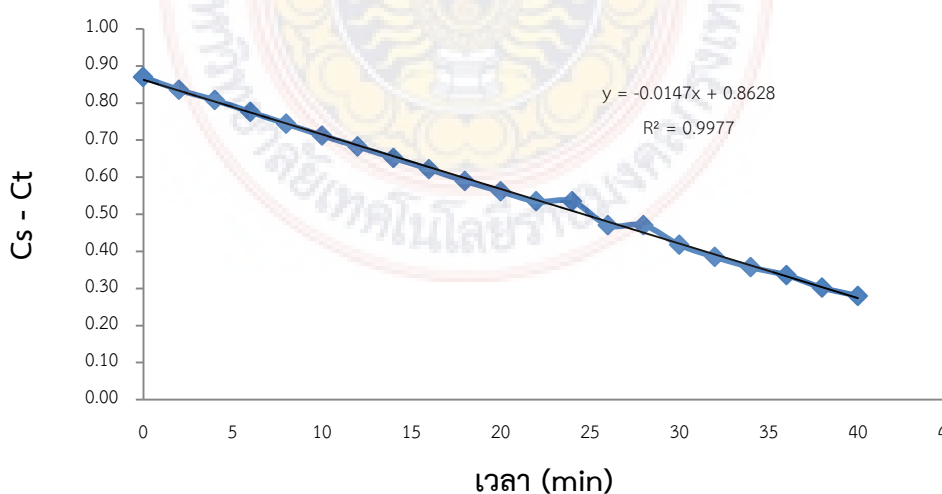
$$K_{La} = \frac{(\log D_1 - \log D_2)(2.303)}{(t_2 - t_1)}$$

เมื่อพิจารณาสมการข้างต้นให้เป็นสมการเส้นตรง

$$\log D_2 = -\frac{K_{La}}{(2.303)} t_2$$

โดยที่  $D_2 = C_s - \text{ค่าละลายน้ำออกซิเจนในน้ำ } \text{ ณ } \text{ เวลา } t_2 \text{ (Ct)}$

พิจารณาข้อมูลตารางผนวกที่ 9ก ครั้งที่ 1 โดยใช้สมการข้างต้นและนำไปplotグラฟ semi - log



จากรูปผนวกที่ 1 ก ได้ค่าความชันเท่ากับ  $-0.0147$  ซึ่งเมื่อนำไปหาค่า  $K_{La}$  จะได้เท่ากับ

$$0.0345 \text{ min}^{-1}$$

(3) การหาค่าสัมประสิทธิ์การถ่ายเทออกซิเจนที่อุณหภูมิมาตรฐาน  $20\text{ }^{\circ}\text{C}$  ( $K_L a_{20}$ )

จากสมการ

$$K_L a = K_L a_{20} \times \Theta^{(T-20)}$$

โดยที่  $\Theta$  มีค่าเท่ากับ 1.024

$T$  คือ อุณหภูมิในขณะทดลอง ( $\text{C}^{\circ}$ )

$$K_L a_{20} = 0.0276$$

(4) หาค่าอัตราการถ่ายเทออกซิเจนที่สภาวะมาตรฐาน (SOTR)

จากสมการ

$$\text{SOTR} = DO_{20} \times K_L a_{20} \times V \times 60$$

โดยที่  $DO_{20}$  คือ ค่าความขาดแคลนออกซิเจนที่  $20\text{ }^{\circ}\text{C}$  มีค่าเท่ากับ  $9.08\text{ mg/L}$

$V$  คือ ปริมาตรของน้ำในถังทดสอบ มีค่าเท่ากับ  $0.140\text{ m}^3$

แทนค่าสมการจะได้ค่า  $SOTR = 2.10\text{ gO}_2/\text{hr}$

### ภาคผนวก ข

ตารางที่ 1x ค่า pH ของน้ำที่ผ่านการบำบัดด้วยระบบบำบัดน้ำเสียแบบต่าง ๆ

สัปดาห์ที่ N	น้ำเสีย เข้าระบบ	Pilot plant	
		1	2
ก่อนการทดลอง	7.20	8.67	8.80
1	7.63	7.75	7.95
2	7.70	7.88	7.97
3	7.20	7.85	7.69
4	7.55	7.77	7.66
5	7.52	7.25	7.36
6	7.55	7.32	7.52
7	7.83	7.21	7.22
8	7.62	7.32	7.32
9	7.62	9.05	8.84
10	7.58	8.56	8.4
11	7.66	9.04	8.86
12	7.80	8.99	8.83
13	7.56	8.98	8.60
14	7.66	9.04	8.86
15	7.74	8.98	8.9
16	7.80	8.94	8.91
17	8.03	8.80	8.91
18	7.65	8.91	8.89
19	7.62	8.73	8.62
20	7.62	8.53	8.60
21	7.60	8.49	8.61

ตารางที่ 2x ค่าปีกอเดี๋ยงน้ำที่ผ่านการบำบัดด้วยระบบบำบัดน้ำเสียแบบต่าง ๆ

สับดาห์ที่	N	น้ำเสีย เข้าระบบ	Pilot plant	
			1	2
ก่อนการ ทดลอง	1	94.0	45.0	69.0
	2	83.0	44.0	67.0
	MEAN	88.5	44.5	68.0
	SD	5.5	0.5	1.0
1	1	217.0	83.0	125.0
	2	199.0	90.0	124.0
	MEAN	208.0	86.5	124.5
	SD	9.0	3.5	0.5
2	1	143.0	65.0	41.0
	2	135.0	76.0	41.0
	MEAN	139.0	70.5	41.0
	SD	4.0	5.5	0.0
3	1	179.0	112.0	94.0
	2	179.0	112.0	94.0
	MEAN	179.0	112.0	94.0
	SD	0.0	0.0	0.0
4	1	330.0	132.0	58.0
	2	330.0	132.0	58.0
	MEAN	330.0	132.0	58.0
	SD	0.0	0.0	0.0
5	1	259.0	13.0	29.0
	2	246.0	18.0	25.0
	MEAN	252.5	15.5	27.0
	SD	6.5	2.5	2.0
6	1	81.0	24.0	48.0
	2	65.0	25.0	43.0
	MEAN	73.0	24.5	45.5
	SD	8.0	0.5	2.5
7	1	70.0	26.0	23.0
	2	76.0	26.0	26.0
	MEAN	45.0	26.0	24.5
	SD	1.0	0.0	1.5

ตารางที่ 2x ค่าปีกอเดี๋ยงน้ำที่ผ่านการบำบัดด้วยระบบบำบัดน้ำเสียแบบต่าง ๆ (ต่อ)

สัปดาห์ ที่	N	น้ำเสีย เข้าระบบ	Pilot plant	
			1	1
8	1	75.0	17.0	16.0
	2	75.0	18.0	13.0
	MEAN	75.0	17.5	14.5
	SD	0.0	0.5	1.5
9	1	237.0	82.0	54.0
	2	228.0	84.0	57.0
	MEAN	232.5	83.0	55.5
	SD	4.5	1.0	1.5
10	1	48.0	22.0	47.0
	2	38.0	30.0	47.0
	MEAN	43.0	26.0	47.0
	SD	5.0	4.0	0.0
11	1	54.8	25.4	16.7
	2	50.0	25.1	22.1
	MEAN	52.4	25.3	19.4
	SD	2.4	0.1	2.7
12	1	176.7	23.5	25.0
	2	174.3	23.5	25.0
	MEAN	175.5	23.5	25.0
	SD	1.2	0.0	0.0
13	1	194.6	32.5	30.5
	2	190.7	32.5	30.5
	MEAN	192.7	32.5	30.5
	SD	2.0	0.0	0.0
14	1	137.0	21.5	8.5
	2	119.6	21.5	8.5
	MEAN	128.3	21.5	8.5
	SD	8.7	0.0	0.0
15	1	137.1	18.0	18.0
	2	152.4	18.0	18.0
	MEAN	144.8	18.0	18.0
	SD	7.7	0.0	0.0

ตารางที่ 2x ค่าปีกอเดี๋ยงน้ำที่ผ่านการบำบัดด้วยระบบบำบัดน้ำเสียแบบต่าง ๆ (ต่อ)

สัปดาห์ที่	N	น้ำเสีย เข้าระบบ	Pilot plant	
			1	1
16	1	80.3	26.0	25.0
	2	90.8	26.0	25.0
	MEAN	85.6	26.0	25.0
	SD	5.3	0.0	0.0
17	1	84.9	16.0	17.5
	2	89.7	16.0	17.5
	MEAN	87.3	16.0	17.5
	SD	2.4	0.0	0.0
18	1	75.6	3.5	3.2
	2	75.6	3.2	2.7
	MEAN	75.6	3.4	3.0
	SD	0.0	0.2	0.3
19	1	116.2	26.6	28.2
	2	162.0	26.7	28.8
	MEAN	139.1	26.7	28.5
	SD	22.9	0.0	0.3
20	1	143.7	20.6	20.6
	2	143.1	15.8	16.8
	MEAN	143.4	18.2	18.7
	SD	0.3	2.4	1.9
21	1	138.0	5.3	6.0
	2	144.0	5.3	7.5
	MEAN	141.0	5.3	6.8
	SD	3.0	0.0	0.8

ตารางที่ 3x ค่าซีโอดีของน้ำที่ผ่านการทำบัดด้วยระบบบำบัดน้ำเสียแบบต่าง ๆ

สับดาห์ที่	N	น้ำเสีย เข้าระบบ	Pilot plant	
			1	1
ก่อน ทดลอง	1	365.0	330.0	191.0
	2	365.0	330.0	191.0
	3	365.0	330.0	191.0
	MEAN	365.0	330.0	191.0
	SD	0.0	0.0	0.0
1	1	254.0	103.0	111.0
	2	254.0	103.0	111.0
	3	254.0	103.0	111.0
	MEAN	254.0	103.0	111.0
	SD	0.0	0.0	0.0
2	1	366.0	125.0	146.0
	2	366.0	125.0	146.0
	3	366.0	125.0	146.0
	MEAN	366.0	125.0	146.0
	SD	0.0	0.0	0.0
3	1	308.0	131.0	117.0
	2	306.0	131.0	117.0
	3	304.0	131.0	117.0
	MEAN	306.0	131.0	117.0
	SD	1.6	0.0	0.0
4	1	357.0	103.0	122.0
	2	357.0	103.0	122.0
	3	357.0	103.0	122.0
	MEAN	357.0	103.0	122.0
	SD	0.0	0.0	0.0
5	1	362.0	164.0	168.0
	2	362.0	157.0	168.0
	3	362.0	172.0	168.0
	MEAN	362.0	164.3	168.0
	SD	0.0	6.1	0.0

ตารางที่ 3x ค่าซีโอดีของน้ำที่ผ่านการทำบัดด้วยระบบบำบัดน้ำเสียแบบต่าง ๆ (ต่อ)

สับดาห์ที่	N	น้ำเสีย เข้าระบบ	Pilot plant	
			1	1
6	1	391.0	173.0	163.0
	2	388.0	173.0	163.0
	3	391.0	173.0	163.0
	MEAN	390.0	173.0	163.0
	SD	1.4	0.0	0.0
7	1	371.0	119.0	127.0
	2	355.0	124.0	117.0
	3	363.0	114.0	137.0
	MEAN	363.0	119.0	127.0
	SD	6.5	4.1	8.2
8	1	308.0	107.0	104.0
	2	308.0	107.0	104.0
	3	305.0	107.0	106.0
	MEAN	307.0	107.0	104.7
	SD	1.4	0.0	0.9
9	1	270.0	136.0	148.0
	2	322.0	145.0	171.0
	3	304.0	154.0	159.0
	MEAN	298.7	145.0	159.3
	SD	21.6	7.3	9.4
10	1	342.0	115.0	118.0
	2	342.0	118.0	128.0
	3	342.0	103.0	123.0
	MEAN	342.0	112.0	123.0
	SD	0.0	6.5	4.1
11	1	342.0	138.0	138.0
	2	339.0	138.0	144.0
	3	346.0	138.0	150.0
	MEAN	342.3	138.0	144.0
	SD	2.9	0.0	4.9

ตารางที่ 3x ค่าซีโอดีของน้ำที่ผ่านการทำบัดด้วยระบบบำบัดน้ำเสียแบบต่าง ๆ (ต่อ)

สับดาห์ที่	N	น้ำเสีย เข้าระบบ	Pilot plant	
			1	1
12	1	424.0	114.0	120.0
	2	424.0	117.0	109.0
	3	417.0	109.0	114.0
	MEAN	421.7	113.3	114.3
	SD	3.3	3.3	4.5
13	1	432.0	161.0	133.0
	2	432.0	161.0	144.0
	3	432.0	150.0	138.0
	MEAN	432.0	157.3	138.3
	SD	0.0	5.2	4.5
14	1	235.0	96.0	38.0
	2	214.0	102.0	38.0
	3	225.0	108.0	38.0
	MEAN	224.7	102.0	38.0
	SD	8.6	4.9	0.0
15	1	279.0	73.0	79.0
	2	286.0	96.0	85.0
	3	271.0	85.0	79.0
	MEAN	278.7	84.7	81.0
	SD	6.1	9.4	2.8
16	1	296.0	124.0	118.0
	2	296.0	118.0	115.0
	3	296.0	130.0	112.0
	MEAN	296.0	124.0	115.0
	SD	0.0	4.9	2.4
17	1	339.0	77.0	83.0
	2	347.0	71.0	71.0
	3	339.0	73.0	83.0
	MEAN	341.7	73.7	79.0
	SD	3.8	2.5	5.7

ตารางที่ 3x ค่าซีโอดีของน้ำที่ผ่านการทำบัดด้วยระบบบำบัดน้ำเสียแบบต่าง ๆ (ต่อ)

สับดาห์ที่	N	น้ำเสีย เข้าระบบ	Pilot plant	
			1	1
18	1	360.0	156.0	156.0
	2	353.0	156.0	156.0
	3	367.0	156.0	156.0
	MEAN	360.0	156.0	156.0
	SD	5.7	0.0	0.0
19	1	423.0	108.0	97.0
	2	423.0	106.0	97.0
	3	423.0	105.0	97.0
	MEAN	423.0	106.3	97.0
	SD	0.0	1.2	0.0
20	1	473.0	115.0	38.0
	2	478.0	115.0	38.0
	3	478.0	113.0	38.0
	MEAN	476.3	114.3	38.0
	SD	2.4	0.9	0.0
21	1	285.0	119.0	160.0
	2	288.0	119.0	167.0
	3	291.0	119.0	167.0
	MEAN	288.0	119.0	164.7
	SD	2.4	0.0	3.3

ตารางที่ 4x ปริมาณของแข็งแหวนโลยกันน้ำที่ผ่านการบำบัดด้วยระบบบำบัดน้ำเสียแบบต่าง ๆ

สับดาห์ที่	N	น้ำเสีย เข้าระบบ	Pilot plant	
			1	1
ก่อน ทดลอง	1	100	80	80
	2	90	80	80
	3	110	70	701
	MEAN	100	77	287
	SD	8.16	4.71	292.74
1	1	20	60	40
	2	30	10	20
	3	20	30	30
	MEAN	23	33	30
	SD	5	21	8
2	1	160	50	20
	2	40	10	40
	3	100	30	30
	MEAN	100	30	30
	SD	49	16	8
3	1	40	30	70
	2	10	70	40
	3	30	50	60
	MEAN	27	50	57
	SD	12	16	12
4	1	80	60	60
	2	170	60	60
	3	130	60	60
	MEAN	127	60	60
	SD	37	0	0
5	1	30	20	40
	2	30	20	40
	3	30	20	40
	MEAN	30	20	40
	SD	0	0	0

ตารางที่ 4x ปริมาณของแข็งแหวนโลยกันน้ำที่ผ่านการบำบัดด้วยระบบบำบัดน้ำเสียแบบต่าง ๆ (ต่อ)

สับดาห์ที่	N	น้ำเสีย เข้าระบบ	Pilot plant	
			1	1
6	1	20	43	39
	2	60	48	47
	3	40	45	47
	MEAN	40	45	44
	SD	16	2	4
7	1	50	10	40
	2	50	10	10
	3	50	10	25
	MEAN	50	10	25
	SD	0	0	12
8	1	60	80	40
	2	80	80	60
	3	40	80	50
	MEAN	60	80	50
	SD	16	0	8
9	1	50	10	80
	2	70	10	90
	3	50	50	50
	MEAN	57	23	73
	SD	9	19	17
10	1	70	140	130
	2	100	200	120
	3	90	150	120
	MEAN	87	163	123
	SD	12	26	5
11	1	44	50	20
	2	67	20	40
	3	44	20	50
	MEAN	52	30	37
	SD	11	14	12

ตารางที่ 4x ปริมาณของแข็งแหวนโลยกันน้ำที่ผ่านการบำบัดด้วยระบบบำบัดน้ำเสียแบบต่าง ๆ (ต่อ)

สับดาห์ที่	N	น้ำเสีย เข้าระบบ	Pilot plant	
			1	1
12	1	44	50	20
	2	67	20	40
	3	44	20	50
	MEAN	52	30	37
	SD	11	14	12
13	1	60	35	40
	2	50	30	30
	3	40	40	20
	MEAN	50	35	30
	SD	8	4	8
14	1	40	13	20
	2	40	13	20
	3	40	13	20
	MEAN	40	13	20
	SD	0	0	0
15	1	37	20	24
	2	45	20	26
	3	41	20	25
	MEAN	41	20	25
	SD	3	0	1
16	1	37	20	24
	2	45	20	26
	3	41	20	25
	MEAN	41	20	25
	SD	3	0	1
17	1	45	32	17
	2	77	34	17
	3	67	33	24
	MEAN	63	33	19
	SD	13	1	3

ตารางที่ 4x ปริมาณของแข็งแหวนโลยกันน้ำที่ผ่านการบำบัดด้วยระบบบำบัดน้ำเสียแบบต่าง ๆ (ต่อ)

สับดาห์ที่	N	น้ำเสีย เข้าระบบ	Pilot plant	
			1	1
18	1	70	23	38
	2	50	33	38
	3	90	28	38
	MEAN	70	28	38
	SD	16	4	0
19	1	90	33	30
	2	90	24	38
	3	90	29	34
	MEAN	90	29	34
	SD	0	4	3
20	1	125	21	21
	2	113	22	22
	3	119	22	22
	MEAN	119	22	22
	SD	5	0	0
21	1	97	22	30
	2	107	28	27
	3	102	25	29
	MEAN	102	25	29
	SD	4	2	1

ตารางที่ 5x ค่า NO<sub>3</sub>-N ของน้ำที่ผ่านการบำบัดด้วยระบบบำบัดน้ำเสียแบบต่าง ๆ

สัปดาห์ที่	N	น้ำเสีย เข้าระบบ	Pilot plant	
			1	1
ก่อนการทดลอง	1	10.29	8.14	7.25
	2	11.27	8.53	8.43
	MEAN	10.78	8.34	7.84
	SD	0.49	0.19	0.59
1	1	9.31	7.25	7.16
	2	7.94	5.59	5.59
	MEAN	8.63	6.42	6.38
	SD	0.69	0.83	0.79
2	1	13.33	10.59	11.08
	2	12.16	10.29	11.08
	MEAN	12.75	10.44	11.08
	SD	0.59	0.15	0.00
3	1	16.27	11.27	9.51
	2	18.43	11.37	11.57
	MEAN	17.35	11.32	10.54
	SD	1.08	0.05	1.03
4	1	34.01	10.20	10.49
	2	31.45	10.20	10.10
	MEAN	32.73	10.20	10.30
	SD	1.28	0.00	0.20
5	1	37.63	11.18	11.27
	2	37.37	12.45	10.39
	MEAN	37.50	11.82	10.83
	SD	0.13	0.64	0.44
6	1	17.65	14.80	11.47
	2	17.45	16.57	10.10
	MEAN	17.55	15.69	10.79
	SD	0.10	0.89	0.69
7	1	13.92	63.71	64.11
	2	14.51	63.44	67.20
	MEAN	14.22	63.58	65.66
	SD	0.30	0.14	1.55

ตารางที่ 5x ค่า NO<sub>3</sub>-N ของน้ำที่ผ่านการบำบัดด้วยระบบบำบัดน้ำเสียแบบต่าง ๆ (ต่อ)

สัปดาห์ที่	N	น้ำเสีย เข้าระบบ	Pilot plant	
			1	1
8	1	29.03	13.82	13.33
	2	29.84	17.55	14.02
	MEAN	29.44	15.69	13.68
	SD	0.40	1.87	0.35
9	1	49.19	27.55	15.98
	2	42.20	14.61	26.34
	MEAN	45.70	21.08	21.16
	SD	3.50	6.47	5.18
10	1	47.58	16.96	15.69
	2	46.64	17.06	28.76
	MEAN	47.11	17.01	22.23
	SD	0.47	0.05	6.54
11	1	63.31	13.33	13.82
	2	63.17	14.31	14.12
	MEAN	63.24	13.82	13.97
	SD	0.07	0.49	0.15
12	1	31.85	7.45	8.63
	2	38.98	11.18	12.45
	MEAN	35.42	9.32	10.54
	SD	3.57	1.87	1.91
13	1	32.26	11.57	11.57
	2	32.39	11.08	11.18
	MEAN	32.33	11.33	11.38
	SD	0.07	0.25	0.20
14	1	28.49	14.61	10.49
	2	28.36	9.31	11.37
	MEAN	28.43	11.96	10.93
	SD	0.06	2.65	0.44
15	1	60.22	10.29	7.94
	2	61.96	11.67	7.84
	MEAN	61.09	10.98	7.89
	SD	0.87	0.69	0.05

ตารางที่ 5x ค่า NO<sub>3</sub>-N ของน้ำที่ผ่านการบำบัดด้วยระบบบำบัดน้ำเสียแบบต่าง ๆ (ต่อ)

สัปดาห์ที่	N	น้ำเสีย เข้าระบบ	Pilot plant	
			1	1
16	1	44.89	8.33	9.31
	2	42.34	16.69	9.80
	MEAN	43.62	12.51	9.56
	SD	1.28	4.18	0.25
17	1	26.21	11.67	7.06
	2	29.97	9.80	6.86
	MEAN	28.09	10.74	6.96
	SD	1.88	0.94	0.10
18	1	29.97	11.67	8.14
	2	29.57	8.82	9.22
	MEAN	29.77	10.25	8.68
	SD	0.20	1.42	0.54
19	1	47.18	11.47	10.10
	2	46.51	11.47	10.10
	MEAN	46.85	11.47	10.10
	SD	0.34	0.00	0.00
20	1	38.44	38.31	12.65
	2	38.44	38.31	12.65
	MEAN	38.44	38.31	12.65
	SD	0.00	0.00	0.00
21	1	44.89	11.47	11.18
	2	44.89	11.47	11.18
	MEAN	44.89	11.47	11.18
	SD	0.00	0.00	0.00

ตารางที่ 6x ค่า NH<sub>4</sub>-N ของน้ำที่ผ่านการบำบัดด้วยระบบบำบัดน้ำเสียแบบต่าง ๆ

สับค่าที่	N	น้ำเสีย เข้า ระบบ	Pilot plant	
			1	1
ก่อนการ ทดลอง	1	0.91	0.49	0.57
	2	0.91	0.49	0.57
	MEAN	0.91	0.49	0.57
	SD	0.00	0.00	0.00
1	1	4.79	0.54	0.79
	2	4.46	0.50	0.70
	MEAN	4.63	0.52	0.75
	SD	0.17	0.02	0.05
2	1	1.42	1.00	0.68
	2	1.42	0.86	0.50
	MEAN	1.42	0.93	0.59
	SD	0.00	0.07	0.09
3	1	1.79	2.38	2.38
	2	1.79	2.38	2.38
	MEAN	1.79	2.38	2.38
	SD	0.00	0.00	0.00
4	1	6.96	2.10	2.12
	2	6.31	2.10	2.12
	MEAN	6.64	2.10	2.12
	SD	0.33	0.00	0.00
5	1	8.22	2.16	2.37
	2	7.90	2.31	2.15
	MEAN	8.06	2.24	2.26
	SD	0.16	0.08	0.11
6	1	4.58	6.44	1.66
	2	4.29	6.61	1.87
	MEAN	4.44	6.53	1.77
	SD	0.15	0.09	0.11
7	1	3.64	3.79	1.97
	2	2.08	2.13	1.98
	MEAN	2.86	2.96	1.98
	SD	0.78	0.83	0.01

ตารางที่ 6x ค่า NH<sub>4</sub>-N ของน้ำที่ผ่านการบำบัดด้วยระบบบำบัดน้ำเสียแบบต่าง ๆ (ต่อ)

สัปดาห์ที่	N	น้ำเสีย เข้า ระบบ	Pilot plant	
			1	1
8	1	2.39	2.16	2.09
	2	2.01	1.96	2.01
	MEAN	2.20	2.06	2.05
	SD	0.19	0.10	0.04
9	1	5.11	1.90	1.99
	2	5.13	1.92	1.99
	MEAN	5.12	1.91	1.99
	SD	0.01	0.01	0.00
10	1	4.36	2.14	4.86
	2	4.38	2.15	4.86
	MEAN	4.37	2.15	4.86
	SD	0.01	0.00	0.00
11	1	5.03	2.33	3.50
	2	5.06	2.32	3.51
	MEAN	5.05	2.33	3.51
	SD	0.01	0.01	0.00
12	1	8.67	2.21	3.51
	2	8.57	2.21	2.29
	MEAN	8.62	2.21	2.90
	SD	0.05	0.00	0.61
13	1	10.54	2.07	2.27
	2	10.42	2.08	2.28
	MEAN	10.48	2.08	2.28
	SD	0.06	0.01	0.00
14	1	10.60	4.06	4.01
	2	10.50	4.07	3.99
	MEAN	10.55	4.07	4.00
	SD	0.05	0.01	0.01
15	1	11.81	3.67	3.53
	2	11.94	3.65	3.53
	MEAN	11.88	3.66	3.53
	SD	0.06	0.01	0.00

ตารางที่ 6x ค่า NH<sub>4</sub>-N ของน้ำที่ผ่านการบำบัดด้วยระบบบำบัดน้ำเสียแบบต่าง ๆ (ต่อ)

สัปดาห์ที่	N	น้ำเสีย เข้า ระบบ	Pilot plant	
			1	1
16	1	12.06	3.61	2.34
	2	11.97	3.57	2.36
	MEAN	12.02	3.59	2.35
	SD	0.04	0.02	0.01
17	1	7.92	3.61	3.56
	2	7.90	3.60	3.51
	MEAN	7.91	3.61	3.54
	SD	0.01	0.00	0.03
18	1	10.47	3.72	4.06
	2	10.28	3.74	4.07
	MEAN	10.38	3.73	4.07
	SD	0.10	0.01	0.01
19	1	17.19	3.64	3.56
	2	14.61	3.62	3.62
	MEAN	15.90	3.63	3.59
	SD	1.29	0.01	0.03
20	1	10.67	3.88	3.89
	2	11.17	4.07	3.90
	MEAN	10.92	3.98	3.90
	SD	0.25	0.10	0.00
21	1	15.64	4.36	4.85
	2	16.86	4.58	4.74
	MEAN	16.25	4.47	4.80
	SD	0.61	0.11	0.05

ตารางที่ 7x ค่า  $\text{PO}_4^{3-}$  ของน้ำที่ผ่านการบำบัดด้วยระบบบำบัดน้ำเสียแบบต่าง ๆ

สับดาห์ที่	N	น้ำเสีย เข้าระบบ	Pilot plant	
			1	1
ก่อนการทดลอง	1	1.11	0.91	0.88
	2	1.11	0.91	0.88
	MEAN	1.11	0.91	0.88
	SD	0.00	0.00	0.00
1	1	1.91	1.01	1.14
	2	1.91	1.01	1.14
	MEAN	1.91	1.01	1.14
	SD	0.00	0.00	0.00
2	1	1.50	1.25	1.20
	2	1.50	1.25	1.20
	MEAN	1.50	1.25	1.20
	SD	0.00	0.00	0.00
3	1	1.27	1.83	1.68
	2	1.28	1.83	1.69
	MEAN	1.28	1.83	1.69
	SD	0.01	0.00	0.01
4	1	1.65	1.78	1.76
	2	1.65	1.79	1.77
	MEAN	1.65	1.79	1.77
	SD	0.00	0.01	0.01
5	1	1.14	1.80	1.74
	2	0.89	1.79	1.76
	MEAN	1.02	1.80	1.75
	SD	0.13	0.01	0.01
6	1	0.49	1.98	1.87
	2	0.56	1.99	1.88
	MEAN	0.53	1.99	1.88
	SD	0.04	0.01	0.00
7	1	0.50	1.95	1.94
	2	0.63	1.93	1.98
	MEAN	0.57	1.94	1.96
	SD	0.07	0.01	0.02

ตารางที่ 7x ค่า  $\text{PO}_4^{3-}$  ของน้ำที่ผ่านการบำบัดด้วยระบบบำบัดน้ำเสียแบบต่าง ๆ (ต่อ)

8	1	1.73	1.74	1.72
	2	1.75	1.75	1.70
	MEAN	1.74	1.75	1.71
	SD	0.01	0.01	0.01
9	1	2.25	2.93	2.39
	2	2.19	2.94	2.49
	MEAN	2.22	2.94	2.44
	SD	0.03	0.00	0.05
10	1	2.44	2.34	2.27
	2	2.87	2.40	2.13
	MEAN	2.66	2.37	2.20
	SD	0.22	0.03	0.07
11	1	0.92	1.77	1.80
	2	0.95	1.81	1.80
	MEAN	0.94	1.79	1.80
	SD	0.02	0.02	0.00
12	1	0.85	3.16	3.15
	2	0.85	3.17	3.13
	MEAN	0.85	3.17	3.14
	SD	0.00	0.00	0.01
13	1	0.77	2.96	3.03
	2	0.75	2.90	3.04
	MEAN	0.76	2.93	3.04
	SD	0.01	0.03	0.01
14	1	2.23	3.26	3.06
	2	2.32	3.15	3.02
	MEAN	2.28	3.21	3.04
	SD	0.04	0.05	0.02
15	1	1.17	3.28	3.05
	2	1.19	3.25	3.08
	MEAN	1.18	3.27	3.07
	SD	0.01	0.01	0.02

ตารางที่ 7x ค่า  $\text{PO}_4^{3-}$  ของน้ำที่ผ่านการบำบัดด้วยระบบบำบัดน้ำเสียแบบต่าง ๆ (ต่อ)

สัปดาห์ที่	N	น้ำเสีย เข้าระบบ	Pilot plant	
			1	1
16	1	1.54	3.05	3.07
	2	1.51	3.00	3.05
	MEAN	1.53	3.03	3.06
	SD	0.02	0.02	0.01
17	1	1.98	3.04	3.02
	2	1.99	3.05	3.02
	MEAN	1.99	3.05	3.02
	SD	0.01	0.00	0.00
18	1	3.35	2.70	2.74
	2	3.33	2.70	2.75
	MEAN	3.34	2.70	2.75
	SD	0.01	0.00	0.00
19	1	3.30	2.84	2.86
	2	3.38	2.85	2.80
	MEAN	3.34	2.85	2.83
	SD	0.04	0.01	0.03
20	1	3.17	2.70	2.82
	2	3.40	2.75	2.81
	MEAN	3.29	2.73	2.82
	SD	0.12	0.02	0.00
21	1	3.60	2.66	2.75
	2	3.64	2.70	2.74
	MEAN	3.62	2.68	2.75
	SD	0.02	0.02	0.00

ตารางที่ 8ข ค่าเฉลี่ยตัวนิคุณภาพน้ำหลังการบำบัดด้วยระบบบรรจงพืช ระบบพืชชลอยน้ำร่วมกับการเติมอากาศด้วยเครื่องเติมอากาศ 2 เครื่อง

ตัวนิคุณภาพน้ำ	ค่าเฉลี่ยตลอดการทดลอง (22สัปดาห์)		ค่าเฉลี่ยช่วง 3 เดือนแรก (12 สัปดาห์)		ค่าเฉลี่ยช่วงหลัง 3 เดือน (10 สัปดาห์)	
	ตัวนิคุณภาพน้ำ (mg/L)	ค่าเฉลี่ยประสิทธิภาพในการกำจัด	ตัวนิคุณภาพน้ำ (mg/L)	ค่าเฉลี่ยประสิทธิภาพในการกำจัด	ตัวนิคุณภาพน้ำ (mg/L)	ค่าเฉลี่ยประสิทธิภาพในการกำจัด
pH	8.33 ± 0.63	-9.06 ± 8.22	8.04 ± 0.67	-5.26 ± 8.81	8.75 ± 0.14	-14.57 ± 1.82
SS	40.66 ± 28.28	36.42 ± 44.23	51.69 ± 32.54	19.17±50.89	24.72 ± 5.28	61.34 ± 8.26
BOD	33.44 ± 32.77	76.43 ± 23.09	49.21 ± 34.67	65.31 ± 24.44	10.67 ± 5.28	92.48 ± 3.72
COD	129.66 ± 39.86	62.45 ± 11.54	142.31 ± 41.16	58.78 ± 11.92	111.39 ± 31.54	67.71 ± 9.14
Ortho-P	2.16 ± 0.69	-24.68 ± 40.37	1.86 ± 0.63	-7.66 ± 36.29	2.58 ± 0.58	-49.27 ± 33.93
NH <sub>3</sub> -N	2.76 ± 1.16	91.62 ± 3.53	2.19 ± 1.08	93.37 ± 3.26	3.60 ± 0.69	52.62 ± 9.17
NO <sub>3</sub> -N	14.46 ± 11.94	56.17 ± 36.20	16.07 ± 15.01	51.29 ± 45.51	12.14 ± 5.09	63.21 ± 15.45

ตารางที่ 9ข การทดสอบเพื่อเปรียบเทียบค่าเฉลี่ยของตัวนิคุณภาพน้ำที่อัตราไหลต่างกัน

ตัวนิคุณภาพน้ำ	treatment	Flow (mL/min)	mean	SD	sig	P
pH	1	21.0	-12.61	4.65	0.159	>0.05
		31.5	-15.63	1.12		
	2	21.0	-15.23	2.31	0.03	<0.05
		31.5	-14.94	1.56		
	3	21.0	-14.26	2.84	0.03	<0.05
		31.5	-13.77	1.83		
	4	21.0	-13.48	2.26	0.24	>0.05
		31.5	-12.59	1.82		
SS	1	21.0	-94.20	78.81	0.17	>0.05
		31.5	-87.15	76.10		
	2	21.0	47.13	9.02	0.03	<0.05
		31.5	68.93	14.03		
	3	21.0	53.85	10.55	0.10	>0.05
		31.5	68.12	12.11		
	4	21.0	55.28	10.09	0.27	>0.05
		31.5	67.10	16.22		
BOD	1	21.0	89.16	6.55	0.29	>0.05
		31.5	87.10	5.28		
	2	21.0	90.66	5.38	0.37	>0.05
		31.5	92.13	3.89		
	3	21.0	90.09	5.32	0.167	>0.05
		31.5	93.62	5.83		
	4	21.0	89.67	2.97	0.21	>0.05
		31.5	91.96	4.43		

ตารางที่ 9ฯ การทดสอบเพื่อปรับเทียบค่าเฉลี่ยของตัวนิคุณภาพน้ำที่อัตราไฟล์ต่างกัน (ต่อ)

ตัวนิคุณภาพน้ำ	treatment	Flow (mL/min)	mean	SD	sig	P
COD	1	21.0	46.99	19.94	0.49	>0.05
		31.5	47.07	7.50		
	2	21.0	67.64	8.68	0.33	>0.05
		31.5	71.54	11.81		
	3	21.0	68.99	7.22	0.37	>0.05
		31.5	65.33	13.47		
	4	21.0	68.42	8.01	0.35	>0.05
		31.5	64.36	11.02		
Ortho P	1	21.0	-53.41	64.23	0.03	
		31.5	30.26	9.52		
	2	21.0	-80.62	53.89	0.01	
		31.5	22.41	4.29		
	3	21.0	-89.54	58.71	0.02	
		31.5	18.59	4.62		
	4	21.0	-95.31	59.83	0.01	
		31.5	18.75	4.92		
NH <sub>4</sub> -N	1	21.0	64.26	12.11	0.09	
		31.5	71.73	6.03		
	2	21.0	64.78	4.95	0.17	
		31.5	68.43	7.83		
	3	21.0	65.42	8.95	0.30	
		31.5	68.80	6.91		
	4	21.0	63.07	7.92	0.26	
		31.5	67.47	9.33		
NO <sub>3</sub> <sup>-</sup> -N	1	21.0	72.05	10.97	0.38	
		31.5	73.66	3.24		
	2	21.0	74.63	8.56	0.19	
		31.5	65.33	15.59		
	3	21.0	71.83	10.43	0.26	
		31.5	63.43	20.15		
	4	21.0	63.98	11.38	0.21	
		31.5	63.94	13.33		

ตารางที่ 10x คุณภาพน้ำของระบบบำบัดน้ำเสียที่ปรับปรุงระบบแล้ว

พารามิเตอร์	Week1		Week2		Week3		Week4	
	ก่อน	หลัง	ก่อน	หลัง	ก่อน	หลัง	ก่อน	หลัง
pH	6.33	7.69	8.81	7.05	8.77	7.35	8.93	8.11
SS ( $\text{mgL}^{-1}$ )	37	21	49	24	57	36	42	24
BOD ( $\text{mgL}^{-1}$ )	180.85	21.60	133.01	18.92	413.91	19.35	167.85	13.92
COD ( $\text{mgL}^{-1}$ )	316.24	257.43	555.32	217.93	711.11	210.10	316.83	108.56